	A			
1.	Publicação nº	2. Versão	3. Data	5. Distribuição
<u> </u>	INPE-3964-TDL/231		Julho, 1986	☐ Interna ☒ Externa
4.	55s	Programa		☐ Restrita
	DRH-DSR F	'RH/SER		
6.	Palavras chaves - se	elecionadas pe	lo(s) autor(es	)
	INFRAVERMELHO TERMAL	FUNÇÃO DE I	RANSFERÊNCIA L	DE MODULAÇÃO - RESOLUÇÃO
	GEOMÉTRICA		D7 20-10 W	
7.	C.D.U.: 528.711.7			
	-T	7.77.77	2004 EDT /021	
8.	Titulo		-3964 <b>-</b> TDL/231	10. Pāginas: <i>100</i>
	FUNCÃO DE TRANSFERÊN NA RESOLUÇÃO GEOMETR			Fi.
		RMELHO TERMAL	WA PALAH	11. Ūltima pāgina:83
				12. Revisada por
a	Autoria Hiromiti Yo	_7. · 1.		Carponer Commercial
٥.	nacoria meromete 10	snioka		' Amauri Silva Montes
		*	9	13. Autorizada por
		ſ		D1/1/1000
		//	1	
Acc.	inatura responsāvel	Joli	ich	Marco Antonio Raup Diretor Geral
	5.00 May 1			
14.	Resumo/Notas	/ 1 7 7 7	~ /14555 1	4.5
	A função de transfer e formada nelas MTFs	rencia de modul La dos subsistan	ação (MTF) de	um sistema imageador iem. A MTF do sistema
	contribui para a for	mação do EIFOV	' (Campo instan	tâneo de visada efe
	tivo). Calculou-se,	neste trabalho	, a MTF de um	sistema imageador na
	faixa do infravermel EIFOV do equipamento	no termal. Com . Paralelament	i isto foi poss e foram realiz	rivel estabelecer, o Lados diversos experi
	mentos que consistem	n em võos sobre	alvos com tem	peraturas e dimen
	sões controladas (al	vos simulados)	. As imagens f	oram analisadas em
	um microdensitômetro previstas teoricamen	, e as carvas te. Verificou-	obitaas joram se aue o EIFOV	comparadas com as Treal é pior do que
	o EIFOV calculado, p	rincipalmente	pelo movimento	de rolamento da ae
	ronave. Uma platafor	ma estabilizad	a pode solucio	nar este problema.
15	Observações <i>Disser</i>	stacão de 14:		
101	em dezembro de 1985.	vuçuo de Mestr	uuo em sensori	amento Remoto, aprovada

Aprovada pela Banca Examinadora

em cumprimento a requisito exigido

para a obtenção do Título de Mestre

em Sensoriamento Remoto

Dr. Waldir Renato Paradella

Dr. Icaro Vitorello

Eng? Amauri Silva Montes, Mestre

Dr.Ing. Antonio Hugo Pereira Chaves

Dr.Ing. Mario Luis Selingardi

Membro da Banca

Orientador

Co-Orientador

Membro da Banca -convidado-

Candidato: Hiromiti Yoshioka

A minha esposa Magdalena e aos meus filhos Hugo e Daniele dedico este trabalho.

#### *RESUMO*

A função de transferência de modulação (MTF) de um siste ma imageador é formada pelas MTFs dos subsistemas que a compõem. A MTF do sistema contribui para a formação do EIFOV (Campo instantâneo de vi sada efetivo). Calculou-se, neste trabalho, a MTF de um sistema imagea dor na faixa do infravermelho termal. Com isto foi possível estabele cer, teoricamente, o EIFOV do equipamento. Paralelamente foram realiza dos diversos experimentos que consistem em võos sobre alvos com tempe raturas e dimensões controladas (alvos simulados). As imagens foram analisadas em um microdensitômetro, e as curvas obtidas foram compara das com as previstas teoricamente. Verificou-se que o EIFOV realé pior do que o EIFOV calculado, principalmente pelo movimento de rolamento da aeronave. Uma plataforma estabilizada pode solucionar este problema.

#### ABSTRACT

The modulation transfer function (MTF) of an imaging system is composed by the MTF's of its subsystems. The MTF of the system contributes to the formation of the EIFOV (Effective Instantaneous Field of View). In this work the MTF of an imaging system operating in a thermal infrared band was calculated. In this way, it was possible to theoretically establish the EIFOV of the equipment. Then, several experiments consisting of flights over targets with well-known temperature and dimensions were made. The images were analyzed using a microdensitometer and the resultant curves compared to those estimated in theory. Degradations in the EIFOV due to roll movements of the airborne platform were observed. A stabilized platform can solve this problem.

#### AGRADECIMENTOS

Ao Doutor Ícaro Vitorello pela orientação, e, em, especial, ao Engenheiro Amauri Silva Montes pela orientação, pelos ensinamentos, pelo incentivo e pela colaboração na realização dos experimentos.

À Técnica Horacina Silva Montes pela colaboração na realização dos experimentos e pelos trabalhos de laboratório fotográfico.

Aos Engenheiros Élvio Demori e Júlio da Conceição Araújo e aos Técnicos Paulo Silva Mello e Nelson Goulart da Silva pela colaboração na realização dos experimentos e pela manutenção do equipamento.

Ao Centro Técnico Aeroespacial pelo apoio à realização dos experimentos.

Ao Instituto de Proteção ao Vôo pela ajuda prestada na elaboração preliminar e final deste trabalho.

Ao Instituto de Atividades Espaciais pelo apoio de laboratório fotográfico e de confecção da matriz para publicação desta  ${\rm Dis}$  sertação.

A todos os outros pesquisadores e técnicos do INPE que, direta ou indiretamente, contribuíram para a realização deste trabalho.

## SUMARIO

<u>Pā</u>	āg.
LISTA DE FIGURAS	xi
LISTA DE TABELAS	iii
LISTA DE SÍMBOLOS	αv
CAPĪTULO 1 - FUNDAMENTOS BĀSICOS	1
1.1 - Introdução	1
1.2 - Radiometria	3
1.3 - Efeitos atmosféricos	8
1.4 - Função de transferência de modulação (MTF)	9
1.4.1 - O espectro angular de ondas planas	9
1.4.2 - Função de transferência óptica (OTF)	11
CAPITULO 2 - SISTEMA IMAGEADOR	15
2.1 - Fator V/H <sub>V</sub>	18
2.2 - Ruidos	20
2.3 - Distorções na imagem	21
2.4 - Especificações do imageador utilizado	22
2.5 - Função de transferência de modulação do imageador	24
2.5.1 - MTF do subsistema optico	32
2.5.2 - MTF do subsistema detector	33
2.5.3 - MTF do subsistema eletrônico	35
2.5.4 - MTF do filme	39
2.5.5 - MTF da lâmpada moduladora (Glow Tube)	40
2.5.6 - MTF do sistema	41
2.6 - Campo instantâneo de visada efetivo (EIFOV)	43
2.7 - Filtro passa-alta	46
CAPITULO 3 - EXPERIMENTOS: DISCUSSÃO E ANÁLISE	53
3.1 - Introdução	53
3.2 - Calculo do EIFOV através dos experimentos	55
3.3 - Curva teórica do sinal	57
3.4 - Comparação entre as curvas previstas pela teoria e curvas ob	62

<u>Pā</u>	āg.
3.5 - Resolução geométrica versus tamanho do alvo	72
3.6 - Alvos com temperaturas superiores as temperaturas de radia ção de fundo	74
3.7 - Alvos naturais e artificiais	76
CAPÍTULO 4 - CONCLUSÃO	81
REFERÊNCIAS BIBLIOGRĀFICAS	83

## LISTA DE FIGURAS

<u>!</u>	Pāg.
1.1 - Transferência de radiação entre dois elementos de area	4
1.2 - Exitância espectral do corpo negro em varias temperaturas	6
1.3 - Bandas de absorção de $H_2O$ , $CO_2$ $O_3$	9
2.1 - Esquema do sistema imageador infravermelho	16
2.2 - Composição de imagens por varredura de faixas perpendiculares à direção de deslocamento da plataforma	17
2.3 - Campo instantâneo de visada (IFOV)	19
2.4 - Imageador infravermelho com espelho de quatro faces e uma re de de três detectores	20
2.5 - Efeitos de distorções de imagem	22
2.6 - Relação entre a distância lateral percorrida no chão e a percorrida no filme	23
2.7 - Projeção do detector sobre o alvo	24
2.8 - Formação do sinal no processo de convolução	25
2.9 - Dois exemplos de formação da imagem no sentido de deslocamen to da plataforma	27
2.10 - Função de transferência	28
2.11 - Uma rotação completa do espelho	29
2.12 - Esquema do sistema de gravação em filme	30
2.13 - Função descritiva do detector retangular	34
2.14 - Filtro R'C'	36
2.15 - Curva da MTF do filme	39
2.16 - MTF da lâmpada moduladora	40
2.17 - Gráfico das MTFs dos subsistemas e a MTF total do imageador	44
2.18 - Campo instantâneo de visada efetivo (EIFOV)	44
2.19 - Filtro passa-alta	46
2.20 - Curva do filtro passa-alta	49
2.21 - Comportamento do sinal na formação da imagem	50
2.22 - Comportamento do sinal de alvo com um ponto quente	51
2.23 - O ponto branco apresentado na imagem é uma fogueira	52
3.1 - Aeronave com o imageador instalado	53
3.2 - Alvos simulados	54
3.3 - Representação gráfica da reta	58

Pão	<u>g</u> .
3.4 - Projeção do detector sobre o alvo (alvo < EIFOV)	59
3.5 - Projeção do detector sobre o alvo (alvo > EIFOV)	60
3.6 - Comportamento de curvas das imagens em relação ao tamanho do alvo	61
	62
3.8 - Disposição dos alvos do experimento l 6	63
	63
3.10 - Comparação entre a curva prevista pela teoria e a obtida em um experimento 6	64
3.11 - Disposição dos alvos no experimento 2 6	64
3.12 - Imagem dos alvos da Figura 3.11	65
3.13 - Curva referente à imagem da Figura 3.12 6	65
3.14 - Comparação entre a curva prevista pela teoria e a obtida no experimento 6	66
3.15 - Disposição dos alvos do experimento 3 6	67
3.16 - Imagem referente a Figura 3.15a 6	68
3.17 - Grāfico da imagem correspondente aos alvos constantes na Figura 3.15 6	68
3.18 - Disposição dos alvos do experimento 4	70
3.19 - Grāficos das imagens correspondentes aos alvos da Figura 3.18	71
3.20 - Disposição dos alvos do experimento 5	73
3.21 - Grāfico da imagem do alvo da Figura 3.20	73
3.22 - Disposição do alvo do experimento 6	73
3.23 - Grāfico da imagem do alvo da Figura 3.22	74
3.24 - Disposição dos alvos do experimento 7	75
3.25 - Imagem do alvo da Figura 3.24	75
3.26 - Gráfico obtido no microdensitômetro da imagem constante na Figura 3.25	76
3.27 - Imagem obtida ās 15:30 horas	76
3.28 - Imagem obtida ās 20:30 horas	77
3.29 - Imagem obtida ās 12:00 horas, logo apos uma chuva	78
3.30 - Imagem obtida ās 16:00 horas	79
3.31 - Imagem obtida ās 18:00 horas, dentro dos límites da relação V/Hy	79
3.32 - Imagem obtida as 18:00 horas, fora dos limites da relação V/H <sub>V</sub>	80

## LISTA DE TABELAS

		<u>F</u>	āg.
1.1	_	Emissividade de algumas substâncias	7
2.1	_	MTF do subsistema óptico	33
2.2	_	MTF do subsistema detector	35
2.3	_	MTF do subsistema eletrônico	38
2.4	-	MTF do filme	40
2.5	_	MTF da lâmpada moduladora (Glow Tube)	41
2.6	-	MTFs dos subsistemas que compõem o sistema imageador	42
2.7	-	MTF do sistema imageador	43
2.8	-	Dados da curva do filtro passa-alta	48
3.1	_	Dimensões do alvo e da imagem correspondente	57

## LISTA DE SÍMBOLOS

Αι - Area do receptor, m<sup>2</sup> - Area da fonte, m<sup>2</sup> Α С - Velocidade da luz, m/s Ε - Irradiância, W/m<sup>2</sup> f - Frequência Distância focal, mm  $f_0$ F - Amplitude do sinal h e h' - Deslocamento relativo de projeção do detector em relação ao alvo - Função de transferência Н - Altura de vôo, m  $H_{V}$ I - Intensidade radiante, W/sr l - Dimensão lateral do alvo na imagem, m L - Dimensão lateral total do alvo na imagem ( $\ell$  + EIFOV), m М - Exitância radiante, W/m<sup>2</sup> - Distância entre a fonte e o receptor, m R Radiância, W/m²sr S Largura de faixa de varredura no solo, m - Período de rotação, s Ţ - Velocidade da plataforma, m/s - Sinal de entrada ۷e - Sinal de saída Vs Ângulo de abertura instantâneo, mrd - Angulo solido, sr Ω - Emissividade 3

- Fluxo radiante, W

- $\lambda$  Comprimento de onda,  $\mu m$
- ⊙ Ângulo de elevação, rad
- $\tau^{\, \prime} \,$  Tempo de integração de cada elemento de imagem, s

### CAPÍTULO 1

## FUNDAMENTOS BÁSICOS

## 1.1 - INTRODUÇÃO

Inicialmente, desde a sua descoberta pelo astrônomo in glês William Herschel em 1800, os estudos sobre a radiação infraverme lha ficaram limitados aos laboratórios. Posteriormente, os astrônomos utilizaram detectores de radiação infravermelha nos telescópios, visan do obter estimativas da temperatura de estrelas e da superfície de pla netas.

Aplicações da utilização da radiação infravermelha tive ram o seu grande impulso pelos militares a partir da Segunda Guerra Mundial, os quais até então não tinham dado muita atenção a esta tecnologia. Com o advento dos detectores mais sensíveis, algumas pesquisas surgiram nesta área. As aplicações militares caracterizaram-se nos sistemas de guiagem de mísseis, sistemas de controle de fogo, apare lhos de defesa contra bombardeios, sensores de reconhecimento e muitos outros equipamentos que ainda permanecem classificados.

Desenvolveram-se inúmeras aplicações da radiação in fravermelha. O espectrômetro infravermelho, por exemplo, tem sido usa do até hoje como ferramenta analítica em laboratórios industriais, com o propósito de determinar a natureza e a quantidade de substâncias or gânicas dos líquidos e gases.

A medida que os sensores de radiação infravermelha de reconhecimento militar foram se tornando mais sofisticados, os primeiros modelos foram sendo desclassificados para a aplicação civil.

No Brasil, mais notadamente no Instituto de Pesquisas <u>Es</u> paciais (INPE), as primeiras pesquisas, utilizando este tipo de imagem, foram realizadas em 1969. Entretanto, estas pesquisas ficaram em tenta tivas restritas porque na época o imageador adquirido pelo INPE não te

ve o desempenho desejado.

A partir de novembro de 1984, as pesquisas em sensoria mento remoto que utilizavam imagens na faixa do infravermelho termal tornaram-se possíveis com o desenvolvimento de um 'mageador pelo pro prio INPE (Demori, 1985).

Dentro deste contexto, este trabalho visa o estudo do comportamento de alguns alvos com dimensões e temperaturas controladas, através da análise do efeito da função de transferência de modulação (Modulation Transfer Function - MTF) do sistema imageador, na formação final da resolução geométrica linear.

Cabe ressaltar que o objetivo não foi o de estabelecer a MTF do sistema, o que poderia ser feito em laboratórios com resultados mais precisos.

Neste capítulo faz-se uma rápida revisão dos problemas radiométricos gerais, algumas considerações sobre efeitos atmosféricos na radiação infravermelha e considerações teóricas sobre a função de transferência de modulação (MTF).

No Capitulo 2 descrevem-se, de um modo sucinto, as par tes que compõem um sistema imageador infravermelho e o seu funcionamen to, dando as especificações do equipamento utilizado. Faz-se o cálculo da MTF do sistema e do campo instantâneo de visada efetivo (Effective Instantaneous Field of View - EIFOV).

No Capītulo 3 são relatados os resultados dos experimentos realizados, comparando esses dados com os teóricos esperados, como também algumas considerações das análises realizadas.

Finalmente, no Capítulo 4 apresenta-se a conclusão que ressalta a importância dos resultados obtidos neste trabalho, apesar de algumas aproximações efetuadas, cujos dados servirão de base para pesquisas futuras nesta área.

#### 1.2 - RADIOMETRIA

Sabe-se que a obtenção da informação através da radiação infravermelha é feita tirando proveito do fato de que tudo acima de ze ro absoluto emite radiação, cuja grandeza depende do comprimento de on da, do tipo de material e da temperatura.

As definições das grandezas radiométricas foram estabel<u>e</u> cidas pelo American National Standards Institute, Illuminating Engineering Society e Commission Internationale d'Éclaraige (Slater, 1980).

Os alvos encontrados na natureza possuem superfícies difusas. Lambert definiu uma superfície perfeitamente difusa como aque la que possui a radiância constante para qualquer ângulo de observação. Isto tudo vem facilitar o cálculo desses parâmetros, uma vez que mui tos corpos reais se comportam desta maneira. Em consequência, a radiân cia e a exitância estão relacionadas por um fator  $\pi$ :

 $M = \pi R$ .

A radiância e a irradiância podem se relacionar deste modo:

$$dI = R A \cos \theta$$
 (1.1)

Observando a Figura 1.1 tem-se:

$$d^2 \phi = R A \cos \Theta \frac{dA' \cos \Theta'}{r^2} . \qquad (1.2)$$

Pode-se observar que o fluxo radiante depende única e ex clusivamente da radiância da fonte, e o restante é um fator geométrico.

Simplificando a Relação 1.2 tem-se:

$$dE = Rd\Omega'\cos\Theta'. (1.3)$$

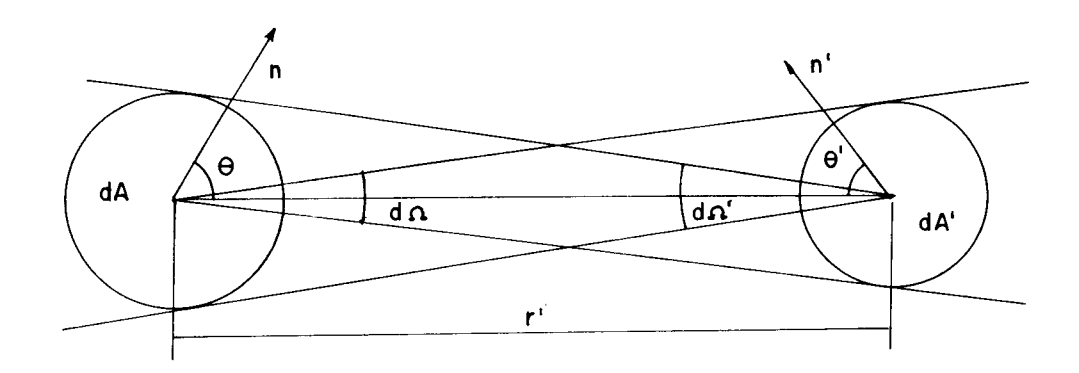


Fig. 1.1 - Transferência de radiação entre dois elementos de área. FONTE: Montes (1982), p. 6.

Demonstra-se deste modo a relação existente entre a rad $\underline{i}$  ancia e a irradiancia; sendo que o único fator que os relaciona  $\underline{e}$  o angulo solido em que o receptor vê a fonte.

Consequentemente, torna-se necessário conhecer a radiân cia e a sua dependência com outros parâmetros, como a temperatura. Para isto, o corpo negro  $\tilde{\mathbf{e}}$  tomado como base para estudar o comportamento dos corpos reais.

0 corpo negro  $\bar{e}$  um emissor perfeito. O processo de abso<u>r</u> ção deve, do mesmo modo, ser máximo para absorver e converter toda a  $\underline{e}$  nergia radiante incidente em calor, independente da faixa espectral.

Planck deduziu a formula para calcular a exitância espectral de um corpo negro:

$$M = \frac{2\pi h_p c^2}{\lambda^5 \left[ \exp(ch_p/KT-1) \right]}$$
 (1.4)

onde:

 $h_p$  (constante de Planck) = 6,6256 x  $10^{-34} Ws^2$ ,

K (constante de Boltzmann) =  $1,38054 \times 10^{-23} Ws/K$ ,

c (velocidade da luz) =  $2,997925 \times 10^8 \text{ m/s}$ ,

T (Temperatura absoluta) = K,

 $\lambda$  (comprimento de onda) = m.

Integrando a Equação 1.4 para todos os comprimentos de on da entre zero e infinito, tem-se a Lei de Stefan-Boltzmann:

$$M = \sigma T^4$$
,

onde

$$\sigma$$
 (constante de Stefan-Boltzmann) = 5,67 x  $10^{-8}$  Wm<sup>-2</sup>K<sup>-4</sup>.

Esta relação de quarta potência da temperatura propicia aos sistemas de sensoriamento remoto na faixa do infravermelho termal distinguir pequenas diferenças de temperatura.

Sabe-se que a exitância de um corpo negro a uma dada tem peratura não é a mesma em todos os comprimentos de onda. Dependendo da temperatura, a exitância atinge o seu valor máximo em um determinado comprimento de onda. O comprimento de onda, cuja exitância espectral atinge o valor máximo, é dado pela Lei de deslocamento de Wien:

$$\lambda_{\mathbf{m}} = \frac{\mathbf{C}}{\mathbf{T}}$$
,

onde:

$$C = 2898 \mu m K$$

T = temperatura em K.

Como os corpos na natureza se encontram a uma temperat $\underline{u}$  ra aproximada de 300 K, o comprimento de onda em que se pode obtera ex $\underline{i}$  tância māxima estā em torno de 10  $\mu$ m (Figura 1.2).

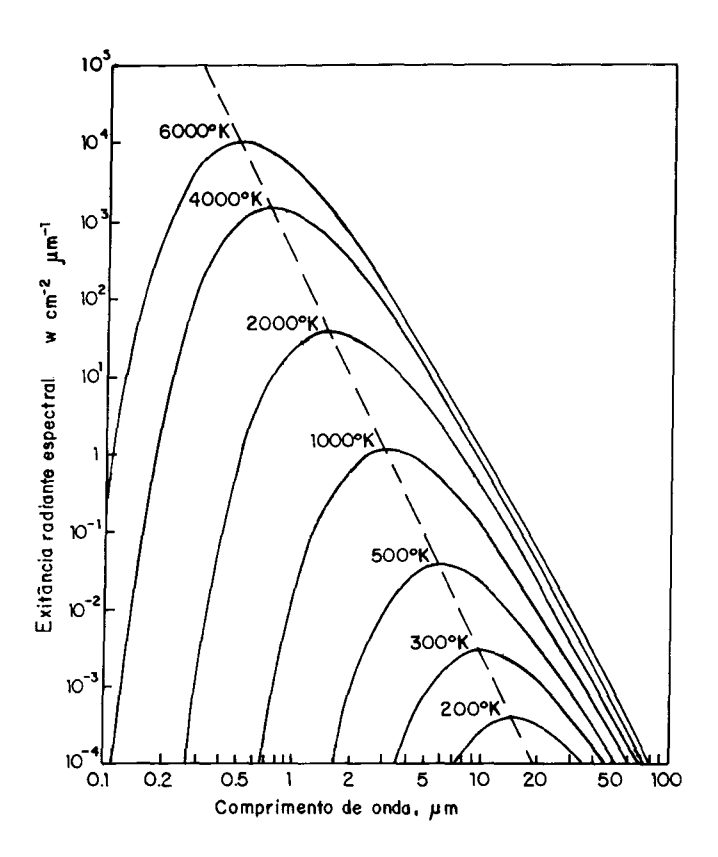


Fig. 1.2 - Exitância espectral do corpo negro em várias temperaturas. FONTE: Jamieson et alii (1963), p. 20 .

Um corpo real, a uma temperatura específica, emite radia ção de acordo com o tipo de material deste corpo. É conveniente expres sar a capacidade de emitir radiação devido à conversão em energia tér mica a uma razão entre a exitância espectral do material e a do corpo negro, ambos na mesma temperatura. Trata-se de emissividade espectral do material:

$$\varepsilon_{\lambda} = \frac{M_{\lambda}}{Mbb_{\lambda}}$$

Como se sabe, a emissividade varia normalmente com o com primento de onda, temperatura e direção. Por causa destas variações, o recurso existente  $\tilde{\mathbf{e}}$  efetuar uma aproximação de corpo cinza, ou seja,  $\underline{\mathbf{u}}$  ma emissividade constante e menor que uma unidade. Uma aproximação mui

to utilizada é a da emissividade média da faixa espectral considerada. A Tabela 1.1 ilustra a emissividade de alguns corpos.

TABELA 1.1

EMISSIVIDADE DE ALGUMAS SUBSTÂNCIAS

MATERIAL	ε	
Alumínio polido	0,02	
Cobre polido	0,05	
Cobre oxidado	0,78	
Ferro polido	0,21	
Tungstênio	0,032	
Agua	0,92	
Vidro	0,94	
Corpo negro	1,00	

O desconhecimento da emissividade torna-se um fator limitante no cálculo da temperatura das superfícies. Sabe-se, também, que a temperatura de radiação ( $T_{\Upsilon}$ ) é aquela na qual um corpo negro teria uma radiância integrada na faixa espectral considerada igual à do dado corpo na sua temperatura (T).

Para um corpo com a emissividade de 0,9, a mudança de temperatura de  $\pm$  1% fornece uma mudança na exitância equivalente a uma mudança de  $\pm$  3,6% na emissividade.

Além da emissividade, a inércia térmica dos alvos é ou tro fator importante a ser considerado no estudo do mapeamento térmico. A inércia térmica está relacionada com o calor específico dos alvos, a densidade e a condutividade térmica dos materiais que os envolvem. Isto explica a variação da temperatura das diferentes superfícies em diferen

tes horários do dia e da noite.

## 1.3 - EFEITOS ATMOSFÉRICOS

A atmosfera é um fator de grande importância e que deve ser observado no estudo da radiometria.

A radiação eletromagnética sofre efeitos de absorção e espalhamento, causando consequentemente uma atenuação que depende da faixa do espectro eletromagnético, da concentração dos gases e das partículas que compõem a atmosfera. A transmitância atmosférica da radiação infravermelha depende das condições meteorológicas e da altitude. Através de dados coletados de várias medidas em diversas condições, fór mulas empíricas e modelos matemáticos podem ser estabelecidos para dar uma boa aproximação da transmitância atmosférica nas várias massas de ar.

Dos gases que compõem a atmosfera, os que mais influem na transmitância atmosférica são o vapor-d'água, dióxido de carbono e ozônio. Estes gases influem na transmitância da radiação eletromagnética por processos de absorção e espalhamento. Processos estes que são maiores ou menores, dependendo do comprimento da onda. Entretanto, existe uma faixa entre 7  $\mu$ m e 14  $\mu$ m em que a atmosfera é praticamente "transparente" à radiação infravermelha. Estas faixas são denominadas "janelas atmosféricas" (Figura 1.3).

Para a elaboração deste trabalho não foram consideradas as interferências atmosféricas, uma vez que os vôos foram realizados a baixa altura. Os cálculos não justificariam as infimas alterações. To davia, para vôos em grandes altitudes, estes efeitos têm de ser observados.

Além desses fatores, há outros a considerar como a névoa seca e nevoeiros, cuja interferência depende da altitude e da intensi dade desses fenômenos; nuvens e chuvas em cujas ocorrências o sensor de radiação infravermelha é limitado.

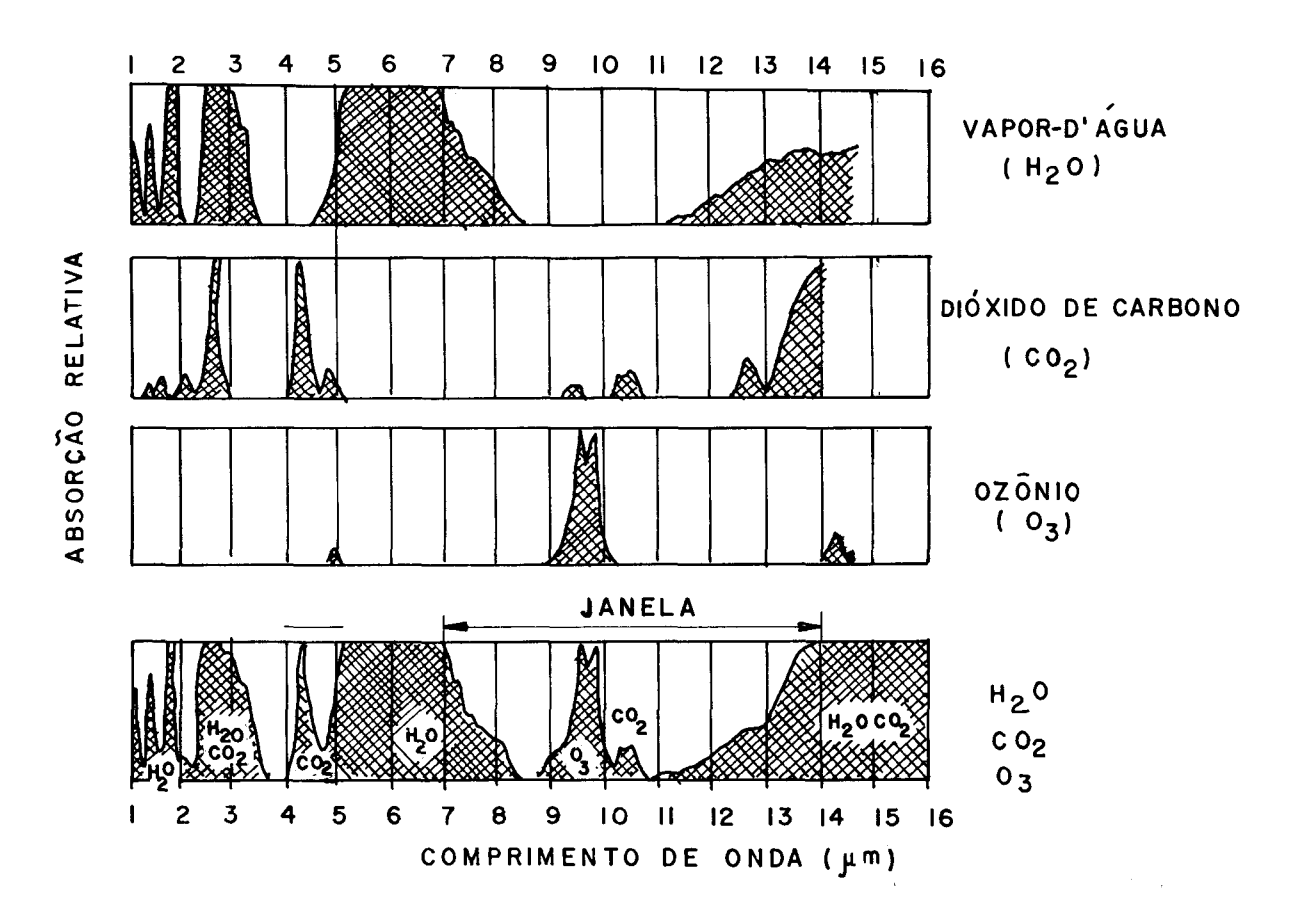


Fig. 1.3 - Bandas de absorção de  $H_2O$ ,  $CO_2$  e  $O_3$ . FONTE: Hackforth (1960), p. 48.

## 1.4 - FUNÇÃO DE TRANSFERÊNCIA DE MODULAÇÃO (MTF)

### 1.4.1 - O ESPECTRO ANGULAR DE ONDAS PLANAS

Suponha-se que o campo de uma onda eletromagnética genérica possa ser representado pela função E(x,y,z). Sobre um plano xy situado em z=0, a função E(x,y,z) passa a ser E(x,y,0) e possui uma transformada de Fourier em duas dimensões dada por (Goodman, 1968):

$$F(f_{\chi}, f_{y}) = \int_{-\infty}^{\infty} \int_{-\infty}^{\infty} E(x, y, 0) \exp \left[-j2\pi \left(f_{\chi}x + f_{y}y\right)\right] dxdy . \qquad (1.5)$$

Consequentemente, pode-se escrever a função E(x, y, 0) em

termos da transformada inversa:

$$E(x,y,0) = \int_{-\infty}^{\infty} \int_{-\infty}^{\infty} F(f_x, f_y) \exp \left[ \int_{-\infty}^{\infty} 2\pi \left( f_x x + f_y y \right) \right] df_x df_y . \quad (1.6)$$

Por outro lado, a equação de uma onda plana com amplitude unitária e com co-senos diretores a,b,c é dada por:

$$B(x,y,z) = \exp \left[ \int \frac{2\pi}{\lambda} \left( ax + by + cz \right) \right]. \tag{1.7}$$

Sobre o plano z = 0, a função exponencial

exp  $[j2\pi (f_Xx+f_yy)]$ da Equação 1.6 pode ser interpretada como  $\underline{u}$  ma onda plana com co-senos diretores:

$$a = \lambda f_{\chi}$$
;

$$b = \lambda f_{\mathcal{U}}$$
;

$$c = \sqrt{1 - (\lambda f_{\chi})^2 - (\lambda f_{y})^2}.$$

A amplitude dessa onda plana  $\tilde{e}$   $F(f_\chi,f_y)\,df_\chi df_y$  para as  $fr\underline{e}$  quências  $f_\chi=\frac{a}{\lambda}$  e  $f_y=\frac{b}{\lambda}$  .

Por esta razão, a função  $F(\frac{a}{\lambda}, \frac{b}{\lambda})$  da Equação 1.5  $\tilde{e}$  chama da Espectro Angular da Perturbação E(x,y,0).

Suponha-se, agora que uma tela opaca, com apenas uma  $\underline{a}$  bertura  $\Sigma$ ,  $\underline{e}$  colocada no plano z=0. Esta abertura pode ser representada pela seguinte função de transmitância:

$$t(x,y) = \begin{cases} 1 & \text{p/}(x,y) \text{ em } \Sigma, \\ 0 & \text{fora de } \Sigma. \end{cases}$$

Aplicam-se as condições de Kirchchoff para a perturbação E(x,y,0) incidente no plano da tela (z=0):

- A tela não altera o campo E sobre a abertura  $\Sigma$ .
- O campo E sobre a tela é identicamente nulo.

Assim, o campo imediatamente após a tela pode ser escrito como:

$$E_{t}(x,y,0) = E_{i}(x,y,0) t(x,y).$$

Aplicando o teorema da convolução da Análise de Fourier, pode-se escrever o espectro angular  $\mathcal{F}_{\mathcal{I}}$  ( $\frac{a}{\lambda}$ ,  $\frac{b}{\lambda}$ ) para a onda transmitida como:

$$F_{\chi}(\frac{a}{\lambda}, \frac{b}{\lambda}) = F_{\chi}(\frac{a}{\lambda}, \frac{b}{\lambda}) * (\frac{a}{\lambda}, \frac{b}{\lambda})$$
,

onde:

$$T(\frac{\alpha}{\lambda}, \frac{b}{\lambda}) \stackrel{\triangle}{=} \int \int_{-\infty}^{\infty} t(x, y) \exp \left[-j2\pi \left(\frac{\alpha x}{\lambda} + \frac{bx}{\lambda}\right)\right] dxdy .$$

Para o caso particular de uma onda plana que ilumina a  $\underline{a}$  bertura  $\Sigma$  tem-se:

$$F_{\lambda}(\frac{a}{\lambda}, \frac{b}{\lambda}) = \delta(\frac{a}{\lambda}, \frac{b}{\lambda})$$
 e

$$F_{\mathcal{L}}(\frac{a}{\lambda} \ , \frac{b}{\lambda}) = \delta \ (\frac{a}{\lambda} \ , \frac{b}{\lambda}) \qquad \star \ T \ (\frac{a}{\lambda} \ , \frac{b}{\lambda}) = T(\frac{a}{\lambda} \ , \frac{b}{\lambda})$$

Então, o espectro angular resultante da incidência de uma onda plana sobre a abertura  $\Sigma$  é calculado como a Transformada de Fourier da função de transmitância.

# 1.4.2 - FUNÇÃO DA TRANSFERÊNCIA ÓPTICA - (OTF)

Da Seção anterior verificou-se que uma onda eletromagn $\underline{\tilde{e}}$  tica incidente sobre um plano pode ser interpretada como uma superposi

ção de ondas planas, de acordo com a Análise de Fourier. Este fato in duz, naturalmente, a que se trate um conjunto óptico através da Teoria de Sistemas Lineares, segundo a qual um determinado Sistema Linear é caracterizado por sua função de transferência.

Para o caso de um Sistema Õptico, esse tipo de tratamen to jā ē bem estabelecido, tanto para radiação coerente como incoerente (Goodman, 1968). Para ambos os casos, um sistema óptico, limitado apenas por difração, terá a função de transferência determinada pela pupi la de entrada do sistema.

Na situação analisada na seção anterior em que a radia ção eletromagnética é coerente, o tratamento é feito em termos da amplitude dos campos eletromagnéticos envolvidos. Para a situação de interes se deste trabalho, em que a radiação é incoerente, o tratamento é feito em termos de exitância e irradiância. Para este caso, a função de transferência é denominada Função de Transferência Óptica (Optical Transfer Function - OTF).

A OTF é genericamente escrita como:

OTF = 
$$Ae^{j\theta}$$
.

As funções  $A(f_{\chi}, f_{y})$  e  $\theta(f_{\chi}, f_{y})$  são funções denominadas respectivamente Função de Transferência de Modulação (Modulation Transfer Function-MTF) e Função de Transferência de Fase (Phase Transfer Function-PTF).

Assim, a OTF pode ser escrita como:

$$OTF(f_{\chi}, f_{y}) = MTF e^{jPTF}$$
.

Duas propriedades importantes devem ser mencionadas:

$$OTF(0,0) = 1$$
,

$$MTF = |OTF| \leq |OTF(0,0)|.$$

Para o caso de um sistema óptico com abertura circular,  $1\underline{i}$  mitado apenas por difração, a OTF  $\underline{e}$  dada por:

$$\text{OTF} = \frac{2}{\pi} \left\{ \cos^{-1}(\frac{f}{f_C}) - (\frac{f}{f_C}) \left[ 1 - (\frac{f}{f_C})^2 \right]^{1/2} \right\}, \text{para } \frac{f}{f_C} \leq 1 \text{ ,}$$
 onde  $f_C = \frac{D_0}{\lambda}$ 

Verifica-se a partir da express $\widetilde{a}$ 0 anterior que a OTF = |OTF| = MTF e que PTF  $\equiv$  0 .

## CAPITULO 2

#### SISTEMA IMAGEADOR

O imageador infravermelho  $\bar{e}$  um equipamento eletro- $\bar{o}pti$  co-mecânico constitu $\bar{i}$ do de um coletor m $\bar{o}$ vel (espelho de varredura mec $\bar{a}$  nica), um sistema  $\bar{o}pti$ co, um (ou mais) detector(es) e um sistema de registro de dados (Figura 2.1).

Esses imageadores possuem um espelho movel (giratório) que recebe a energia radiante dos alvos em linhas perpendiculares à tra jetória da plataforma. A passagem de uma linha para outra e ditada pela velocidade da plataforma, consequentemente a velocidade de rotação do espelho deve ser regulável. Esta passagem depende ainda da altura de voo que estabelece as dimensões do campo instantâneo de visada que de termina a resolução geométrica do sistema (Figura 2.2).

A energia radiante coletada é direcionada para um siste ma optico que a focaliza sobre um detector. Este detector e normalmente constituido de um material fotossensivel que produz um sinal elétrico quando exposto à energia radiante (Figura 2.1).

A composição química desses detectores varia conforme a faixa espectral que se deseja operar. No caso da faixa espectral do sis tema de 8 a 14  $\mu$ m, o detector  $\tilde{\rm e}$  composto de PbSnTe ou HgCdTe, o qual de ver $\tilde{\rm a}$  ser resfriado a temperaturas entre -196°C e -270°C (com N<sub>2</sub> e He, respectivamente).

Os sinais provenientes do detector são sincronizados, per mitindo uma análise das características espectrais dos alvos imageados.

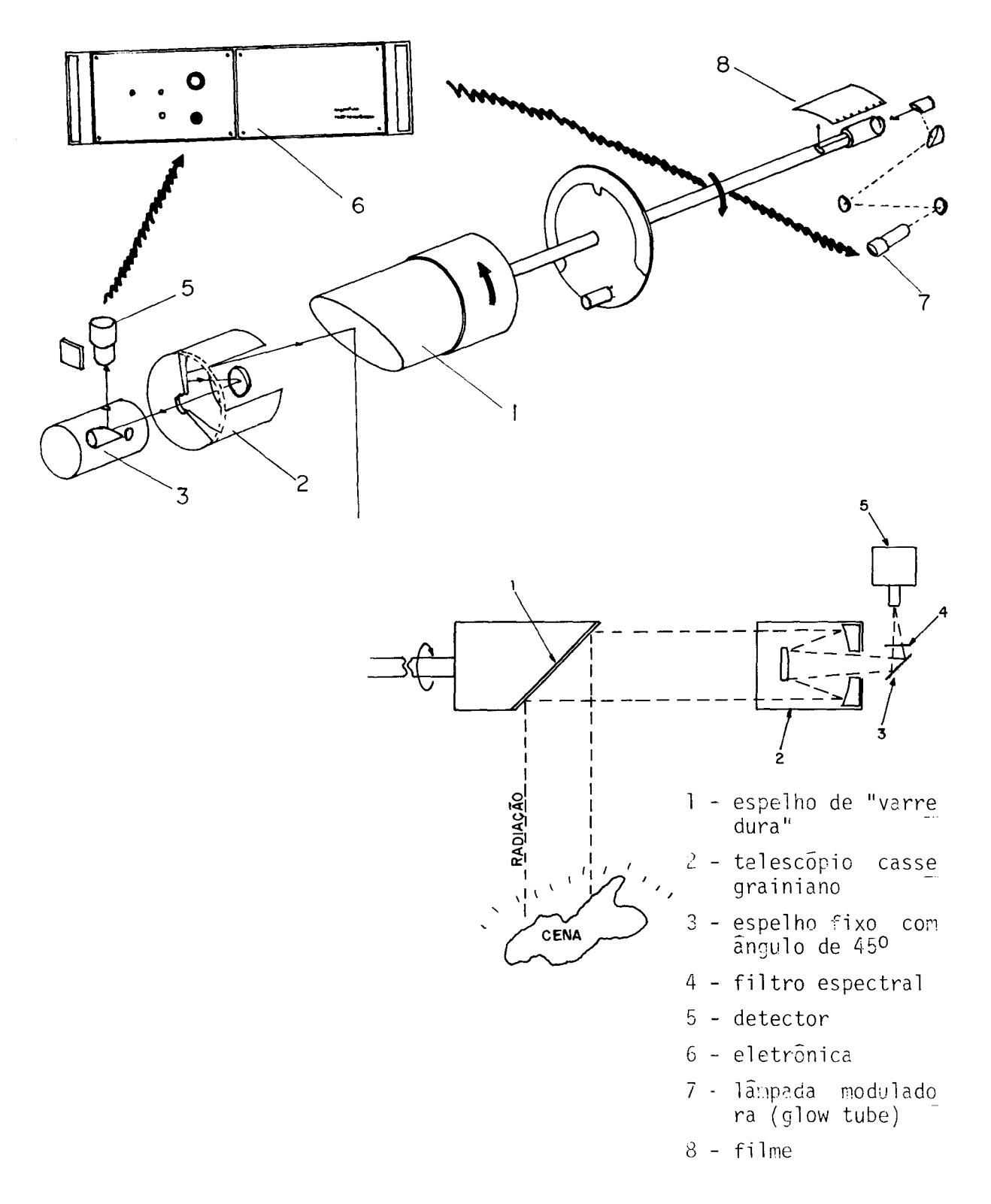


Fig. 2.1 Esquema do sistema imageador infravermelho.

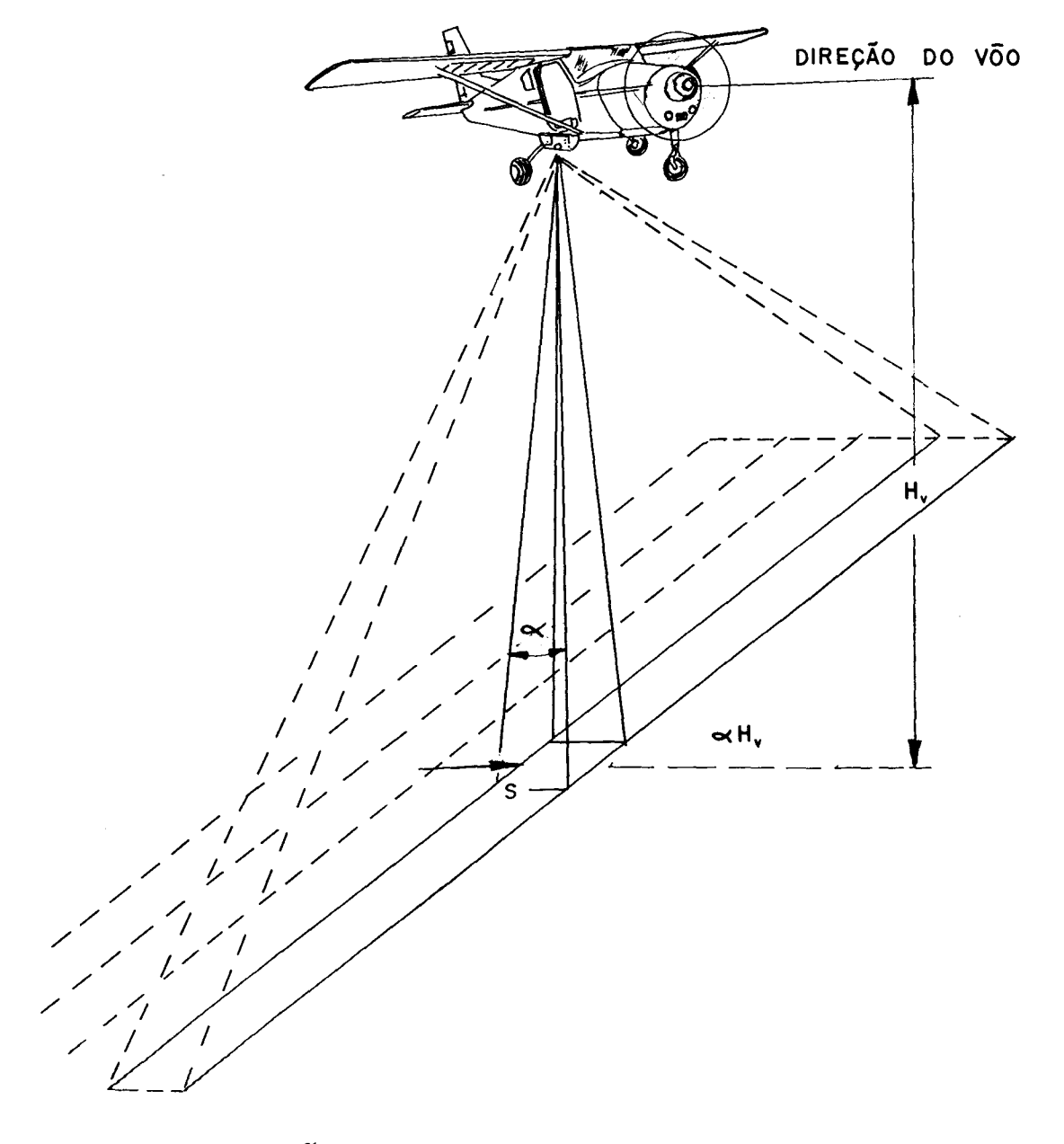


Fig. 2.2 - Composição de imagens por varredura de faixas perpendicul $\underline{a}$  res  $\bar{a}$  direção de deslocamento da plataforma.

O sinal elétrico procedente do detector, depois de am pliado, modula a cintilação de uma lâmpada (glow tube), cujo feixe de luz impressiona um filme fotográfico transversalmente. A intensidade da lâmpada é modulada proporcionalmente ao sinal elétrico proveniente do detector, e o movimento do filme deve ser proporcional à velocidade da plataforma (Figura 2.1). Obtém-se deste modo, uma imagem similar a de uma fotografia convencional. Esta imagem representa a distribuição da energia emitida pela superfície do terreno na região do espectro para a qual o detector foi construído.

A seleção da faixa espectral faz-se através de um filtro que permite a passagem somente da porção do espectro eletromagnético desejado.

Existem outros sistemas em que os sinais elétricos provenientes do detector são gravados em fitas magnéticas, ou são transmitidos para uma estação, sendo possível a visualização da imagem através de um monitor de TV no momento em que se está imageando.

A resolução geométrica dos sensores imageadores infraver melhos fica condicionada ao campo instantâneo de visada (Instantaneous Field of View - IFOV), que é o campo de visada do detector em um dado instante. O IFOV é uma grandeza que pode ser medida tanto em valor angular como em valor linear. Valores angulares independem da altura de vôo (Figura 2.3).

# 2.1 - FATOR $V/H_V$

A velocidade da plataforma estã relacionada com a velocidade de rotação do espelho e da altura de vôo:

$$V = f H_{V} \alpha , \qquad (2.1)$$

onde:

V = velocidade da plataforma ,

f = frequência de rotação do espelho,

 $H_V$  = altura de voo ,

 $\alpha$  = angulo do campo instantaneo de visada (IFOV).

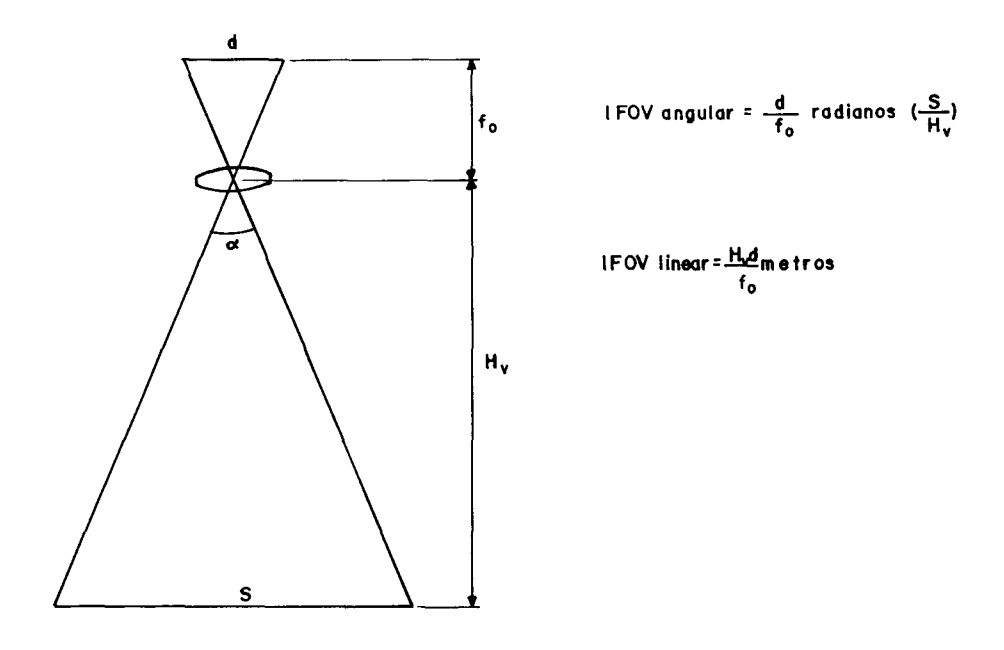


Fig. 2.3 - Campo instantâneo de visada (IFOV).

A fim de obter uma imagem com a correta superposição, o filme deve alcançar uma velocidade proporcional  $\tilde{a}$  da plataforma. Isto  $\tilde{e}$  expresso por:

$$\omega = V/H_V \tag{2.2}$$

Para melhorar o desempenho dos sensores com a finalidade de obter imagens em võos a baixa altura e em altas velocidades, isto  $\tilde{e}$ , aumentar a relação V/H $_{V}$ , constroem-se equipamentos com espelhos multifacetados e com uma rede de dois ou mais detectores (Figura 2.4):

$$V/H_{V} = \alpha f n_1 n_2 , \qquad (2.3)$$

onde:

 $n_1 = n \bar{u} mero de faces do espelho,$ 

 $n_2 = n\overline{u}mero de detectores$ .

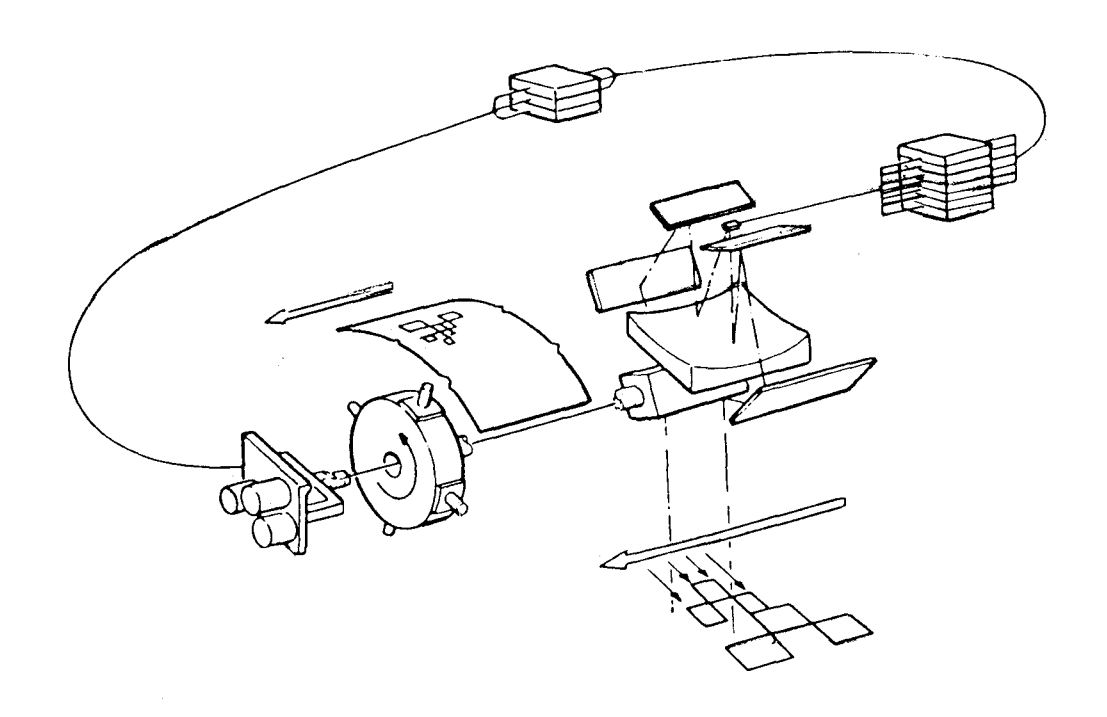


Fig. 2.4 - Imageador infravermelho com espelho de quatro faces e uma rede de três detectores.

#### 2.2 - RUIDOS

A capacidade efetiva de detecção de qualquer detector é limitada por flutuações de natureza aleatória chamadas de "ruídos".O ruído de um sistema infravermelho pode surgir de uma variedade de fontes que pode ser dividida em três categorias: (1) ruídos dos detectores , (2) dos amplificadores e (3) da radiação de fundo.

Como ja foi visto anteriormente, o detector produz um sinal eletrico proporcional a energia eletromagnética incidente sobre ele. Deste modo, o sinal proveniente do alvo so será detectado se for maior do que o ruído gerado pelo próprio sistema. O nível de ruído inerente ao próprio sistema torna-se o fator limitante a mínima quantidade de energia radiante a ser detectada; em outras palavras, determina a mí

nima diferença de temperatura que pode ser medida. A potência equivalen te a essa diferença mínima denomina-se NEP (Noise Equivalent Power). E videntemente, quanto menor a NEP maior será a sensibilidade do detec tor. O inverso da NEP ou 1/NEP é chamado detectividade. Desde que a NEP é diretamente proporcional à raiz quadrada da área do detector, existe uma forma de expressar a detectividade independente desta área. Esta de tectividade é referida na literatura como D\* e é igual ao D multiplica do pela raiz quadrada da área do detector e pela raiz quadrada da fai xa de frequência eletrônica pela qual esse detector vai operar (Kruse et alii, 1963).

O sistema imageador também é limitado pelo sinal de ruído equivalente que determina a mínima diferença de emissividade (Noise Equivalent Emissivity).

#### 2.3 - DISTORÇÕES DA IMAGEM

Além das possíveis distorções da imagem, causadas pelos movimentos de rolamento, arfagem e derrapagem da plataforma, existe  $\underline{u}$  ma distorção causada pelo próprio sistema de imageamento. Este efeito se evidencia na medida que o alvo se afasta da linha nadir.

Na Figura 2.5, as rodovias A e C são reproduzidas sem distorções, mas a rodovia B é reproduzida em curva com formato de "S".

Considerando o eixo de sensor em P na Figura 2.6, tem-se L' =  $H_V tg\beta$  onde  $H_V$  é a altura de vôo e o  $\phi$  é o ângulo de varredura a partir do nadir.

Da mesma forma tem-se:

$$\ell' = r' \beta$$
,

onde r' é a distância do eixo até o plano focal (filme).

Fazendo 
$$\frac{L'}{\ell'} = \frac{H_V}{r'} + \frac{tg\beta}{\beta}$$
, pode-se observar que a razão en

tre a distância lateral ao longo do filme e proporcional à tgβ.

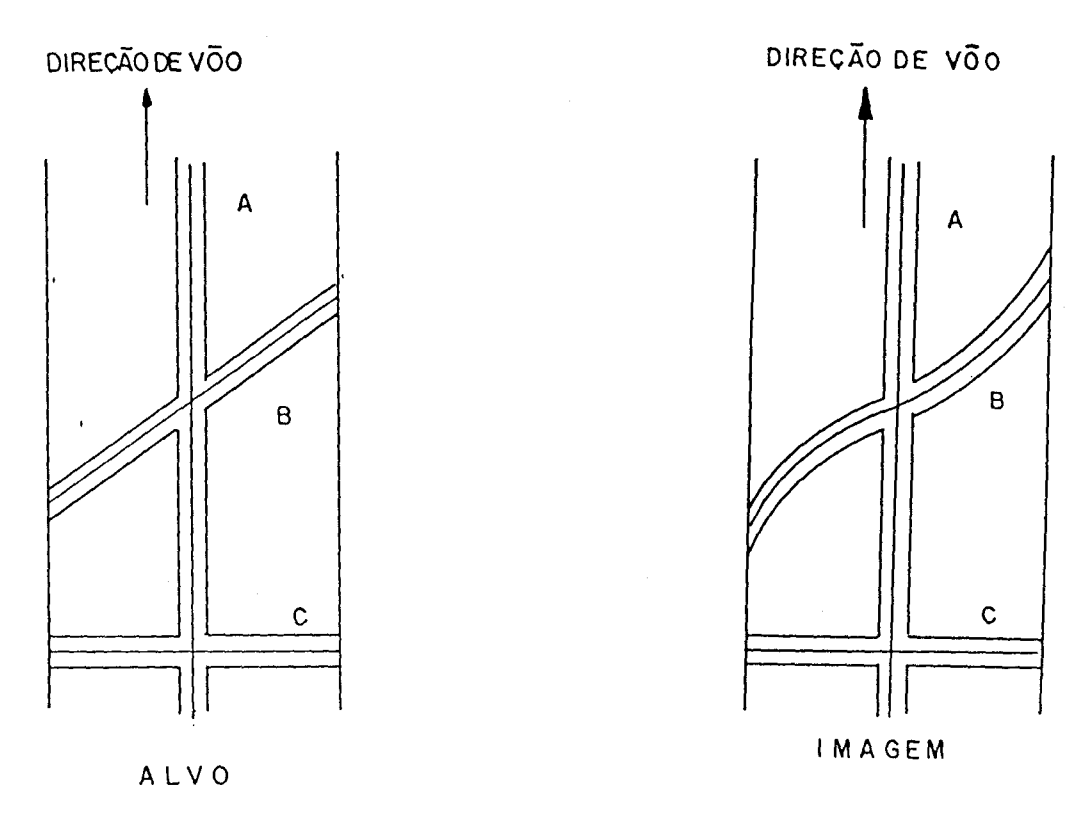


Fig. 2.5 - Efeitos de distorções na imagem.

Desse modo, se se fizer  $\beta=60^{\circ}$ , pode-se notar que pr $\bar{0}x\bar{1}$  mo as bordas do filme a imagem  $\bar{e}$  comprimida por um fator aproximado de 2.

### 2.4 - ESPECIFICAÇÕES DO IMAGEADOR UTILIZADO

 $\alpha$  = 2,5 mrd V/H<sub>V</sub> = 0,25 rd/s

Filme = KODAK 2498 RAR 70 mm

 $FOV = 120^{\circ}$ 

Diametro do feixe da lampada (glow tube)

=  $2.8 \times 10^{-3}$  pol (7,11 x  $10^{-2}$  mm)

Refrigeração: a nitrogênio (-196<sup>o</sup>C)

Detector: PbSnTe

Responsividade: 64 v/W

Detectividade normalizada: D\* =

= 7,65 x 10 
$$\frac{\text{cm (Hz)}^{1/2}}{\text{W}}$$

Area:  $7,85 \times 10^{-3} \text{cm}^2$ 

Sistema  $optico: Area = 44,18 cm^2$ 

Angulo de abertura = 2,5 mrd

Eficiência = 0,5

No f = 5,33

Filtro espectral =  $8 \text{ a } 14 \text{ } \mu\text{m}$ 

 $NE \triangle T = 0.81 K$ 

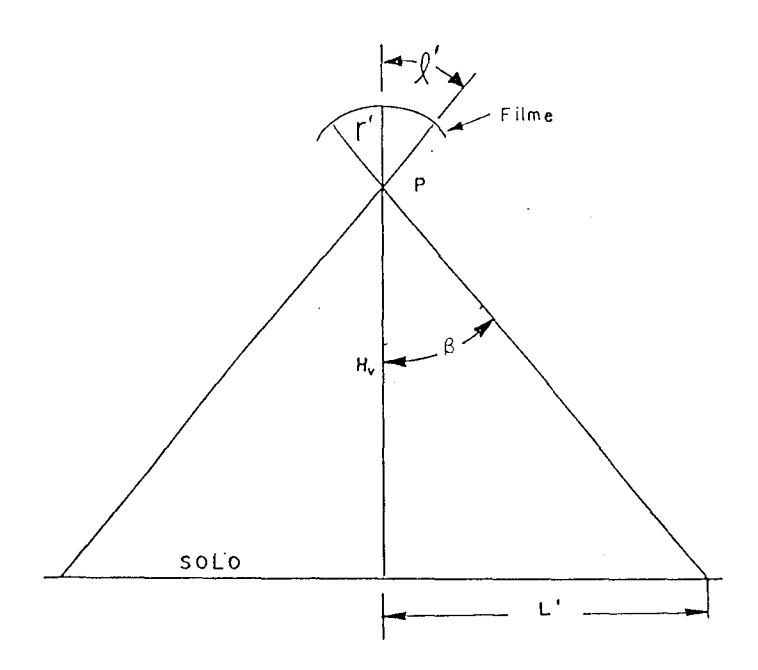


Fig. 2.6 - Relação entre a distância lateral percorrida no chão e a percorrida no filme.

#### 2.5 - FUNÇÃO DE TRANSFERÊNCIA DE MODULAÇÃO DO IMAGEADOR

Nos imageadores de varredura mecânica, a imagem é obtida por dois processos diferentes: (1) pela varredura do espelho no sentido perpendicular da plataforma e (2) pelo próprio deslocamento longitudi nal da plataforma (Figura 2.7).

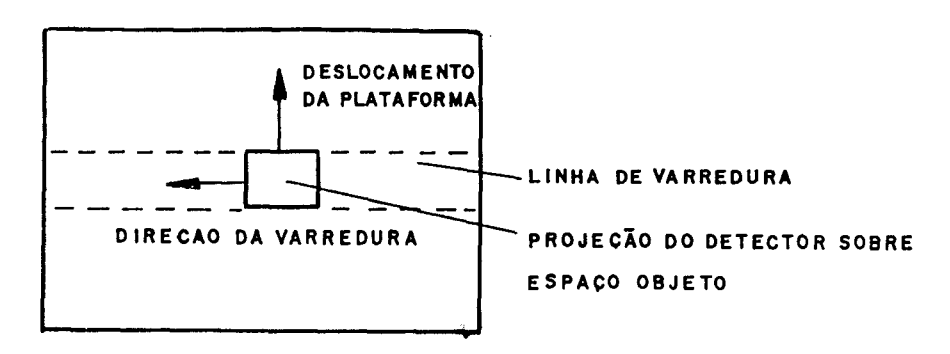


Fig. 2.7 - Projeção do detector sobre o alvo.

No deslocamento lateral da projeção do detector, o sinal  $\tilde{e}$  formado por um processo de convolução. A amplitude deste sinal depende da diferença de temperatura em relação ao fundo, e ao tamanho do al vo. A dimensão lateral da imagem neste sentido corresponde, no solo,  $\tilde{a}$  soma da projeção do detector com a dimensão do alvo (Figura 2.8).

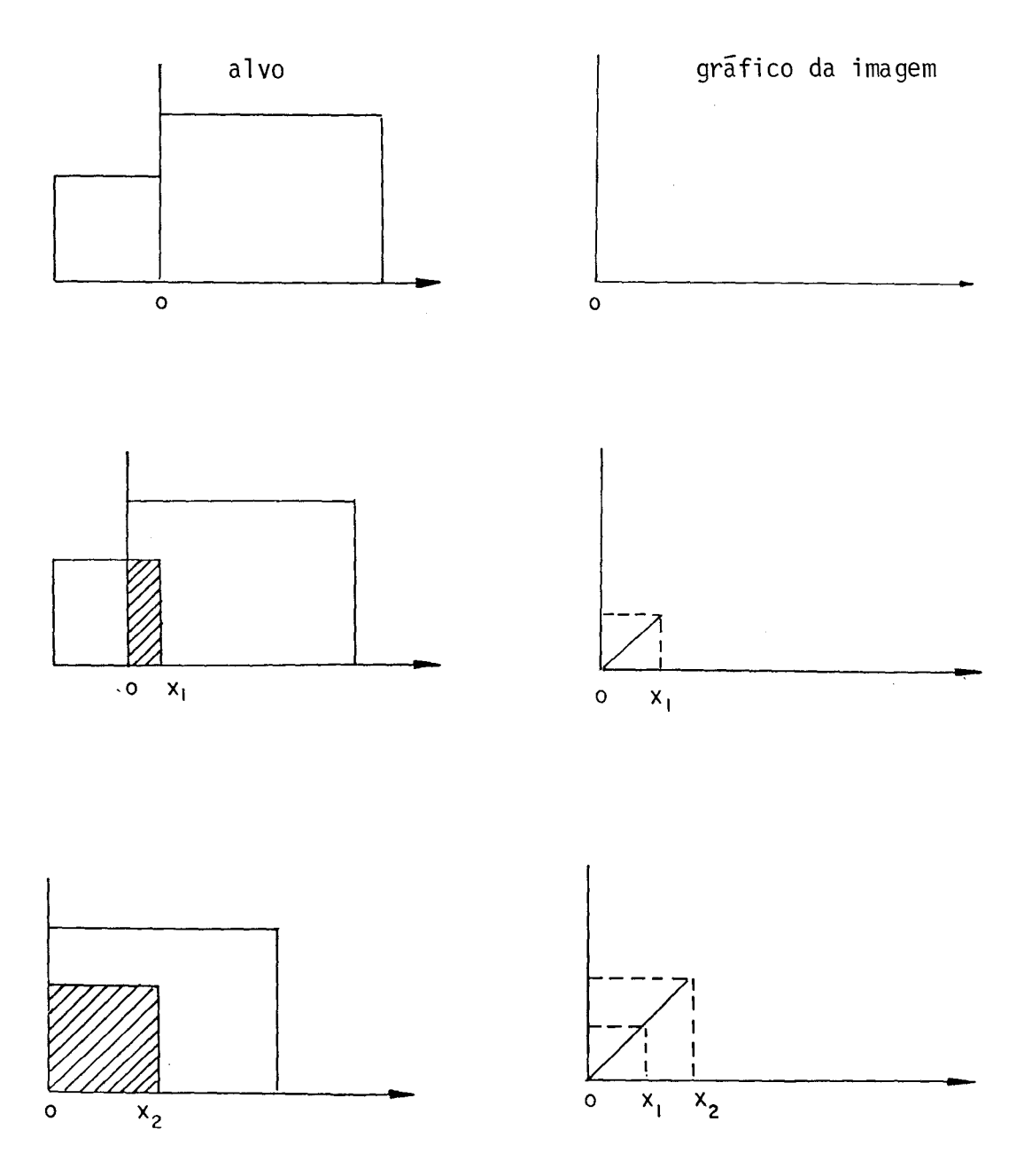


Fig. 2.8 - Formação do sinal no processo de convolução. (continua)

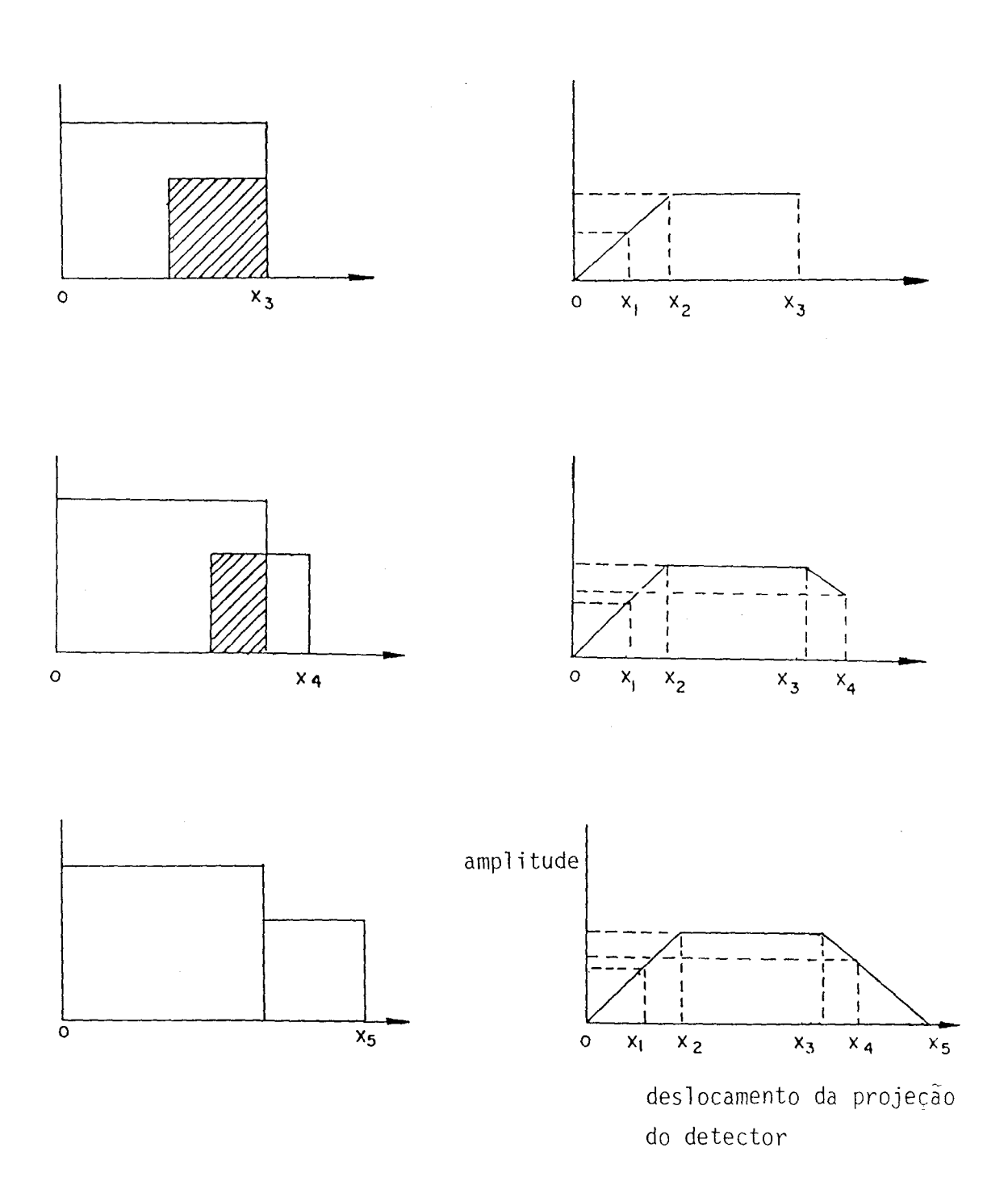


Fig. 2.8 - Conclusão

No deslocamento longitudinal da plataforma, o sinal é formado por um processo não-linear. A formação da imagem é aleatória e depende do local onde a projeção do detector vai varrer o alvo. A Figura 2.9 ilustra a formação do sinal neste processo. A amplitude máxima é a mesma em ambos os casos, entretanto a dimensão do alvo neste sentido será diferente.

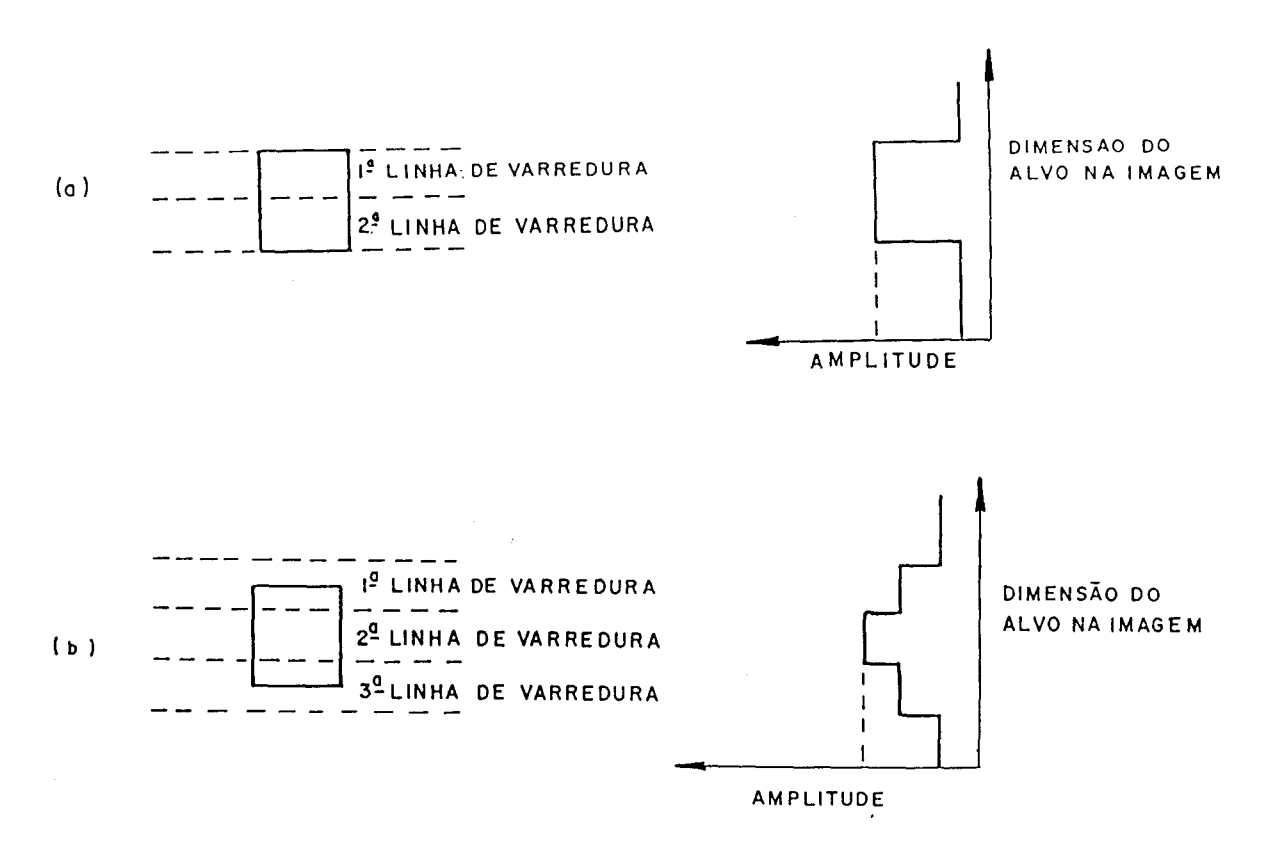


Fig. 2.9 - Dois exemplos de formação da imagem no sentido do deslocamen to da plataforma.

Desse modo pode-se tratar o sistema imageador como um sistema linear, uma vez que a formação da imagem no sentido de varred $\underline{u}$  ra do espelho  $\underline{\tilde{e}}$  realizada por um processo de convolução.

Todo o sistema linear pode ser caracterizado por uma funcão de transferência (Figura 2.10).

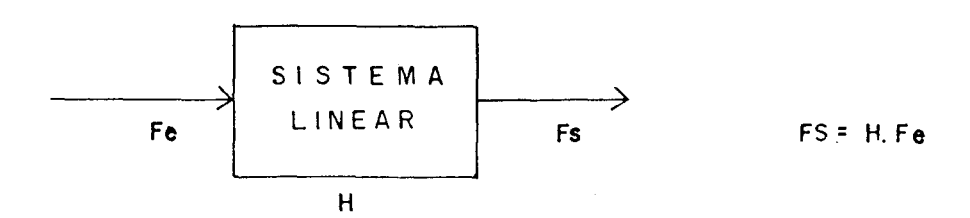


Fig. 2.10 - Função de transferência.

Como visto anteriormente (Seção 4.1.2), um sistema <u>opti</u> co possui então a sua função de transferência denominada OTF (Optical Transfer Function).

A OTF  $\tilde{e}$  uma função complexa que pode ser escrita na forma:

OTF = 
$$Ae^{i\theta}$$
,

onde A é uma função real, tal que |OTF| = A. Esta função A é denomina da Função de Transferência de Modulação (Modulation Transfer Function - MTF).

Um sistema imageador de varredura mecânica possui uma função de transferência que serã formada pelas funções de transferência de todos os subsistemas (optico, eletrônico, detector, filme e lâmpada moduladora (glow tube)) que o constituem.

A imagem  $\tilde{e}$  formada por um processo de convolução no sentido de varredura do espelho, e como a MTF  $\tilde{e}$  uma função que está no domínio da frequência, a MTF total do sistema  $\tilde{e}$  produto de todas as MTFs dos subsistemas:

Pode-se, então, calcular a MTF do sistema imageador ava liando as MTFs de seus subsistemas.

Uma vez conhecida a MTF do sistema, pode-se prever a sua resposta para diferentes "entradas" estabelecendo relações entre seus parâmetros como, por exemplo, a resolução espacial.

Esses subsistemas possuem variáveis de "entrada" e "saída" de diferentes naturezas (radiação de luz ou calor para o subsistema optico e tensão ou corrente para o subsistema eletrônico). Consequente mente suas respectivas funções de transferência possuirão diferentes ar gumentos (por exemplo, ciclo por milimetro ou ciclo por milirradiano para o subsistema optico, e hertz para o subsistema eletrônico). Em ou tras palavras, o subsistema optico trabalha com uma composição de fre quências espaciais, enquanto o subsistema eletrônico trabalha com uma composição de frequências temporais.

Naturalmente, ha uma relação direta entre essas frequências. Considere-se no circulo da Figura 2.11 uma rotação completa do espelho num tempo T. Ou seja:

$$2\pi \text{ rd} - T \text{ seg}$$
  
 $\alpha \text{ rd} - \tau' \text{ seg}$  (2.4)

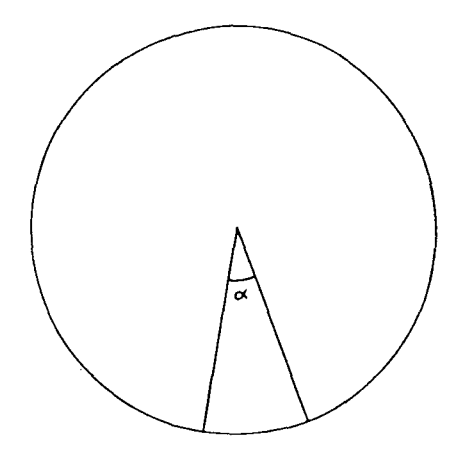


Fig. 2.11 - Uma rotação completa do espelho.

A frequência espacial significa:

1 mrd - f (ciclos),  

$$\alpha$$
 - x (ciclos),  
x (ciclos) =  $\alpha$ f(ciclos/mrd).

Todos esses ciclos espaciais se transformam em ciclos temporais:

x ciclos em um tempo  $\tau$ '

A frequência temporal serã:

$$f (hertz) = \frac{x}{\tau'} (\frac{ciclos}{seg}) ,$$

$$f (hertz) = \frac{\alpha f}{\tau'} (cy/mrd) . \qquad (2.5)$$

Da mesma forma há necessidade de relacionar a frequência espacial (cy/mm) sobre o filme com a frequência espacial sobre o plano focal da óptica coletora. Para tanto, primeiramente relaciona-se a frequência espacial sobre o filme com a frequência temporal em hertz (Figura 2.12).

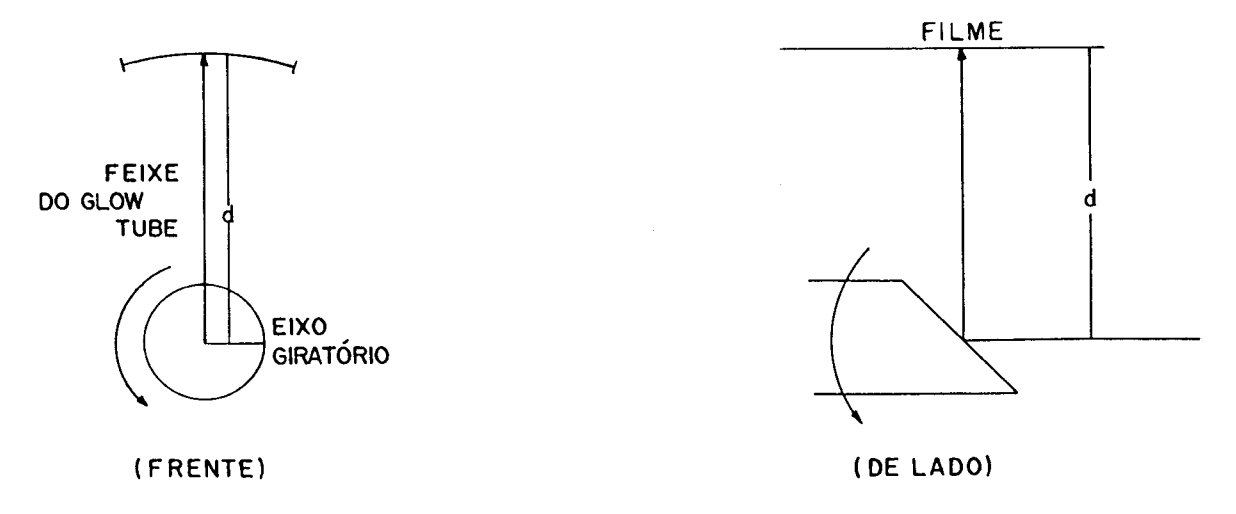


Fig. 2.12 - Esquema do sistema de gravação em filme.

A frequência f em hertz significa:

1 seg - f ciclos.

Através da Figura 2.12 tem-se que:

$$v = \frac{2\pi d}{T}$$
.

Em um segundo o feixe percorre uma distância L:

$$L = v \times 1 \text{ seg (mm)}$$
.

Os ciclos temporais se transformam em ciclos espaciais (linhas) sobre o filme:

Em 1 seg y = f(hertz). 1 seg,

$$L = \frac{2\pi d}{T} . 1 seg .$$

Então ter-se-ā y ciclos em L milimetros. Daía frequência serā:

$$f(cy/mm) = \frac{y}{L} \frac{ciclos}{mm}$$
,

$$f (cy/mm) = \frac{f (hertz) \cdot 1 seg}{\frac{2\pi d}{T} \cdot 1 seg}$$

$$f(cy/mm) = f(hertz) \frac{T}{2\pi d}$$
 (2.6)

Jā foi visto que:

f (hertz) = 
$$\frac{\alpha}{\tau^{\text{I}}}$$
 f (cy/mrd) .

Então tem-se:

$$\frac{\alpha}{\tau}$$
 f (cy/mrd) =  $\frac{2\pi d}{T}$  = f (cy/mm),

$$f(cy/mm) = \frac{\alpha}{\tau^{T}} \frac{T}{2\pi d} f(cy/mrd)$$
.

Através da Relação 2.4 tem-se:

$$\tau' = \frac{\alpha T}{2\pi}$$

Daī tem-se:

$$f(cy/mm) = \frac{1}{d} f(cy/mrd) . \qquad (2.7)$$

Para o cálculo da MTF total do sistema imageador, calculam-se as MTFs dos subsistemas em função da frequência em ciclos por militradiano.

### 2.5.1 - MTF DO SUBSISTEMA ÓPTICO

Considerando o subsistema óptico como uma abertura circ<u>u</u> lar livre de aberração, a MTF é estabelecida pela relação (Goodman, 1968):

$$H = \frac{2}{\pi} \left\{ \cos^{-1} \left( \frac{f}{f_C} \right) - \frac{f}{f_C} \sqrt{1 - \left( \frac{f}{f_C} \right)^2} \right\} \text{ para } \frac{f}{f_C} \le 1 , \qquad (2.8)$$

onde: f = frequência,

 $f_C = \frac{D}{\lambda}$ ,

D = diâmetro de abertura,

 $\lambda$  = comprimento de onda .

Considerando D = 75 mm e  $\lambda$  = 10  $\mu$ m, pode-se estabelecer

a tabela da MTF do subsistema óptico (Tabela 2.1).

TABELA 2.1

MTF DO SUBSISTEMA ÓPTICO

f(cy/mrd)	MTF	f(cy/mrd)	MTF	f(cy/mrd)	MTF
0,0000	1,0000	2,6250	0,5636	5,2500	0,1882
0,1875	0,9682	2,8125	0,5340	5,4375	0,1658
0,3750	0,9364	3,0000	0,5046	5,6250	0,1443
0,5625	0,9046	3,1975	0,4756	5,8125	0,1237
0,7500	0,8729	3,3750	0,4470	6,0000	0,1041
0,9375	0,8413	3,5625	0,4188	6,1875	0,0855
1,1250	0,8097	3,7500	0,3910	6,3750	0,0681
1,3125	0,7783	3,9375	0,3638	6,5625	0,0520
1,5000	0,7471	4,1250	0,3368	6,7500	0,0374
1,6875	0,7160	4,3125	0,3105	6,9375	0,0244
1,8750	0,6850	4,5000	0,2848	7,1250	0,0133
2,0625	0,6543	4,6875	0,2696	7,3125	0,0047
2,2500	0,6238	4,8750	0,2351	7,5000	0,0000
2,4375	0,5936	5,0625	0,2112		

## 3.5.2 - MTF DO SUBSISTEMA DETECTOR

Considerando a projeção do detector retangular no domínio espacial tem-se a função demonstrada na Figura 2.13a . Se se considerar apenas o sentido de varredura do espelho, a MTF do detector  $\tilde{e}$  a transformada desta função (Figura 2.13b) em função de  $\alpha f$  (Lloyd, 1975):

$$\alpha f = \frac{\text{sen } \pi \alpha f}{\pi \alpha f} \quad , \tag{2.9}$$

sendo

 $\alpha$  = ângulo de abertura da õptica , f = frequência .

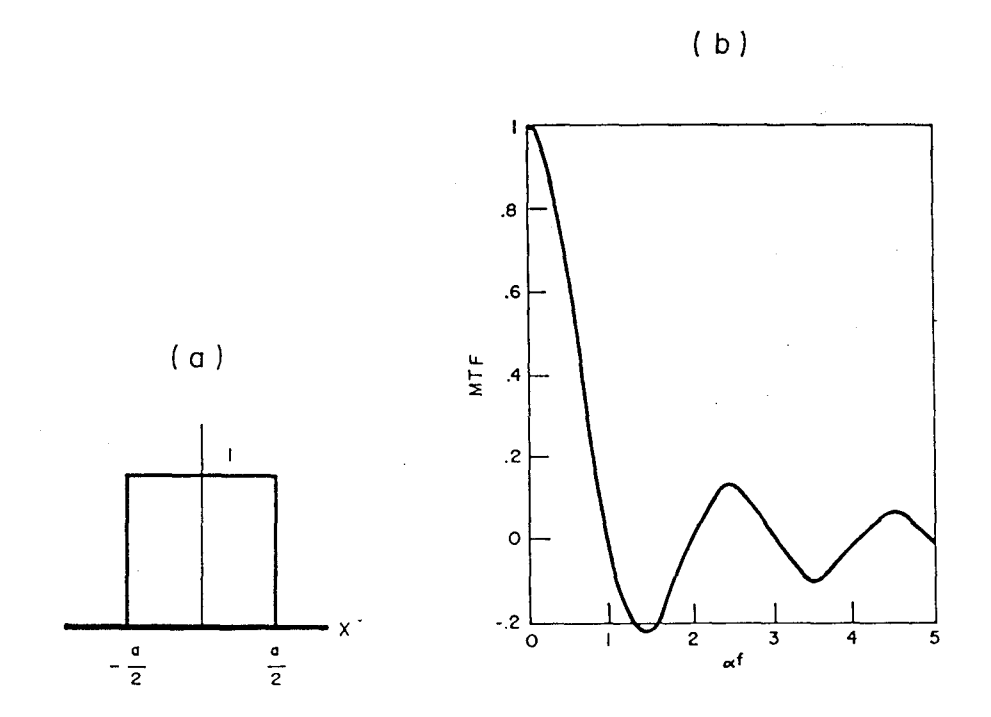


Fig. 2.13 - Função descritiva do detector retangular. Perfil do detector (a) e função MTF do detector (b).

FONTE: Lloyd (1975), pp. 90-92.

Fazendo  $\alpha$  = 2,5 mrd, pode-se estabelecer a MTF do subsistema detector, como mostra a Tabela 2.2.

TABELA 2.2

MTF DO SUBSISTEMA DETECTOR

f(cy/mrd)	MTF
0,020	0,996
0,040	0,984
0,060	0,963
0,080	0,935
0,100	0,900
0,120	0,858
0,140	0,810
0,160	0,757
0,180	0,699
0,200	0,637
0,220	0,572
0,240	0,505
0,260	0,436
0,280	0,368
0,300	0,300
0,320	0,234
0,340	0,170
0,360	0,109
0,380	0,052
0,400	0,000

# 3.5.3 - MTF DO SUBSISTEMA ELETRÔNICO

0 subsistema eletr $\hat{o}$ nico pode ser modelado como um filtro R'C' (Figura 2.14).

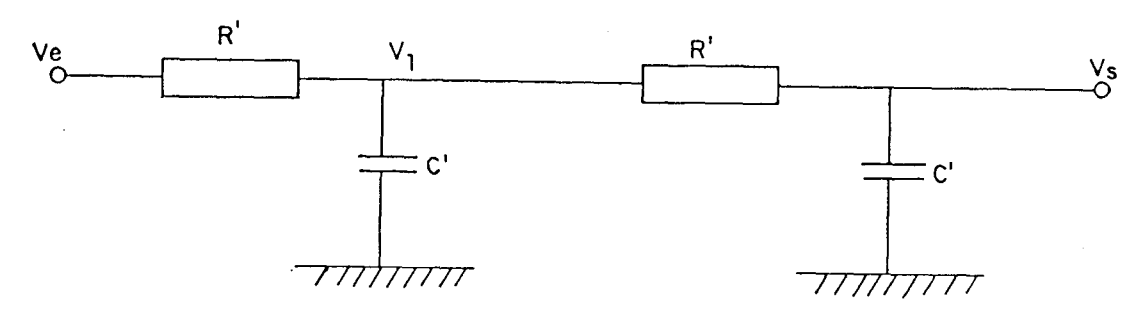


Fig. 2.14 - Filtro R'C'.

A partir da Figura 2.14 tem-se:

$$Vs = \frac{V_1}{R' = \frac{1}{j\omega C'}} \cdot \frac{1}{j\omega C'},$$

$$Vs = \frac{1}{i\omega R'C'+1} \cdot V_1$$
, (2.10)

$$\frac{Ve-V_1}{R'} = \frac{V_1}{\frac{1}{j\omega C'}} + \frac{V_1}{R' + \frac{1}{j\omega C'}},$$

$$\frac{Ve}{R'} = V_1 \left( \frac{1}{R'} + j\omega C' + \frac{j\omega C'}{j\omega R'C'+1} \right) ,$$

$$V_1 = \frac{1}{R'(\frac{1}{R'} + j\omega C' + \frac{j\omega C'}{j\omega R' + 1})}$$
. Ve, (2.11)

$$Vs = \frac{1}{j\omega R'C'+1} \cdot \frac{1}{1+j\omega R'C'+\frac{j\omega R'C'}{j\omega R'C'+1}} \cdot Ve ,$$

$$H(\omega) = \frac{Vs}{Ve}$$
,

$$H(\omega) = \frac{1}{j\omega R'C'+1 - \omega^2 R'^2 C'^2 + j\omega R'C'+j\omega R'C'},$$
 (2.12)

$$H(\omega) = \frac{1}{i 3\omega R'C' + 1 - \omega^2 R'^2 C'^2}$$
,

$$|H(\omega)| = \frac{1}{[-(1 - \omega^2 R^{'2}C^{'2})^2 + 9\omega^2 R^{'2}C^{'2}]^{1/2}},$$

$$|H(\omega)| = \frac{1}{(1-2 \omega^2 R^{'2}C^{'2} + \omega^4 R^{'4}C^{'4} + 9\omega^2 R^{'2}C^{'2})^{1/2}},$$

$$|H(\omega)| = \frac{1}{(1+7 \omega^2 R^{12} C^{12} + \omega^4 R^{14} C^{14})^{1/2}},$$
 (2.13)

 $\omega = 2\pi f$ .

Neste caso tem-se:

$$R' = 10\Omega$$
  
 $C' = 68 \text{ K}_p\text{F} = 69.10^{-9} \text{ F}$ .

A Relação 2.13 determina o valor de  $H(\omega)$  em função da frequência em hertz.

Através da Relação 2.5:

$$f(hertz) = \frac{\alpha}{\tau'} f(cy/mrd)$$

faz-se a transformação em ciclos/milirradiano.

No caso  $\alpha$  = 2,5 mrd, e o espelho gira a 6000 rpm (100 rps). Portanto, o período T é igual a 1/100s.

Então:

$$2\pi rd$$
 — 1/100 s 2,5 x  $10^{-3}rd$  —  $\tau^{+}$ 

$$\tau' = 0.4 \mu s$$
, 
$$f(hertz) = \frac{2.5 \text{ mrd}}{4x10^{-6}} f(cy/mrd)$$
, 
$$f(hertz) = 6.25x10^5 f(cy/mrd)$$
. (2.14)

Desse modo, introduzindo os valores de R' e C' de acordo com as especificações do equipamento, valores de f em hertz na Relação 2.13 e efetuando a transformação através da Relação 2.14, obtém-se a tabela da MTF do subsistema eletrônico (Tabela 2.3).

TABELA 2.3

MTF DO SUBSISTEMA ELETRÔNICO

f(hertz)	f(cy/mrd)	MTF
10³	0,0016	0,9999
5.10³	0,0080	0,9984
104	0,0160	0,9937
5.104	0,0800	0,8699
7.104	0,1120	0,7823
10 <sup>5</sup>	0,1600	0,6578
2.10 <sup>5</sup>	0,3200	0,3879
4.10 <sup>5</sup>	0,6400	0,1826
5.10 <sup>5</sup>	0,8000	0,1364
6.10 <sup>5</sup>	0,9600	0,1053
7.10 <sup>5</sup>	1,1200	0,0837
8.10 <sup>5</sup>	1,2800	0,0675
10 <sup>6</sup>	1,6000	0,0465
2.10 <sup>6</sup>	3,2000	0,6131
5.10 <sup>6</sup>	8,0000	0,0020

#### 2.5.4 - MTF DO FILME

A Figura 2.15 mostra a MTF do filme fornecida pelo fabr $\underline{i}$  cante.

Como no dado do fabricante, a frequência espacial está em ciclos por milímetro, utilizando a Relação 2.7 faz-se a transformação em ciclos por milirradiano:

f(cy/mrd) = d f(cy/mm).

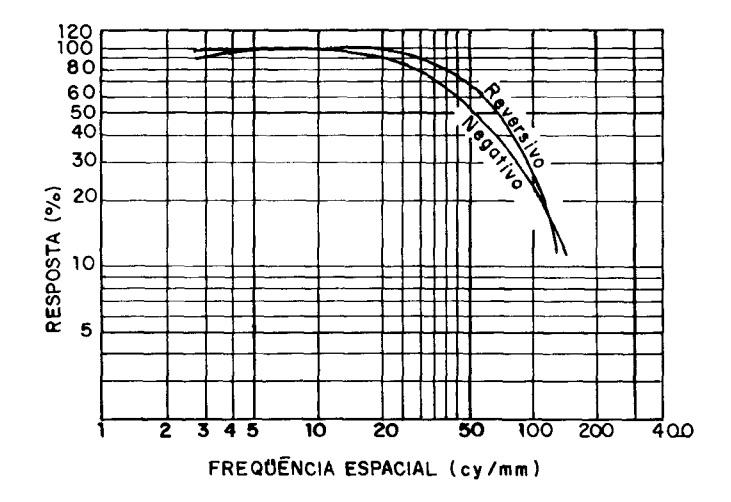


Fig. 2.15 - Curva da MTF do filme. FONTE: KODAK (1972), p. 2

Fazendo d = 30 mm (distância entre o centro do eixo gira tório e o filme, obtém-se a tabela da MTF do filme (Tabela 2.4).

TABELA 2.4

### MTF DO FILME

f(cy/mm)	f(cy/mrd)	MTF		
10	300	0,98		
20	600	0,90		
50	1500	0,50		
100	3000	0,25		

## 2.5.5 - MTF DA LÂMPADA MODULADORA (GLOW TUBE)

A Figura 2.16 representa a curva da MTF da lâmpada mod $\underline{u}$  ladora fornecida pelo fabricante.

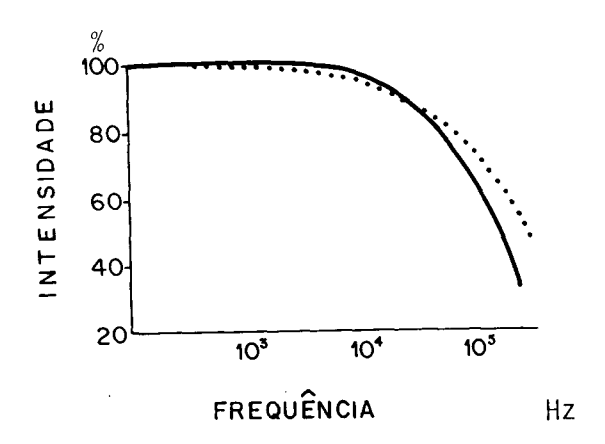


Fig. 2.16 - MTF da lâmpada moduladora.

FONTE: English Electric Valve (1982).

Com os dados fornecidos pela curva e a Relação 2.5, pode-se obter a MTF da lâmpada (Tabela 2.5).

TABELA 2.5

MTF DA LÂMPADA MODULADORA (GLOW TUBE)

f(Hz)	f(cy/mrd)	MTF
104	0,0160	0,975
5.104	0,0800	0,850
10⁵	0,1600	0,650
2.105	0,3200	0,470
4.105	0,6400	0,270

#### 2.5.6 - MTF DO SUBSISTEMA

Como já foi visto anteriormente, obtém-se a MTF total do sistema multiplicando todas as MTFs dos subsistemas, processo denomina do "cascateamento".

A MTF da lâmpada moduladora (glow tube) é formada pela MTF da eletrônica da lâmpada (fabricação) e pela MTF do deslocamento do feixe de luz no instante da varredura. Esta MTF tem os mesmos valo res numéricos da MTF do detector (Tabela 2.6).

Através da operação:

obtém-se a MTF do sistema (Tabela 2.7).

TABELA 2.6

MTFs DOS SUBSISTEMAS QUE COMPÕEM O SISTEMA IMAGEADOR

	FILME	<b>-</b> -	_	_	_	_	-	_	_	_	_	_	-	_	_	_	-
LÂMPADA (GLOW TUBE)	DESLOCAMENTO DE FEIXE	866,0	0,980	0,965	0,935	006,0	098,0	0,810	0,755	0,677	0,635	0,575	0,510	0,465	0,370	00:00	0,235
LÂMPADA	ELETRÔNICA	96,0	0,925	0,885	0,835	0,785	0,720	0,670	0,650	0,630	0,615	0,590	0,565	0,545	0,521	0,485	0,470
	ELETRÔNICA	0,985	0,970	0,935	006,0	0,825	0,735	0,685	0,658	0,620	0,592	0,562	0,530	0,498	0,468	0,446	0,388
	DETECTOR	0,998	0,980	0,965	0,935	006,0	0,860	0,810	0,755	0,677	0,635	0,575	0,510	0,465	0,370	00,300	0,235
	<b>OPTICA</b>	0,995	0,994	0,990	0,985	0,980	0,980	0,975	0,970	0,967	0,965	0,962	0,960	0,955	0,952	0,950	0,946
	f(cy/mrd)	0,02	0,04	90,0	80,0	0,10	0,12	0,14	0,16	0,18	0,20	0,22	0,24	0,26	0,28	0,30	0,32

TABELA 2.7

MTF DO SISTEMA IMAGEADOR

f(cy/mrd)	MTF(sistema)
0,02	0,9420
0,04	0,8565
0,06	0,7551
0,08	0,6471
0,10	0,5141
0,12	0,3836
0,14	0,2936
0,16	0,2365
0,18	0,1731
0,20	0,1417
0,22	0,1055
0,24	0,0748
0,26	0,0513
0,28	0,0318
0,30	0,0185
0,32	0,0095

Utilizando os dados das Tabelas 2.6 e 2.7 podem-se  $trac{a}$  çar as curvas da MTF dos subsistemas e de MTF total do sistema  $trac{a}$  dor (Figura 2.17).

## 2.6 - CAMPO INSTANTÂNEO DE VISADA EFETIVO (EIFOV)

O IFOV determina a resolução geométrica do equipamento . Entretanto, este valor está somente condicionado ao ângulo de abertura óptica. Com a contribuição da MTF em todo o sistema, na prática, o que vai determinar a resolução geométrica é o EIFOV (Effective Instantaneous Field of View - campo instantâneo de visada efetivo), (Figura 2.18a).

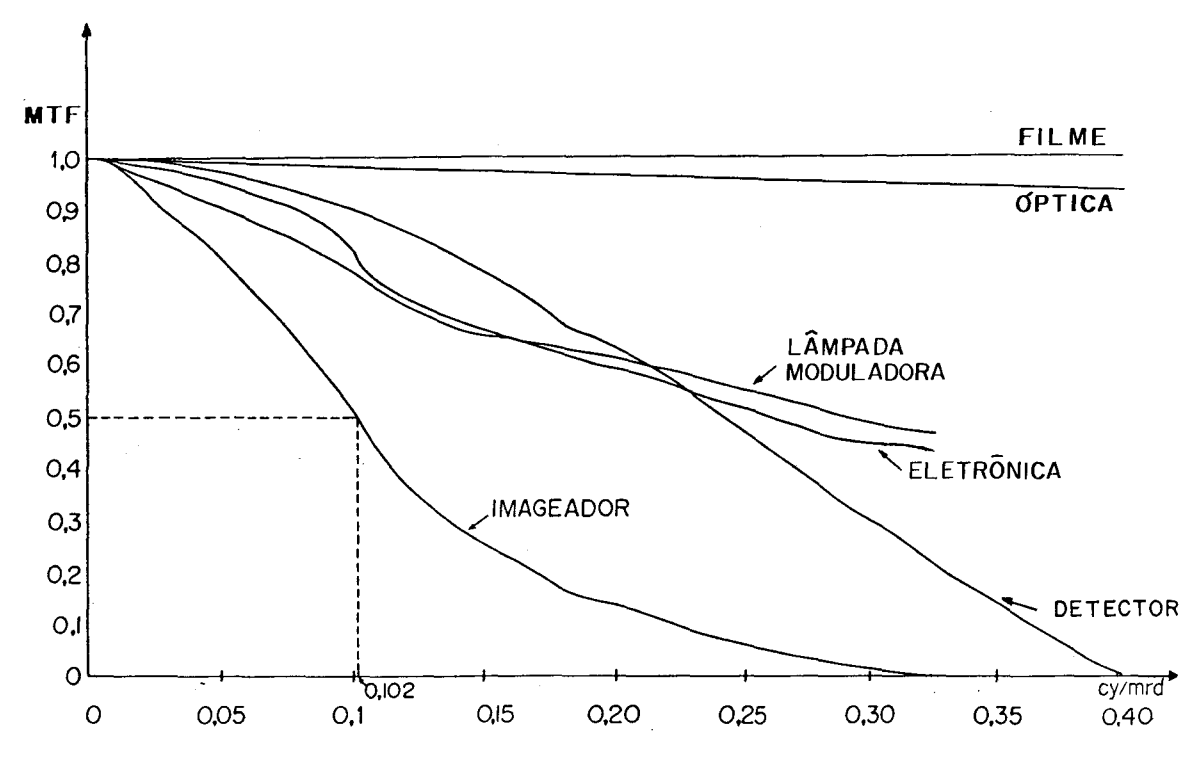


Fig. 2.17 - Gráfico das MTFs dos subsistemas e da MTF total do imagea dor.

O campo instantâneo de visada efetivo (EIFOV) é definido pela NASA para uma distribuição senoidal de radiância, como a frequência espacial que reduz a intensidade de modulação pela metade, devido a MTF do sistema (Figura 2.18b) (Slater, 1980).

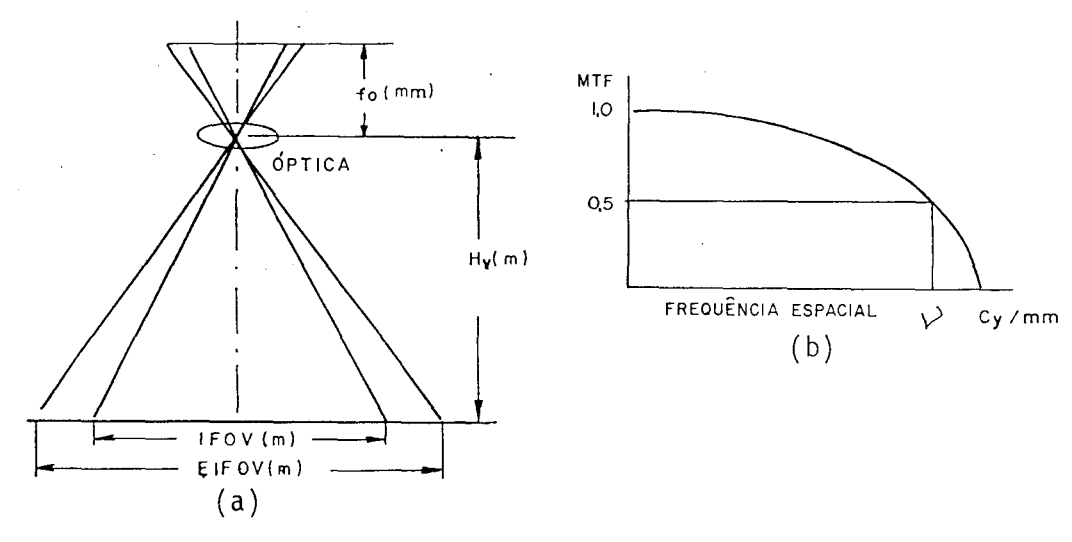


Fig. 2.18 - Campo instantâneo de visada efetivo (EIFOV).

FONTE: Slater (1980), p. 518.

Pode-se calcular o EIFOV através da relação (Slater, 1980):

$$f(mm) = \frac{H_{V}(m)}{2\nu(cy/mm) f_{0}(mm) EIFOV} ,$$

EIFOV (mm) = 
$$\frac{H_{V}(m)}{2\nu(cy/mm) f_{0}(mm)}.$$

Como f(cy/mrd) = d f(cy/mm),

$$EIFOV = \frac{H_V(m)}{2v(cy/mrd)}$$

sendo v = frequência espacial correspondente e MTF = 0,5.

Voltando à curva do sistema imageador (Figura 2.17), de termina-se o valor de  $\nu$  = 0,102. Como os võos foram realizados a 167 metros de altura, tem-se:

EIFOV = 
$$\frac{167}{2 \times 0.102}$$
 = 825 mm,

IFOV = 
$$H_{V} \cdot \alpha = 167 \times 2,5 \times 10^{-3} = 0,416 \text{ m}$$
.

Portanto:

IFOV 
$$\simeq 0,40 \text{ m}$$

EIFOV 
$$\simeq$$
 0,80 m .

Analisando a Figura 2.17, pode-se observar que as MTFs do subsistema eletrônico, do detector e da lâmpada moduladora foram os que mais contribuiram para a formação da MTF total do sistema imageador; a MTF do filme nada contribuiu e a MTF optica pouco contribuiu. Para melhorar o EIFOV do equipamento, torna-se necessário melhorar o desem

penho dos três subsistemas que mais contribuíram para o resultado fi nal da MTF do equipamento. O detector e a lâmpada "glow tube" teriam de ser substituídos por outros cujas MTFs tenham os seus pontos de corte em frequências mais altas. O subsistema eletrônico tem como recurso para melhorar a MTF a ampliação da largura de faixa eletrônica. Este recurso, por outro lado, apresenta uma desvantagem que e0 aumento do nível de ruído.

Cabe ressaltar aqui que, no cálculo da MTF do subsistema óptico, este foi considerado uma óptica sem obstrução. Todavia, o teles cópio do tipo Cassegrain utilizado no imageador apresenta obstrução (Figura 2.1).

O detector utilizado tem uma forma circular; mas para o cálculo da MTF foi considerado de forma retangular.

Entretanto, a aproximação feita é válida, uma vez que a MTF da óptica com obstrução e a MTF do detector circular pouco alterariam a MTF total encontrada.

#### 2.7 - FILTRO PASSA-ALTA

Na construção do imageador utilizado, foi colocado um filtro passa-alta após o detector que bloqueia a passagem dos sinais de baixa frequência próxima a zero (Figura 2.19).

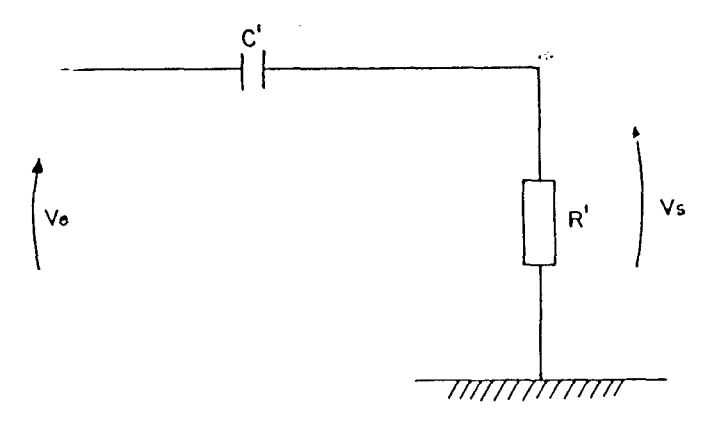


Fig. 2.19 - Filtro passa-alta.

Através da Figura 2.19 tem-se:

$$I = \frac{V_e}{R' + \frac{i}{j\omega C'}},$$

$$V_s = R'I$$
,

$$V_S = R' \frac{V_e}{R' + \frac{1}{j\omega C'}}$$
,

$$\frac{V_{s}}{V_{e}} = \frac{j\omega R'C'}{j\omega R'C'+1} ,$$

$$\left| \frac{V_{S}}{V_{e}} \right| = \frac{\omega R'C'}{\sqrt{\omega^{2}R'^{2}C'^{2}+1}}$$
,

$$\omega = 2\pi f$$
,

$$|H| = \frac{2\pi f R'C'}{\sqrt{4\pi^2 f^2 R'^2 C'^2 + 1}} . \qquad (2.14)$$

Fazendo C =  $10^{-2}$ F e R =  $30\,\Omega$  na Relação 2.14 obtêm-se os os dados da curva do filtro (Tabela 2.8).

Utilizando os dados da Tabela 2.8, pode-se traçar a cur va do filtro (Figura 2.20). Este filtro elimina a amplitude média do sinal com o objetivo de realçar as diferenças de temperaturas (Figura 2.21b). A este sinal, depois de ampliado antes da gravação, é adiciona do um sinal artificial que representa um nível médio de cinza (Figura 2.21c).

TABELA 2.8

DADOS DA CURVA DO FILTRO PASSA-ALTA

f(Hz)	f(cy/mrd)	Н
20	3,20x10 <sup>-5</sup>	0,35
30	4,80x10 <sup>-5</sup>	0,48
40	6,40x10 <sup>-5</sup>	0,59
50	8,00x10 <sup>-5</sup>	0,66
60	9,60x10 <sup>-5</sup>	0,72
70	1,12x10 <sup>-4</sup>	0,76
80	1,28x10 <sup>-4</sup>	0,79
100	1,60x10 <sup>-4</sup>	0,84
120	1,92x10 <sup>-4</sup>	0,87
160	2,56x10 <sup>-4</sup>	0,89
200	$3,20 \times 10^{-4}$	0,91
260	4,16x10 <sup>-4</sup>	0,92
320	5,12x10 <sup>-4</sup>	0,93
10 <sup>3</sup>	1,60x10 <sup>-3</sup>	0,9486

A finalidade desse filtro  $\tilde{e}$  destacar as diferenças de temperaturas, fazendo com que as imagens fiquem em torno de um nível médio de cinza. Como resultado tem-se a imagem de uma região fria e outra de uma região quente com tonalidades de cinza parecidas, realçando as  $d\tilde{i}$  ferenças de temperaturas contidas em cada uma das imagens.

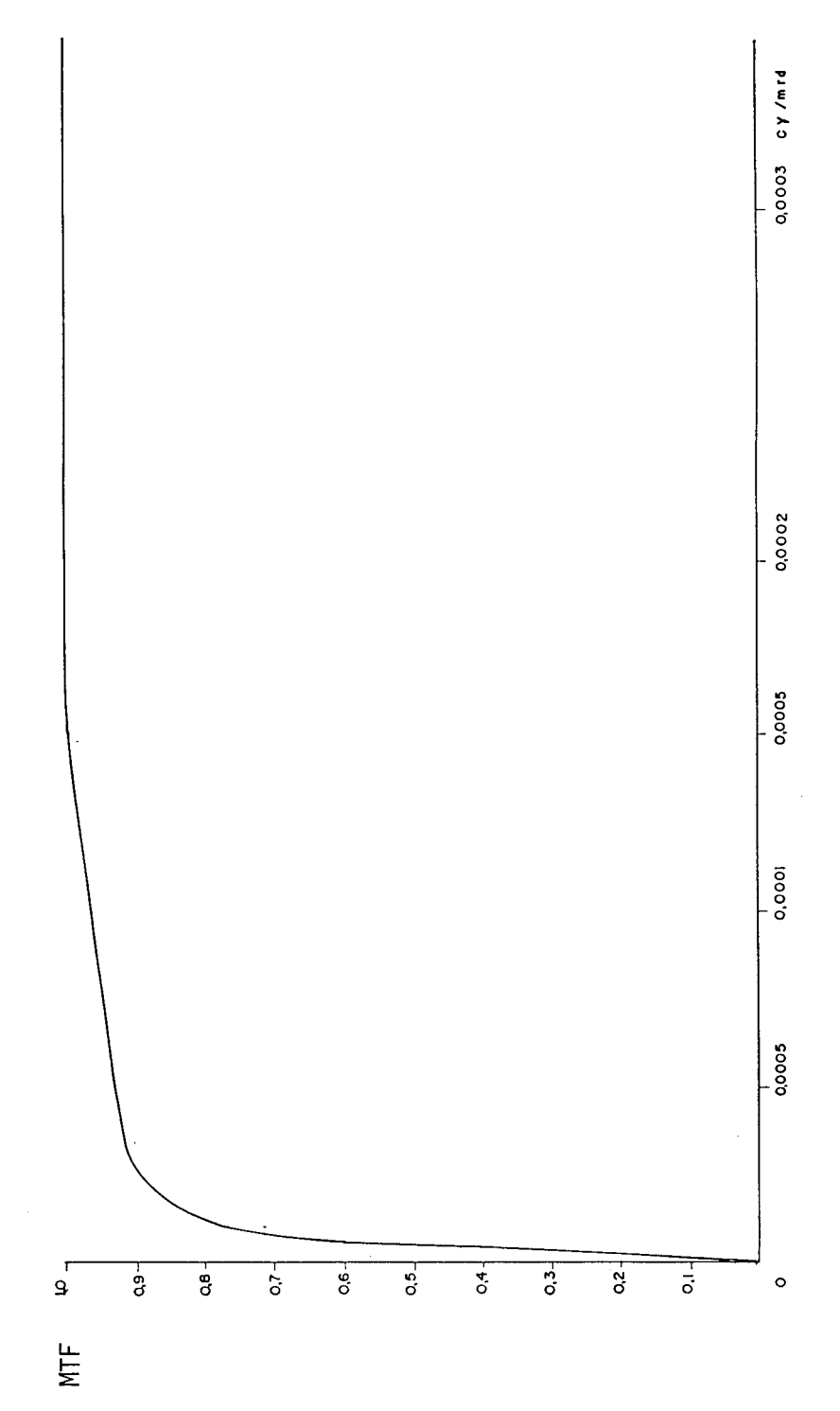


Fig. 2.20 - Curva do filtro passa-alta.

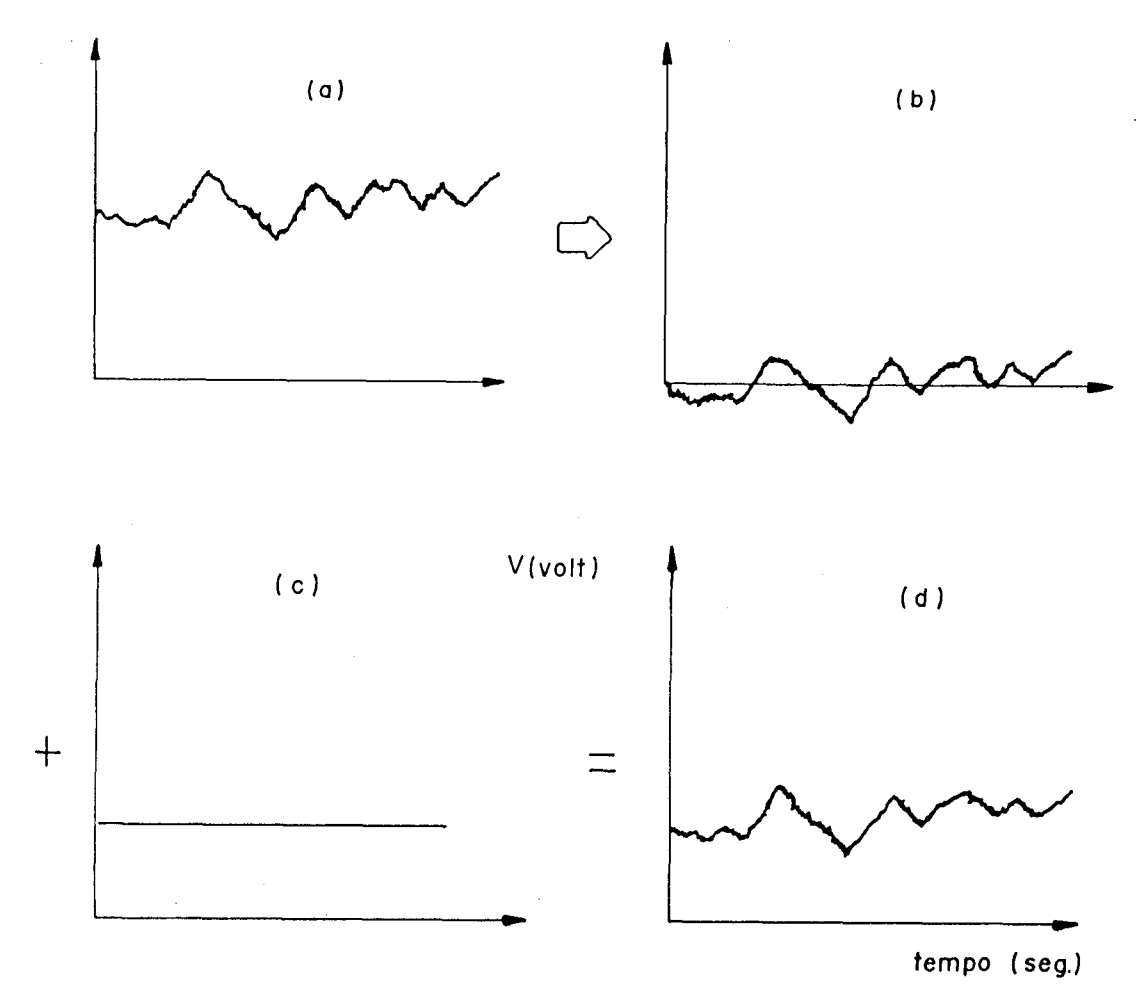


Fig. 2.21 - Comportamento do sinal na formação da imagem. Sinal original (a), valor médio igualado a zero (b), sinal artificial a ser acrescentado (c) e sinal resultan te (d).

Contudo, esse artifício causa certos efeitos que prejudi cam a formação da imagem. Se se tiver no alvo um ponto que destoa de seus vizinhos (muito quente ou muito frio), o sinal comportar-se-ã como demonstrado na Figura 2.22 (exemplo com um ponto quente).

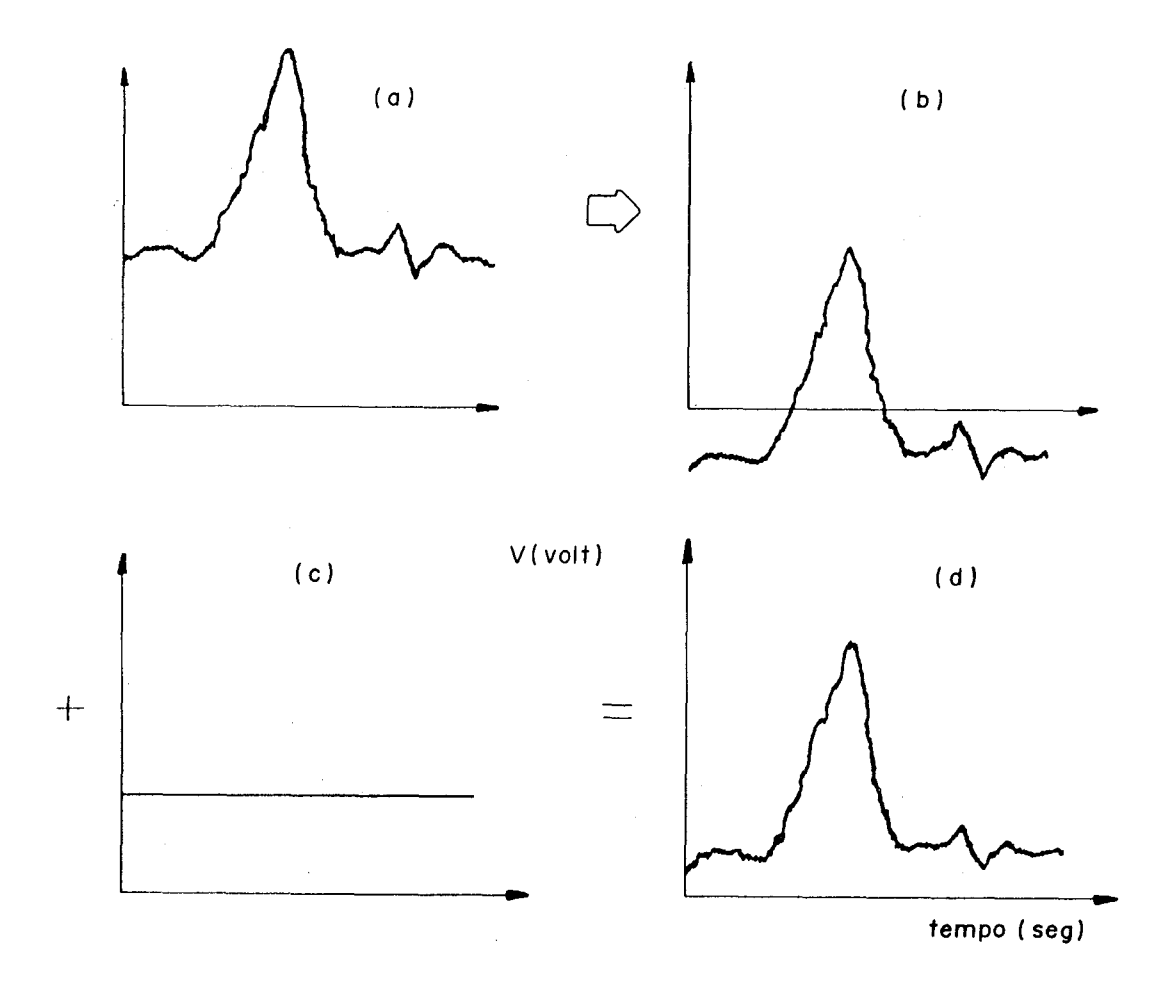


Fig. 2.22 - Comportamento do sinal de alvo com um ponto quente.

Como consequência ocorrem uns "riscos" na imagem. O "riscos" será preto se o ponto que se destaca for quente, será branco se for frio. A Figura 2.23 apresenta esse efeito. O ponto quente  $\acute{e}$  uma fogue $\acute{e}$  ra.

# Direção do vôo

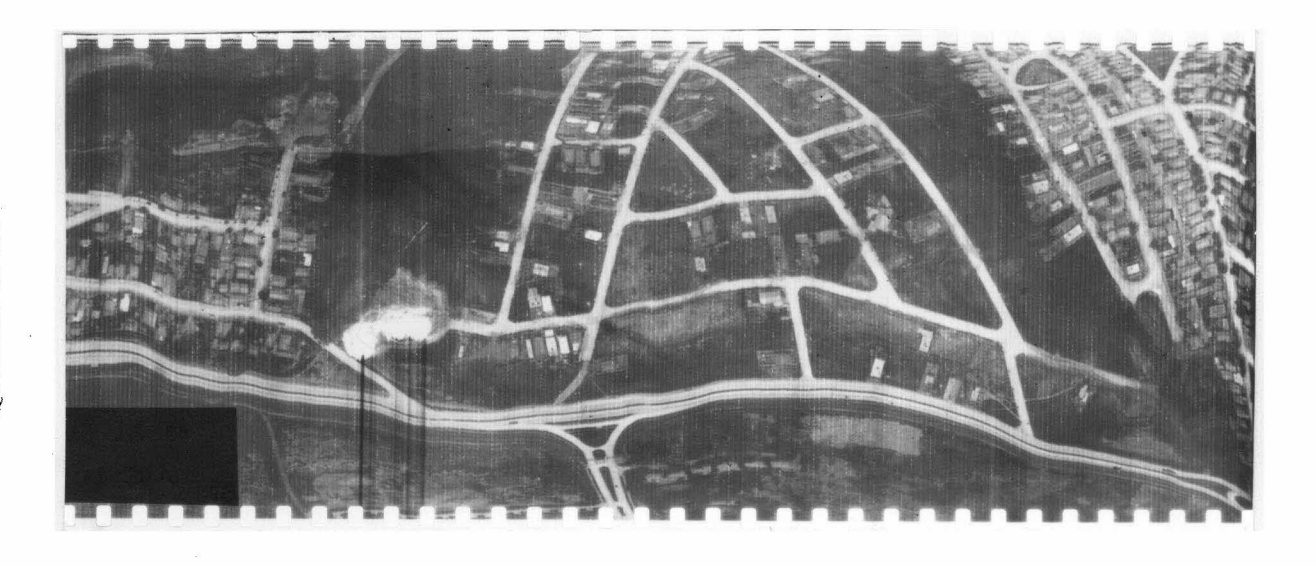


Fig. 2.23 - O ponto branco apresentado na imagem e uma fogueira.

### CAPITULO 3

# EXPERIMENTOS: DISCUSSÃO E ANÁLISE

## 3.1 - INTRODUÇÃO

Os võos para obtenção das imagens foram realizados por  $\underline{u}$  ma aeronave de pequeno porte, monomotor de asa alta. Para a fixação do sensor foram retiradas a cadeira e a porta direita e foi colocado um suporte externo como mostra a Figura 3.1.

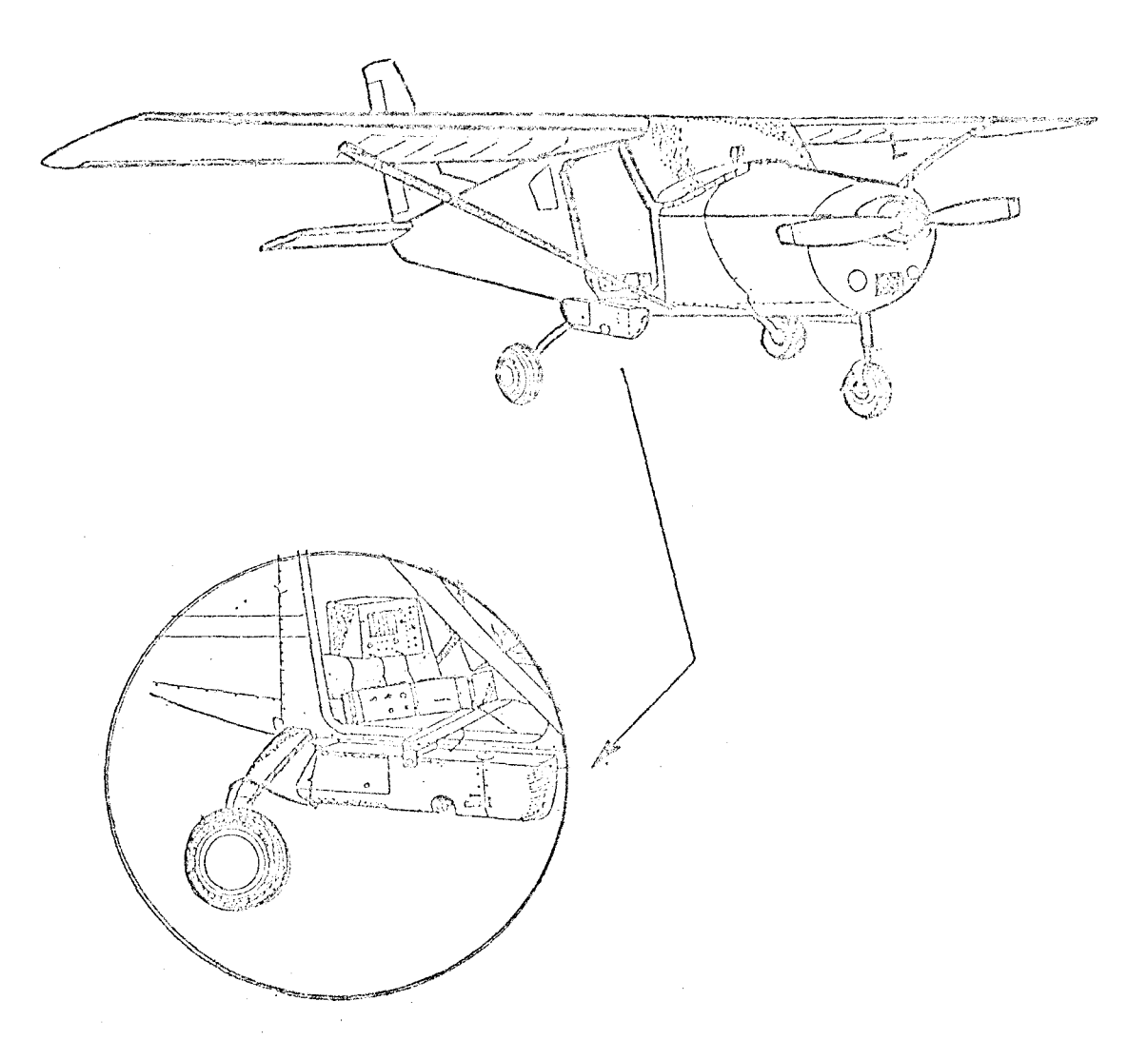


Fig. 3.1 - Aeronave com o imageador instalado.

A escolha da aeronave foi devido a sua capacidade de voar a baixas velocidades. Deste modo pôde-se obter uma resolução geométri ca linear melhor, explorando a relação V/H do equipamento. Os vôos foram realizados a uma velocidade de 150 km/h e a uma altura aproximada de 167 m.

Foram obtidas imagens de alvos existentes no terreno ( $n\underline{a}$  turais e artificiais) e de alvos simulados. Como alvos simulados, foram utilizadas caixas de placas de PVC, com as dimensões laterais de 0,20 x 0,20m, 0,40 x 0,40m e 1,00 x 1,00m, e uma altura de 0,10m, poden do ser posicionadas para fornecer alvos de dimensões variáveis.

Dentro dessas caixas foi colocada agua com temperaturas controladas (Figura 3.2). A agua foi o elemento escolhido em virtude da sua alta emissividade.

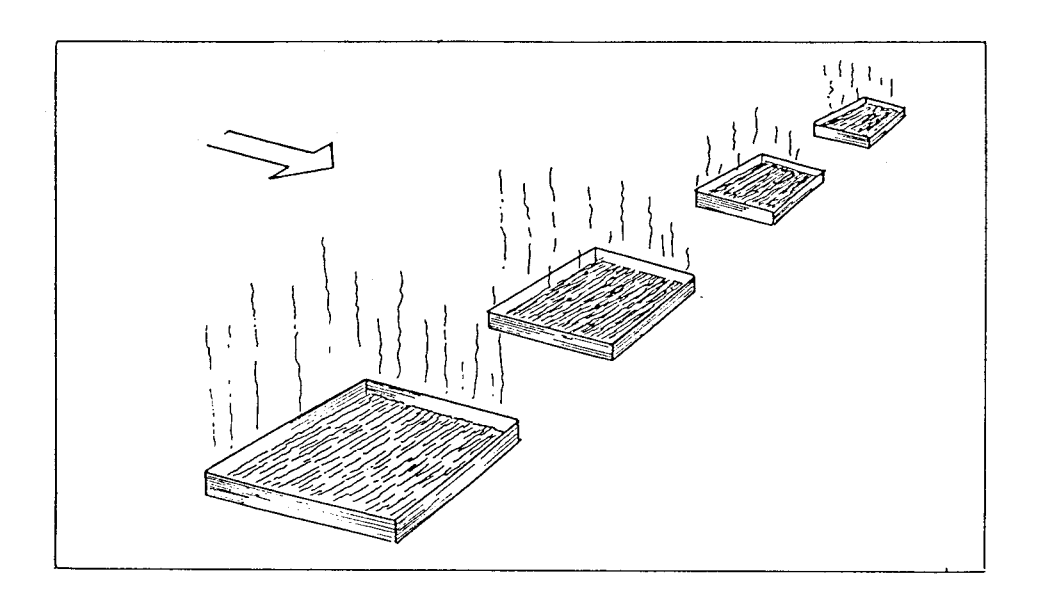


Fig. 3.2 - Alvos simulados.

Simultaneamente aos v $\hat{o}$ os, foram medidas temperaturas de radiaç $\hat{a}$ o dos alvos, utilizando o radi $\hat{o}$ metro PRT-5 e temperaturas de contacto atrav $\hat{e}$ s de um term $\hat{o}$ metro eletr $\hat{o}$ nico digital (OMEGA 2168A).

O objetivo inicial do experimento era realizar um estudo de detecção de alvos com dimensões comparadas com a de um elemento de resolução. De posse das especificações do equipamento, a uma altura de 167m, ter-se-ia uma resolução geométrica linear no solo de 0,40m, razão pela qual os alvos foram construídos com as dimensões já mencionadas.

Foram realizados 27 experimentos no total. Os primeiros foram realizados colocando os alvos sobre uma superfície gramada aparentemente homogênea. Entretanto, esta superfície, analisada na imagem, apresentou vários pontos de diferentes temperaturas. Consequentemente, os alvos ficaram "camuflados" no terreno. Posteriormente os experimentos foram realizados com os alvos sobre uma velha quadra esportiva os quais não foram novamente bem sucedidos porque, a exemplo do terreno gramado, os alvos se confundiram com alguns pontos de diferentes temperaturas. Finalmente, os experimentos foram realizados colocando os al vos simulados sobre um pátio de estacionamento de aeronaves. Embora to dos estes experimentos tenham contribuído para as conclusões e resultados, serão discutidos somente aqueles pertinentes às próximas secões.

# 3.2 - CÁLCULO DO EIFOV ATRAVÉS DOS EXPERIMENTOS

Como ja foi visto no capítulo anterior, a imagem  $\tilde{e}$  forma da, no sentido de varredura do espelho, pelo processo de convolução. Vê-se também que a dimensão da imagem de um alvo nesta direção  $\tilde{e}$  proporcional  $\tilde{a}$  dimensão do alvo mais o EIFOV.

Assim tem-se:

$$L = [\ell(a)vo) + EIFOV]K$$
,

onde:

L = dimensão da imagem (sentido de varredura) ,  $\ell(\text{alvo})$  = dimensão do alvo , K = fator de escala ,

$$L = K \qquad \ell(alvo) + K.EIFOV,$$

$$\psi \qquad \psi \qquad \psi \qquad \psi$$

$$y = a \qquad x \qquad b \qquad ,$$

$$y = ax + b \qquad (3.1)$$

Fazendo y = 0 tem-se:

$$x = -\frac{b}{a} = \frac{-K.EIFOV}{K} = -EIFOV$$
.

Através dos experimentos realizados, pode-se estabelecer a Tabela 3.1, que é representada pela dimensão do alvo  $(\ell)$  e pela sua respectiva dimensão da imagem L. Esta dimensão da imagem foi medida no gráfico obtido no microdensitômetro.

Aplicando o modelo de regressão simples com os dados constantes na Tabela 3.1, tem-se a equação da reta:

$$y = 0,009x + 0,018$$

Fazendo y = 0

tem-se  $x = -2 \rightarrow EIFOV \simeq 2m$ .

Desse modo, verificou-se que o EIFOV médio encontrado foi de 2 metros. Na Figura 3.3 pode-se visualizar o gráfico dessa reta de regressão.

TABELA 3.1

DIMENSÕES DO ALVO E DA IMAGEM CORRESPONDENTE

Tamanho do	Tamanho da	Tamanho do Tamanho d	
Alvo $\ell(m)$	Imagem L(m)	Alvo ℓ(m)	Imagem L(m)
7,00	0,093	2,70	0,037
1,40	0,020	3,00	0,038
7,00	0,090	7,00	0,068
7,00	0,087	4,00	0,048
6,40	0,081	7,00	0,070
7,00	0,083	4,20	0,057
7,00	0,086	7,00	0,073
7,00	0,071	1,40	0,026
4,00	0,046	2,80	0,035
1,00	0,034	0,20	0,018
1,00	0,031	1,00	0,030
1,00	0,027	0,40	0,028
1,00	0,024	0,20	0,027
1,00	0,025	0,40	0,026
1,00	0,031	1,00	0,030
2,00	0,034	1,00	0,034
2,35	0,028		
l			

# 3.3 - CURVA TEÓRICA DO SINAL

Na formação da imagem pelo processo de convolução, a projeção do detector no solo, na realidade, tem uma forma circular (Figura 3.4).

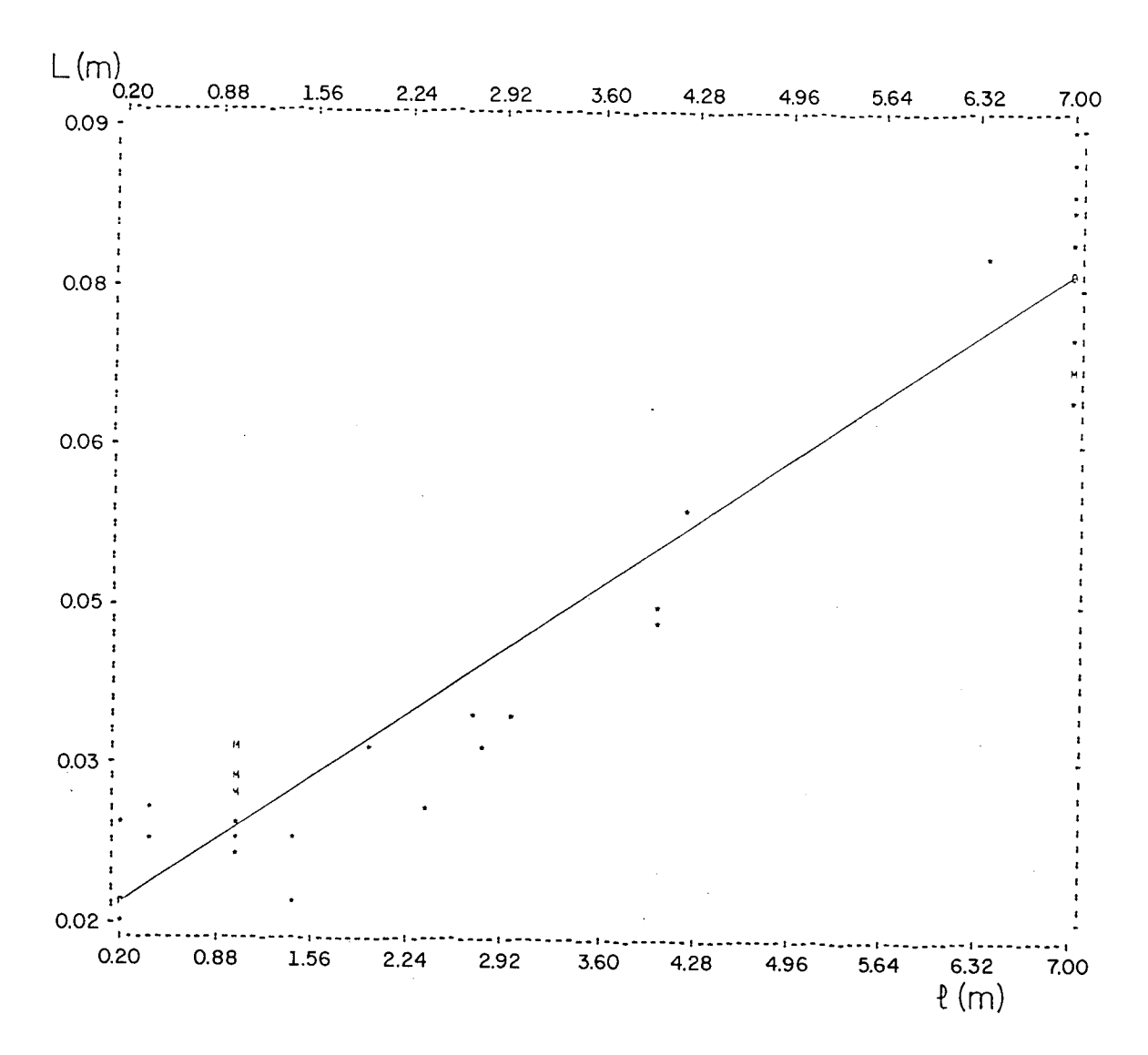
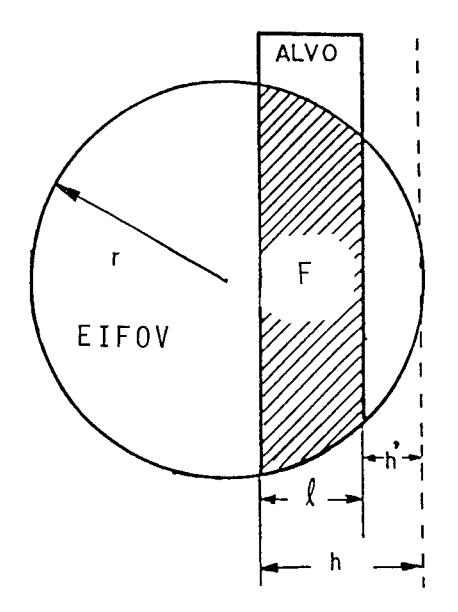


Fig. 3.3 - Representação gráfica da reta.



r = raio do circulo -> EIFOV = 2r

F = area envolvida pela convolução (amplitude)

 $\ell$  = dimensão do alvo

Fig. 3.4 - Projeção do detector sobre o alvo (Alvo < EIFOV).

A amplitude do sinal é representada pela área envolvida pela convolução num dado ponto  $\underline{h}$  e é determinada pela relação (Selby, 1974):

$$F = r^{2}\cos^{-1}(\frac{r-h}{r}) - (r-h) \sqrt{2rh-h^{2}} - [r^{2}\cos^{-1}(\frac{r-h'}{r}) - (r-h')].$$

$$\sqrt{2rh'-h'^{2}}, \ell(\alpha\ell\nu\sigma) = (h-h'),$$

$$F = r^{2}\cos^{-1}(\frac{r-h}{r}) - \cos^{-1}(\frac{rh+\ell}{r}) - (r-h) \sqrt{2rh-h^{2}} + (r-h+\ell).$$

$$\sqrt{2rh-h^2-2r\ell+2h\ell-\ell^2}$$
 , para  $\ell \leq h \leq r$  .

(3.2)

Quando a dimensão do alvo é maior que o EIFOV, a amplitude do sinal é representada pela Relação 3.3 e pela Figura 3.5 (Selby, 1974):

$$F = r^{2} \cos^{-1}(\frac{r-h}{r}) - (r-h) \sqrt{2rh - h^{2}}.$$
 (3.3)

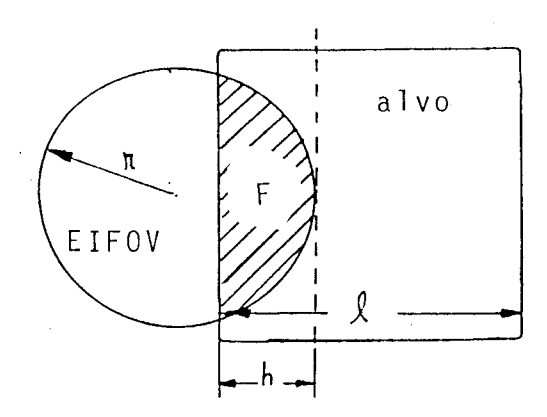


Fig. 3.5 - Projeção do detector sobre o alvo (alvo > EIFOV).

Para determinar a amplitude maxima da curva faz-se:

$$\frac{\partial F}{\partial h} = 0$$
 e EIFOV = 2r,

$$F(max) = \frac{\pi(EIFOV)^{2}}{4} \left[1 - \frac{2}{\pi} \cos^{-1}(\frac{\ell}{EIFOV}) + \frac{\ell}{\pi} \sqrt{(EIFOV)^{2} - \ell^{2}}\right], (3.4)$$

para  $\ell \leq \text{EIFOV}$  .

$$F(max) = \frac{\pi(EIFOV)^2}{4} , para \ell \ge EIFOV .$$
 (3.5)

Na Figura 3.6 pode-se visualizar o comportamento das curvas em relação ao tamanho do alvo. Quando  $\ell \geq$  EIFOV, tem-se a amplitude máxima  $F_2$  que é representada pela Equação 3.5, e quando  $\ell <$  EIFOV, tem-se a amplitude máxima  $F_1$  que é representada pela Equação 3.4. Pode-se observar também que, quando  $\ell >$  EIFOV, o ponto em que a amplitude atin

ge o seu valor m $\tilde{a}$ ximo representa no eixo das abscissas, a dimens $\tilde{a}$ o do EIFOV.

Substituindo o valor de " $\ell$ " pelas dimensões dos alvos utilizados, e fazendo R = lm (2R=EIFOV=2,0m) nas Equações 3.2 e 3.3, pode-se esboçar o comportamento teórico das curvas (Figura 3.7).

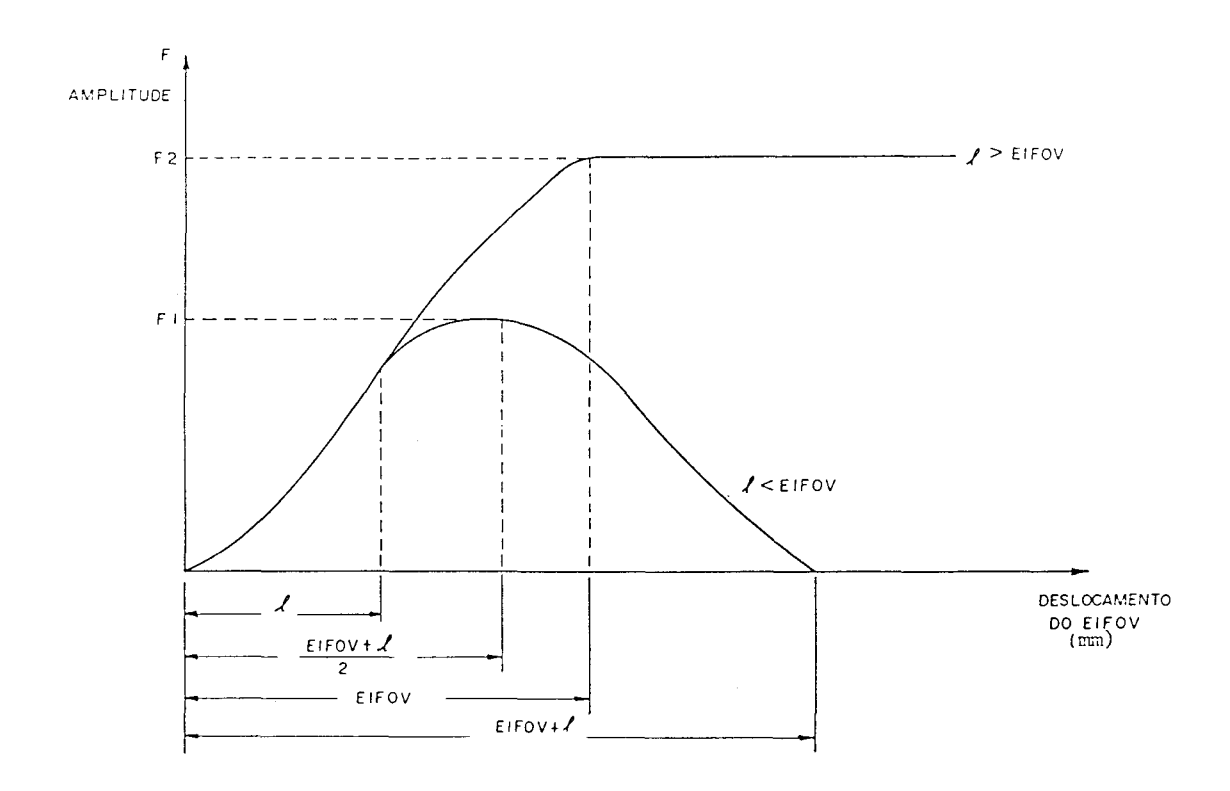


Fig. 3.6 - Comportamento das curvas das imagens em relação ao tamanho do alvo.

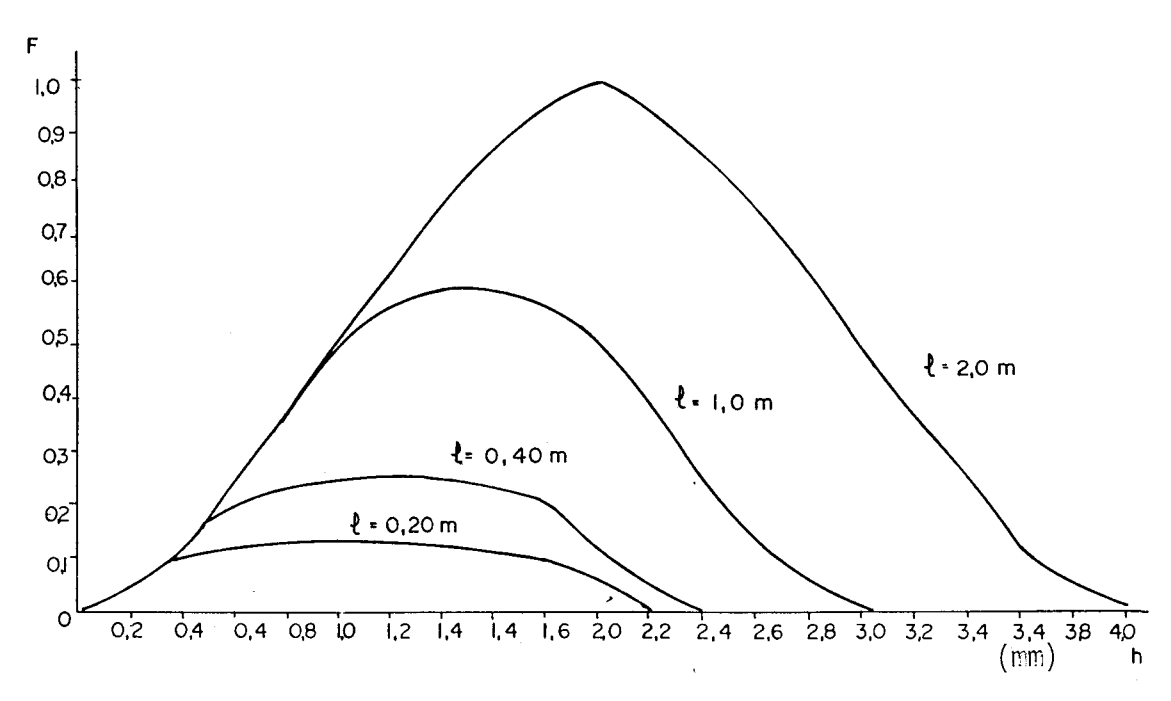


Fig. 3.7 - Comportamento teórico das curvas dos alvos utilizados.

# 3.4 - COMPARAÇÃO ENTRE AS CURVAS PREVISTAS PELA TEORIA E CURVAS OBTIDAS ATRAVÉS DOS EXPERIMENTOS

De posse das curvas previstas pela teoria e apresentadas na Figura 3.7, pode-se compará-las com as curvas das imagens obtidas através dos experimentos.

As curvas das imagens foram obtidas utilizando um micro densitômetro. No processo de comparação usou-se o artifício de normalização das curvas, isto é, igualou-se a amplitude máxima e o deslocamen to lateral da curva prevista pela teoria com a curva obtida pelo experimento.

Para realização desse experimento os alvos foram dispostos como ilustra a Figura 3.8.

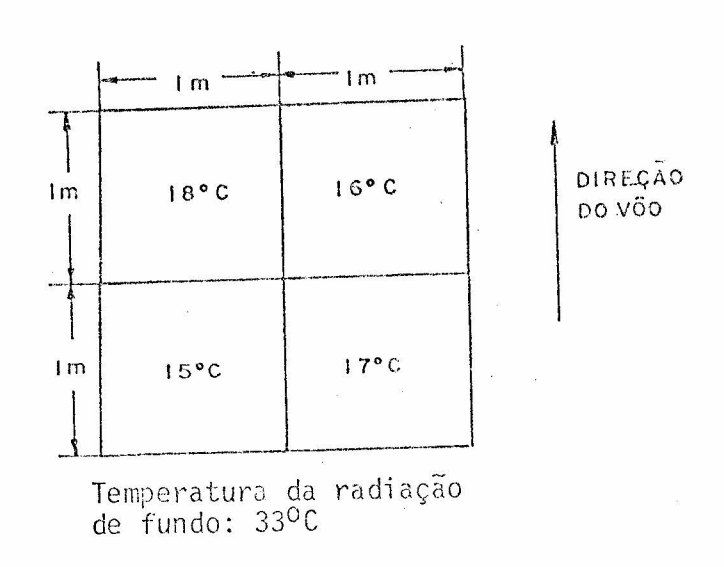
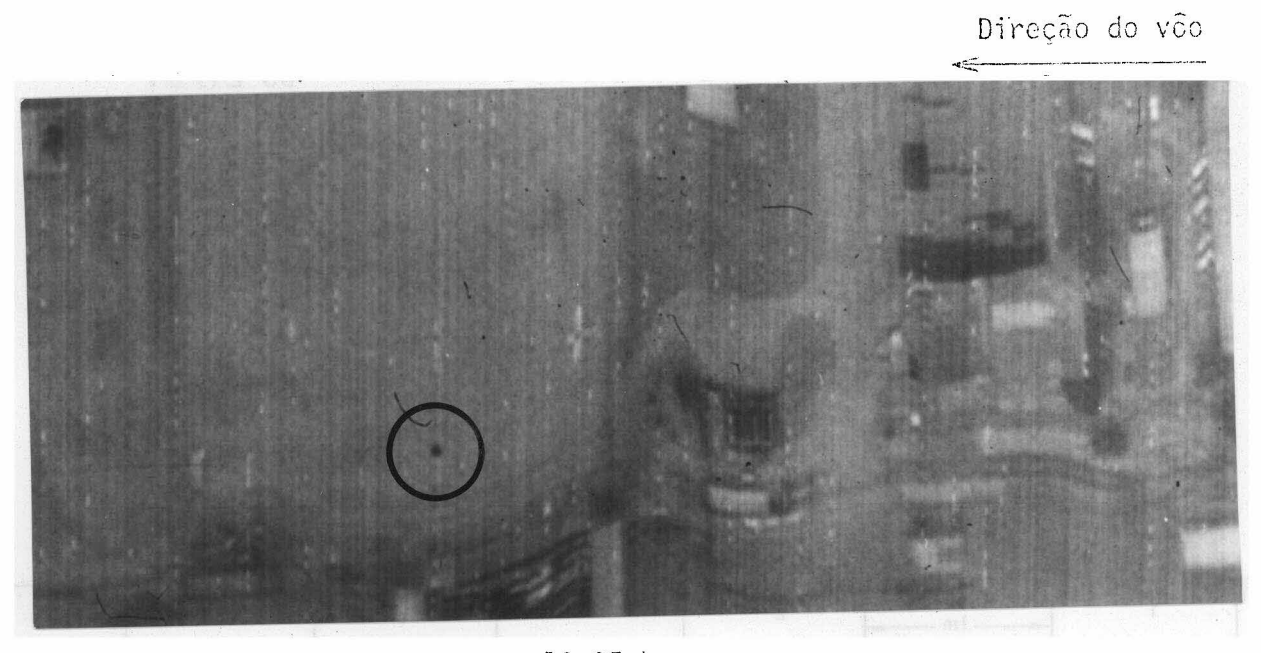


Fig. 3.8 - Disposição dos alvos do experimento 1.

A imagem obtida neste experimento esta ilustrada na Figura 3.º



10:35 horas

Fig. 3.9 - Imagem referente aos alvos da Figura 3.8.

A Figura 3.10 mostra o comportamento de ambas as curvas e pode-se observar que a curva obtida no experimento se assemelha  $\bar{a}$  prevista teoricamente.

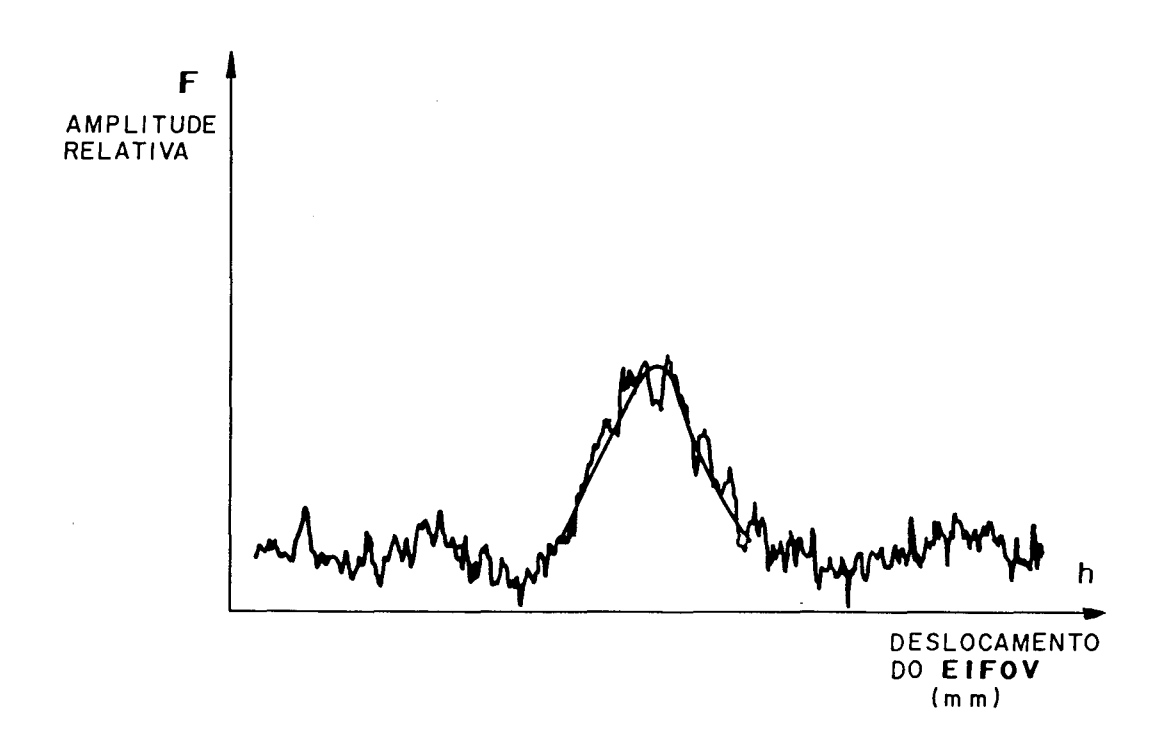
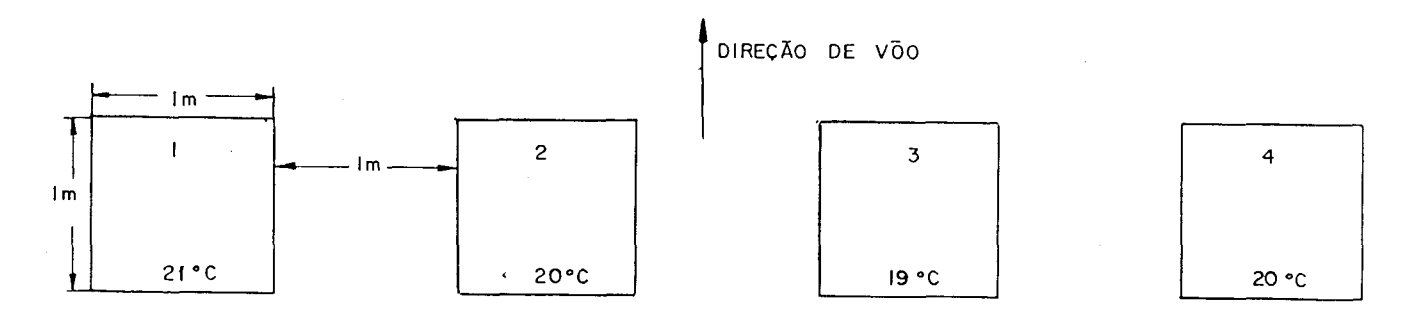


Fig. 3.10 - Comparação entre a curva prevista pela teoria e a obtida em um experimento.

Para realizar uma outra comparação seguindo o mesmo pri $\underline{n}$  cípio, um outro experimento foi feito com a disposição dos alvos como demonstra a Figura 3.11.

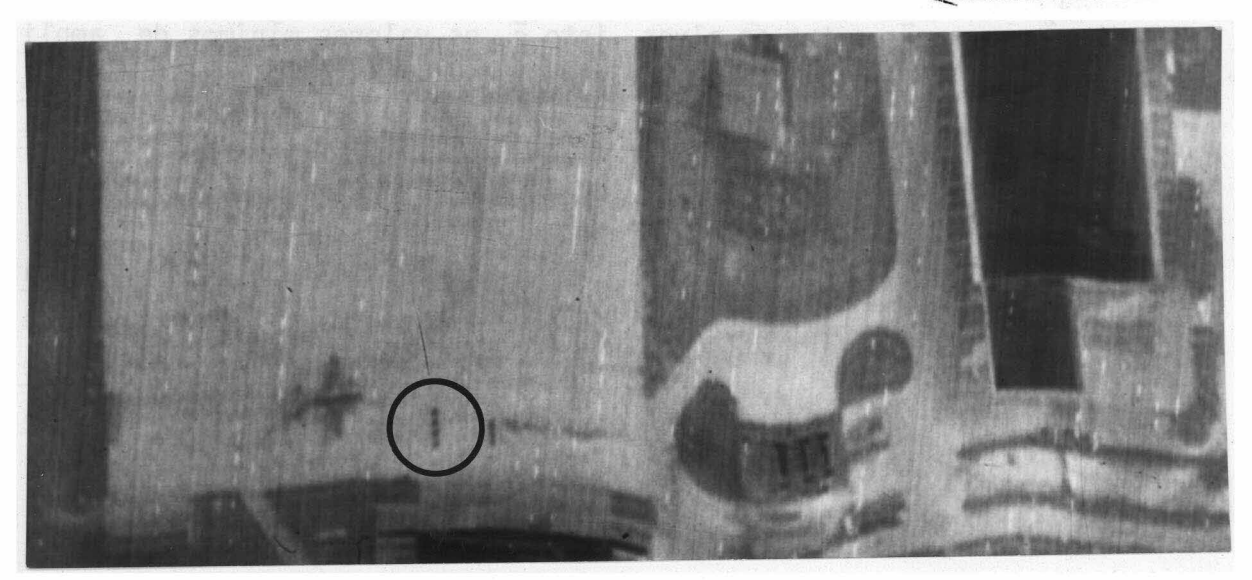


Temperatura da radiação de fundo: 41ºC

Fig. 3.11 - Disposição dos alvos no experimento 2.

A imagem obtida neste experimento está na Figura 3.12; e a respectiva curva obtida no microdensitômetro, na Figura 3.13.

Direção do vôo



10:35 horas

Fig. 3.12 - Imagem dos alvos na Figura 3.11.

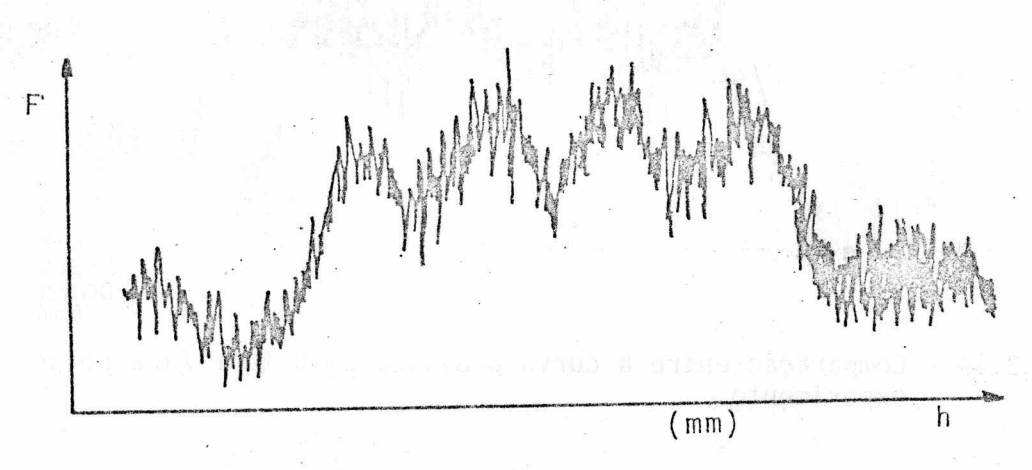


Fig. 3.13 - Curva referente à imagem da Figura 3.12.

Inicialmente a resolução geométrica linear seria de 0,40m, posteriormente com o cálculo da MTF do sistema, de 0,80m. Deste

modo o gráfico da Figura 3.13 não era compatível com esses dados iniciais. Com os alvos nas dimensões de 1,00m x 1,00m, separados de 1,00m e com a resolução de 0,40m ou 0,80m, o gráfico da Figura 3.13 deveria indicar separação entre os alvos, isto é, os valores mínimos de amplitude, entre os alvos, deveriam atingir o valor mínimo da curva. Basea do nestes dados, este experimento foi repetido por várias vezes. Entre tanto, os resultados foram os mesmos.

Calculou-se, então, a resolução geométrica linear através dos experimentos (seção 3.2), e o valor médio encontrado foi de 2,00m. Com este novo parâmetro estabeleceu-se a curva teoricamente, se guindo o mesmo princípio do alvo de 2,00 m x 2,00m, e fez-se a comparação com o gráfico constante da Figura 3.13 (Figura 3.14).

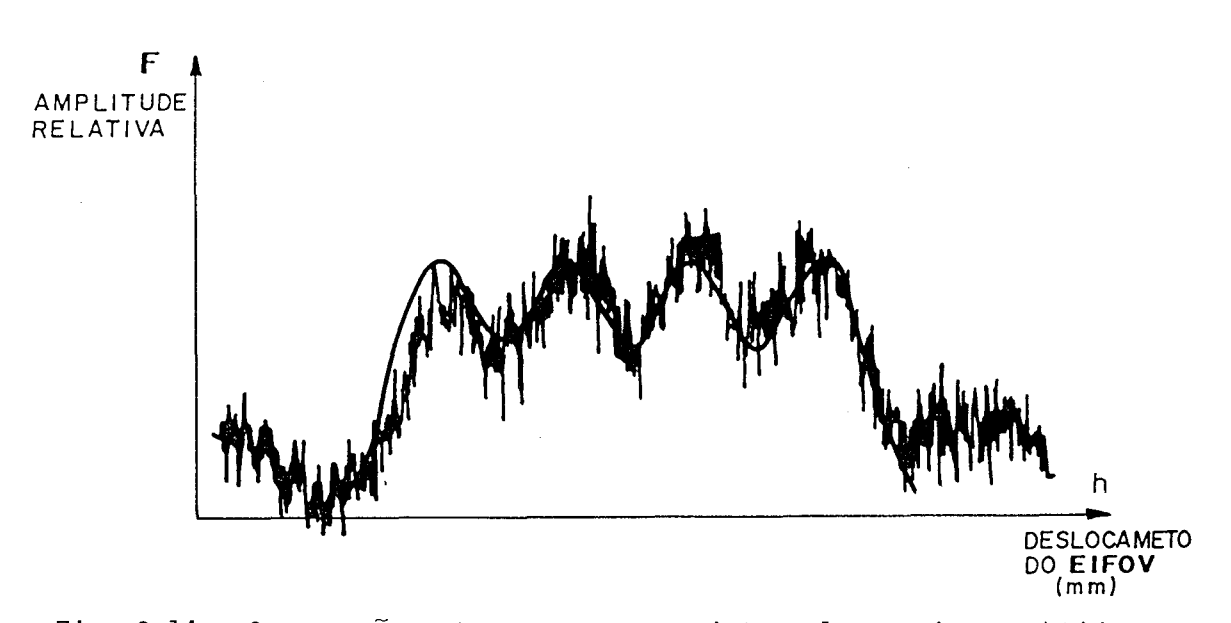
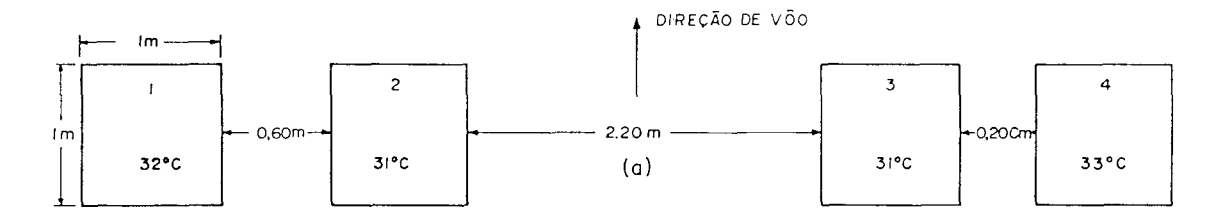


Fig. 3.14 - Comparação entre a curva prevista pela teoria e a obtida no experimento.

Na Figura 3.14 pode-se observar que a curva prevista teoricamente está muito próxima da encontrada na prática através dos experimentos. Comprova-se, deste modo, que a resolução geométrica linear oscilou em torno de 2,00m.

Pode-se confirmar mais uma vez essa resolução aproximada

de 2,00m através de um outro experimento. Os alvos ficaram, agora, dis postos como mostra a Figura 3.15; a imagem obtida está ilustrada na Figura 3.16 e os gráficos na Figura 3.17.



Temperatura da radiação de fundo: 41°C

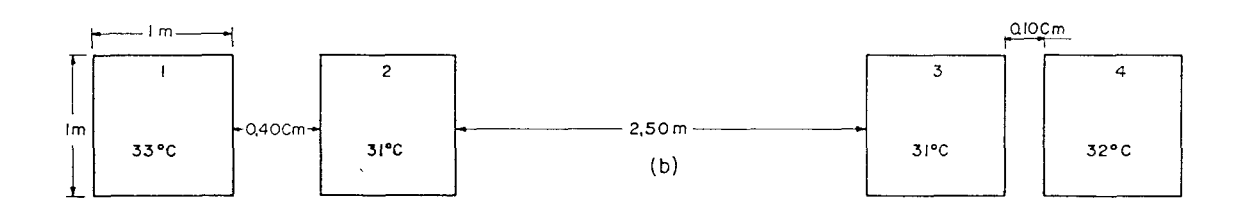
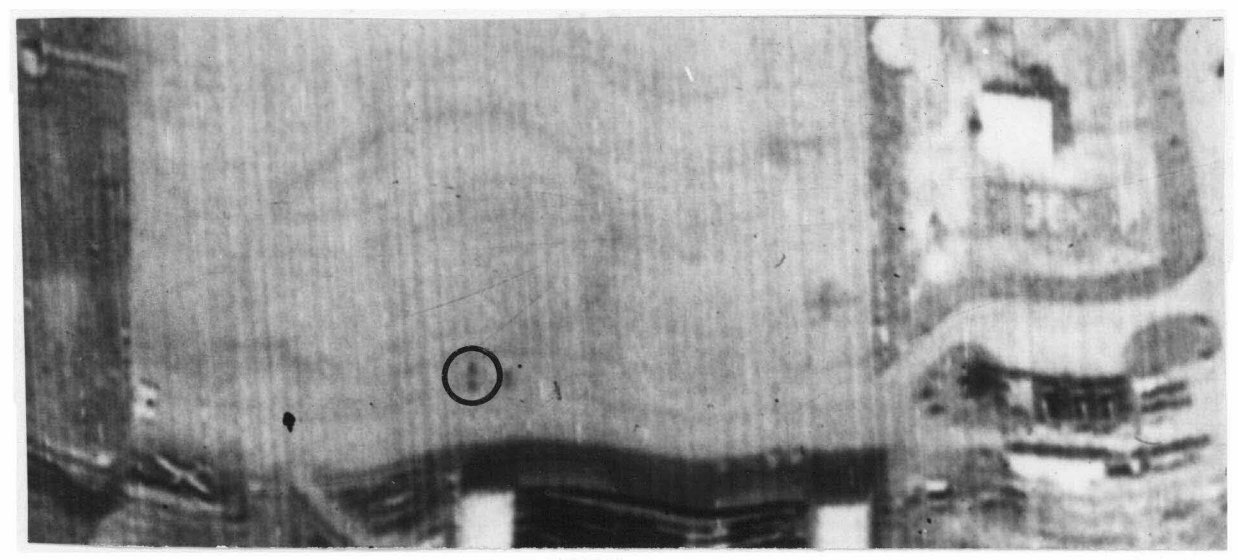


Fig. 3.15 - Disposição dos alvos do experimento 3.

# Direção do vôo



11:00 horas

Fig. 3.16 - Imagem referente à Figura 3.15a.

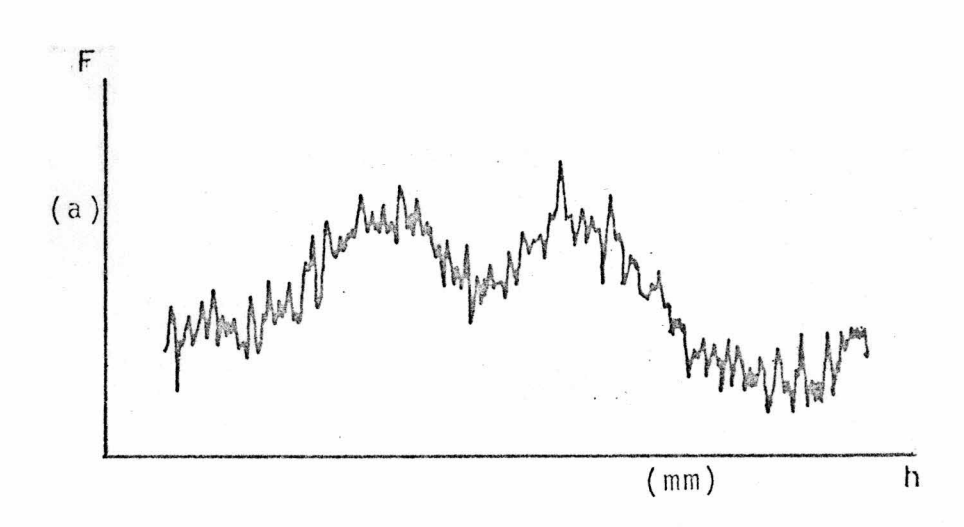


Fig. 3.17 - Grāfico da imagem correspondente aos alvos constantes na Figura 3.15.

(continua)

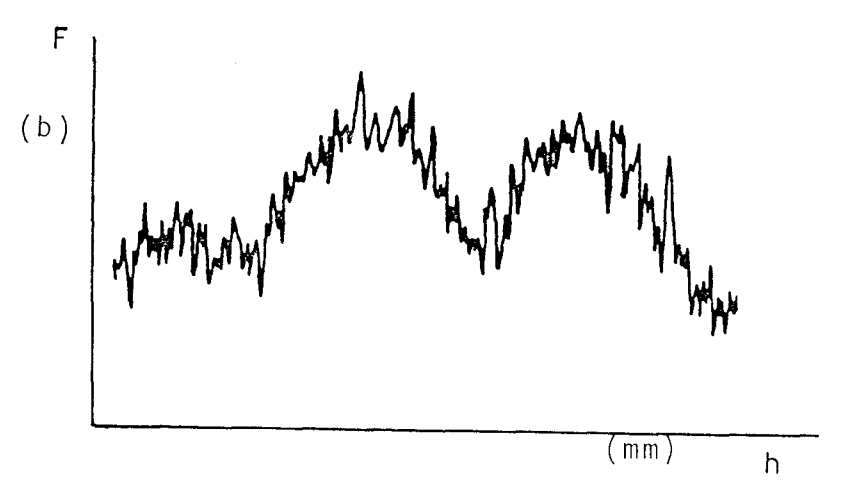


Fig. 3.17 - Conclusão.

As curvas acusam separação total entre os alvos 1/2 e 3/4, como pode ser observado na Figura 3.17. Estes alvos estão distanciados de 2,20m e de 2,50m, respectivamente.

A Figura 3.18 mostra as disposições de alvos com separa ções menores que 1,00m, e a Figura 3.19, os gráficos das imagens des ses alvos.

Pode-se notar nesses gráficos que os alvos se confundem como se fossem um só alvo isolado.

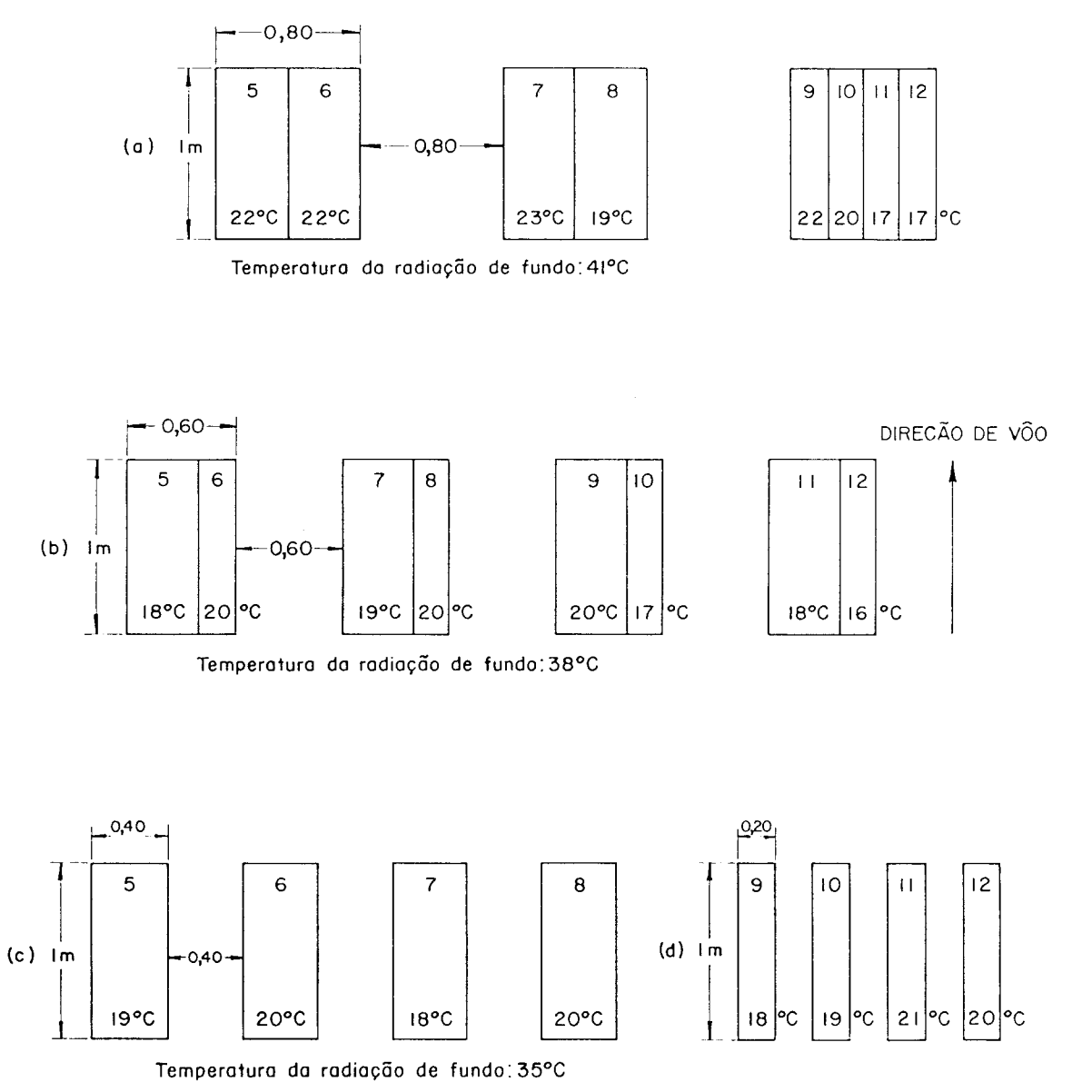


Fig. 3.18 - Disposição dos alvos do experimento 4.

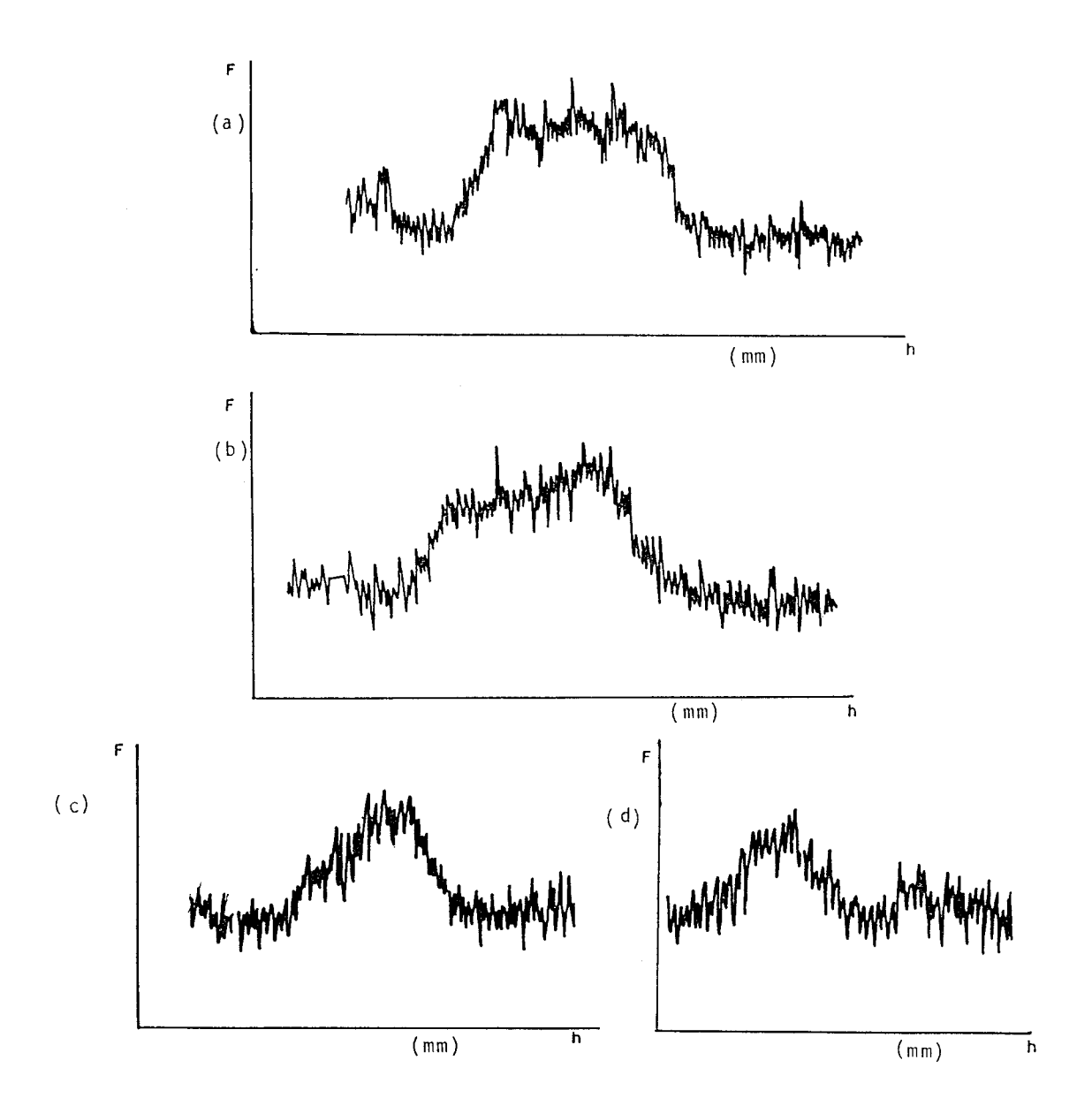


Fig. 3.19 - Gráficos das imagens correspondentes aos alvos da Figura 3.18.

### 3.5 - RESOLUÇÃO GEOMÉTRICA VERSUS TAMANHO DO ALVO

Pelas especificações do equipamento utilizado, transcritas no capitulo anterior, tem-se que a resolução radiométrica  $\tilde{e}$  de 0,80K. A detecção desta diferença de temperatura do alvo em relação  $\tilde{a}$  de fundo está relacionada ao tamanho do alvo em relação ao EIFOV.

A identificação do alvo se torna mais difícil à medida que suas dimensões diminuem. A detecção de alvos menores que o EIFOV, o que jā foi afirmado ser possível anteriormente, fica prejudicada se a diferença de temperatura for pequena, ainda que dentro das especificações do equipamento. Pode-se observar este comportamento na Figura 3.6. A dimensão da imagem, como jã foi visto, é proporcional ao tama nho do alvo mais o EIFOV. Deste modo, a radiação emitida pelo alvo se rã integrada dentro das dimensões do EIFOV. A pouca energia emitida pe lo alvo menor que o EIFOV vai se diluir na imagem, confundindo-se com o fundo. Consequentemente, torna-se muito difícil a detecção.

Por outro lado, se essa diferença de temperatura for grande, esses alvos menores que o EIFOV podem ser detectados pelo sensor.

Os alvos com as mesmas dimensões no sentido da varredura do espelho, mas com dimensões diferentes no sentido do deslocamento da plataforma alteram a amplitude do gráfico, como pode ser observado nas figuras a seguir. Na Figura 3.20 tem-se a disposição do alvo de 0,20m de largura com 1,60m de comprimento e na Figura 3.21, o gráfico da ima gem correspondente. Na Figura 3.22 tem-se o alvo de 0,20m por 0,20m e na Figura 3.23, o gráfico da imagem correspondente.

	0,20			DIREÇÃO	DF	vôo
0,20	7	•	10°C	1	-	
	8		8°C	Ī		
	9		IO°C			
	10		9°C			
	11		II°C			
	12		10°C			
	13		II°C			
	14		12°C			

Temperatura de radiação de fundo:  $43^{\circ}\text{C}$ 

Fig. 3.20 - Disposição dos alvos do experimento 5.

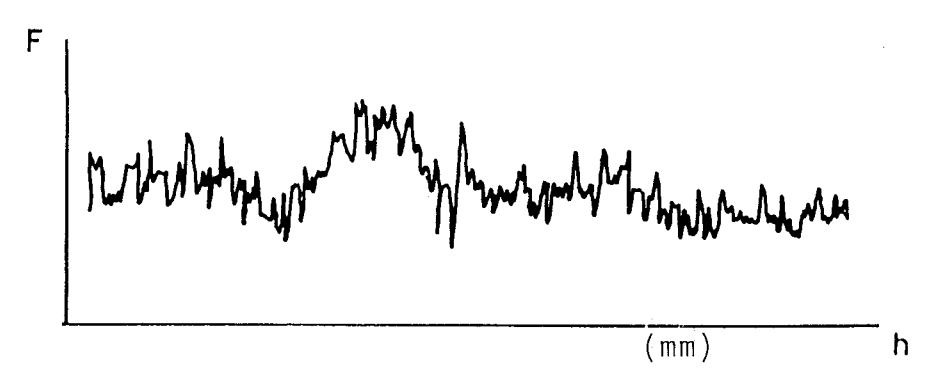
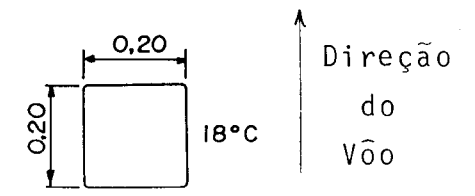


Fig. 3.21 - Gráfico da imagem do alvo da Figura 3.20.



Temperatura de radiação de fundo: 37°C.

Fig. 3.22 - Disposição do alvo do experimento 6.

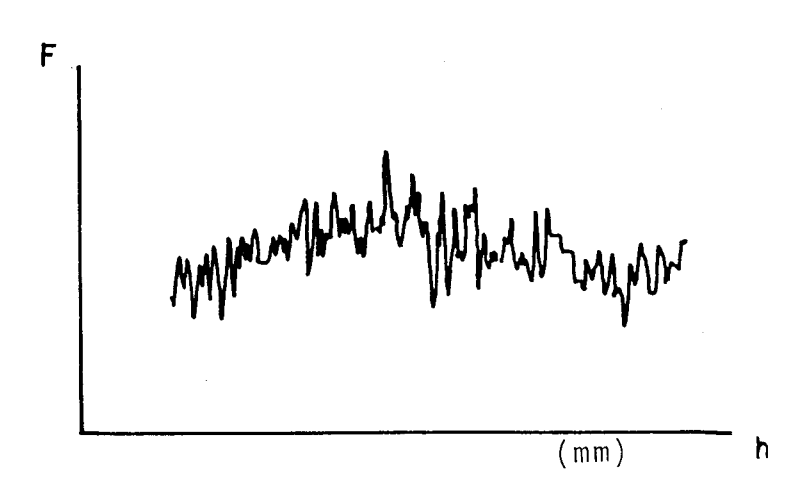


Fig. 3.23 - Grāfico da imagem do alvo da Figura 3.22.

Os alvos têm a mesma dimensão lateral e são detectados quando possuem a dimensão longitudinal de 1,60m. No entanto, quando a dimensão longitudinal é de 0,20m, eles tendem a desaparecer da imagem, confundindo-se com o fundo.

# 3.6 - ALVOS COM TEMPERATURAS SUPERIORES ÀS TEMPERATURAS DE RADIAÇÃO DE FUNDO

Os experimentos foram realizados com as temperaturas de radiação de fundo entre  $30^{\circ}\text{C}$  a  $40^{\circ}\text{C}$ . Os alvos quentes com as temperaturas entre  $40^{\circ}\text{C}$  a  $50^{\circ}\text{C}$  não foram detectados pelo sensor. Somente os al vos com temperaturas em torno de  $70^{\circ}\text{C}$  apareceram bem destacados na ima gem, como pode-se observar nas figuras que se seguem:

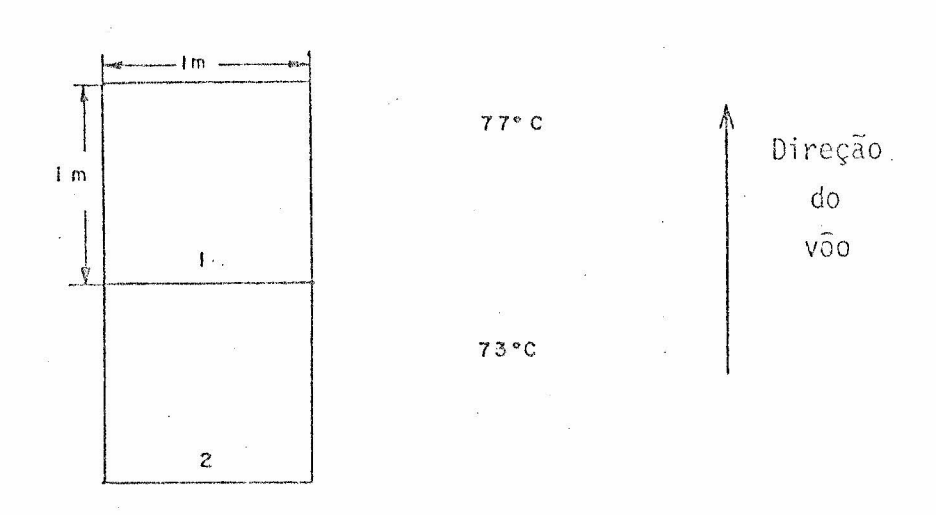
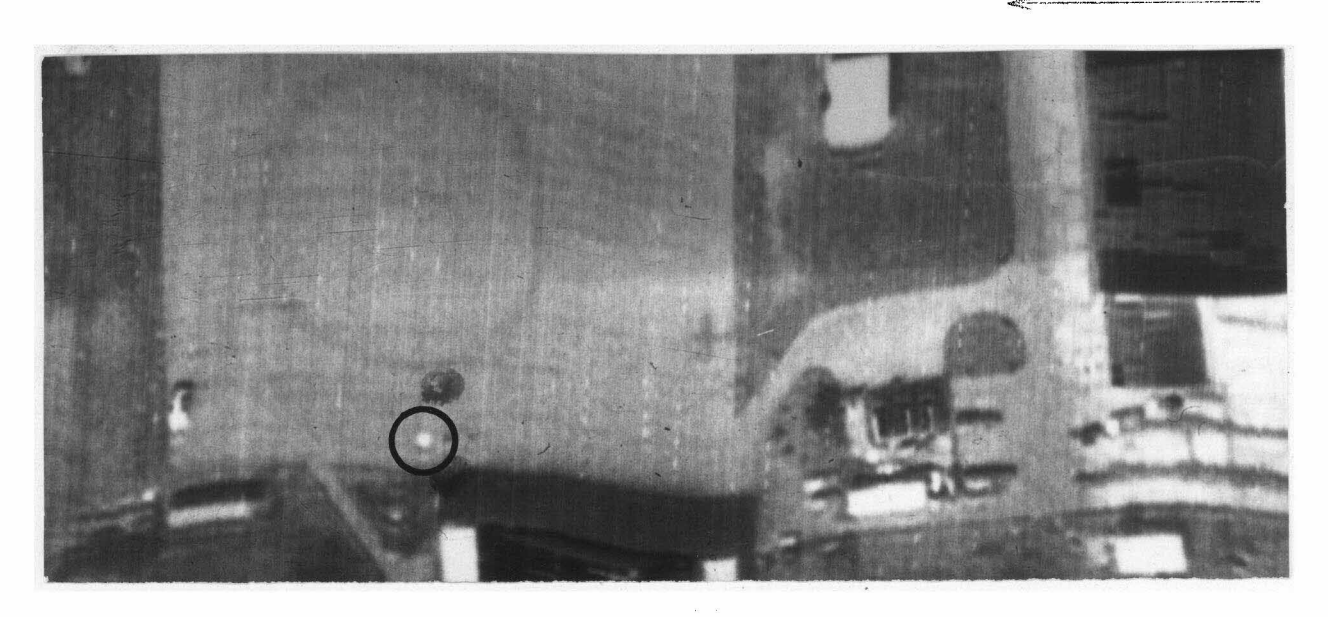


Fig. 3.24 - Disposição dos alvos do experimento 7.

Direção do vôo



10:25 horas

Fig. 3.25 - Imagem do alvo da Figura 3.24.

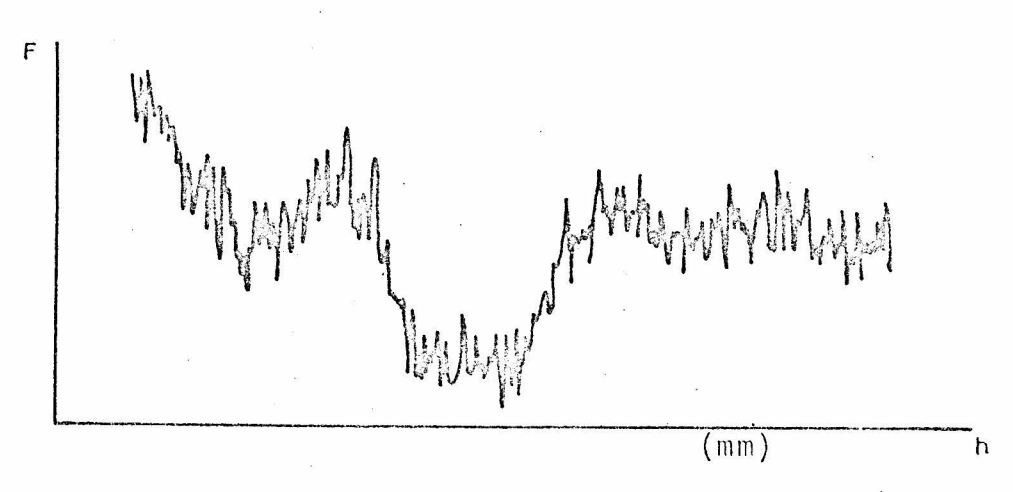


Fig. 3.26 - Grafico obtido no microdensitômetro da imagem constante na Figura 3.25.

### 3.7 - ALVOS NATURAIS E ARTIFICIAIS

O sistema imageador na faixa do infravermelho termal possibilita a obtenção de imagens tanto de dia como a noite (Figuras 3.27 e 3.28).

Direção do vôo

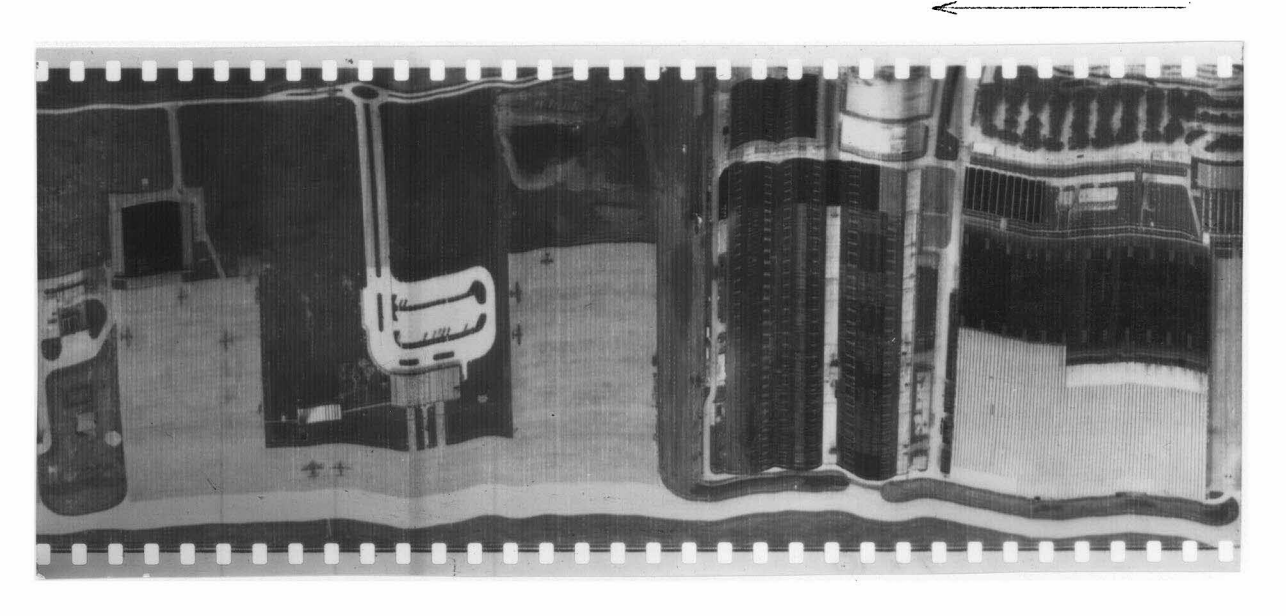


Fig. 3.27 - Imagem obtida as 15:30 horas.

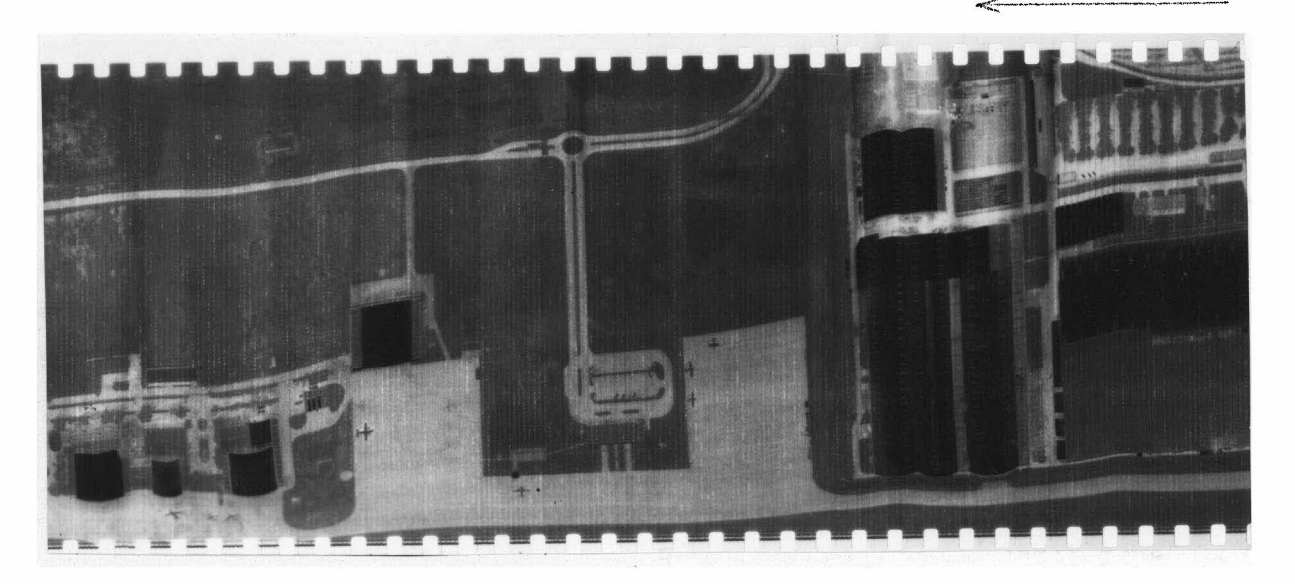


Fig. 3.28 - Imagem obtida as 20:30 horas.

As imagens adquiridas durante a noite apresentaram, algumas características:

- 1) Nos terrenos com vegetação houve perda de contraste.
- 2) Entre construções com telhado de metal e pátios pavimentados houve um aumento de contraste. Esta característica se torna mais marcante à medida que as imagens são obtidas mais tarde da noite.
- 3) Entre pista de rolagem (asfalto) e o patio de estacionamento (concreto), o contraste existente nas imagens obtidas durante o dia tende a desaparecer nas obtidas a noite, chegando a inverter as tonalidades. Concluiu-se que a inercia termica do asfalto e menor que a do concreto.

Na Figura 3.29 tem-se uma imagem obtida logo após uma chuva. Pode-se observar que as ruas asfaltadas e o pátio de concreto fi cam bastante prejudicados na imagem, o que dificulta a identificação

dos alvos contidos neles. Porem, o terreno molhado/ $\bar{u}$ mido fica mais contrastado, facilitando a distinção da vegetação.

Na Figura 3.30 pode-se observar com nitidez a "sombra" de uma aeronave "Boeing 707". Esta aeronave havia decolado poucos minu tos antes da obtenção da imagem. Observa-se nessa imagem que os alvos estão um pouco alongados lateralmente. Isto ocorre quando se ultrapas sa o limite da relação V/H<sub>V</sub> do equipamento. Entretanto, as vezes, quan do se deseja detalhes do alvo, este recurso pode ser utilizado. Pode-se fazer uma comparação entre a Figura 3.31 (V/H<sub>V</sub> dentro do limite) e a Figura 3.32 (V/H<sub>V</sub> fora dos limites). O alvo envolvido pelo circulo é uma aeronave "Brasília" que pode ser observada com mais detalhes na Figura 3.32.

Direção do vôo

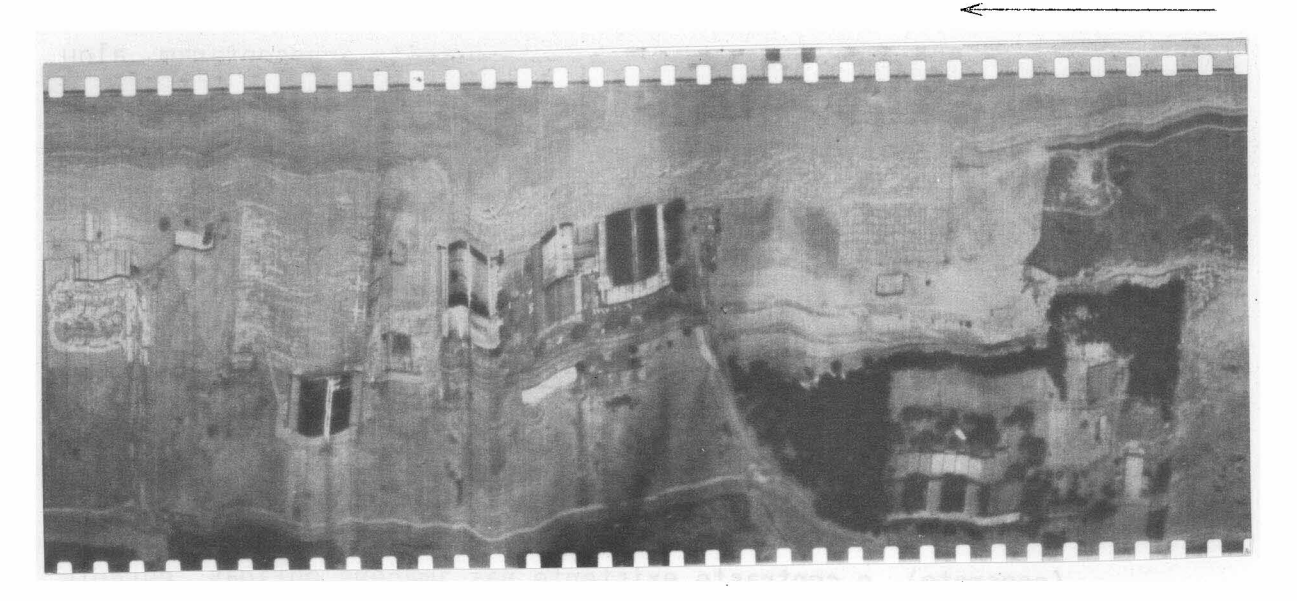


Fig. 3.29 - Imagem obtida as 12:00 horas, logo apos uma chuva.

Direção do vôo

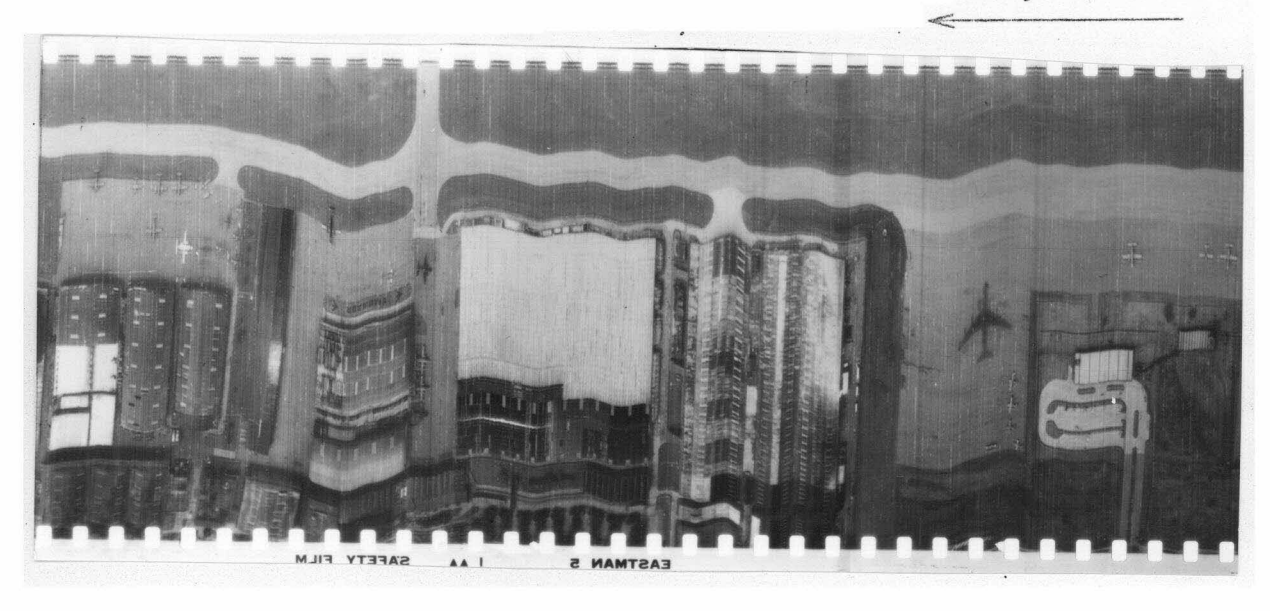


Fig. 3.30 - Imagem obtida as 16:00 horas.

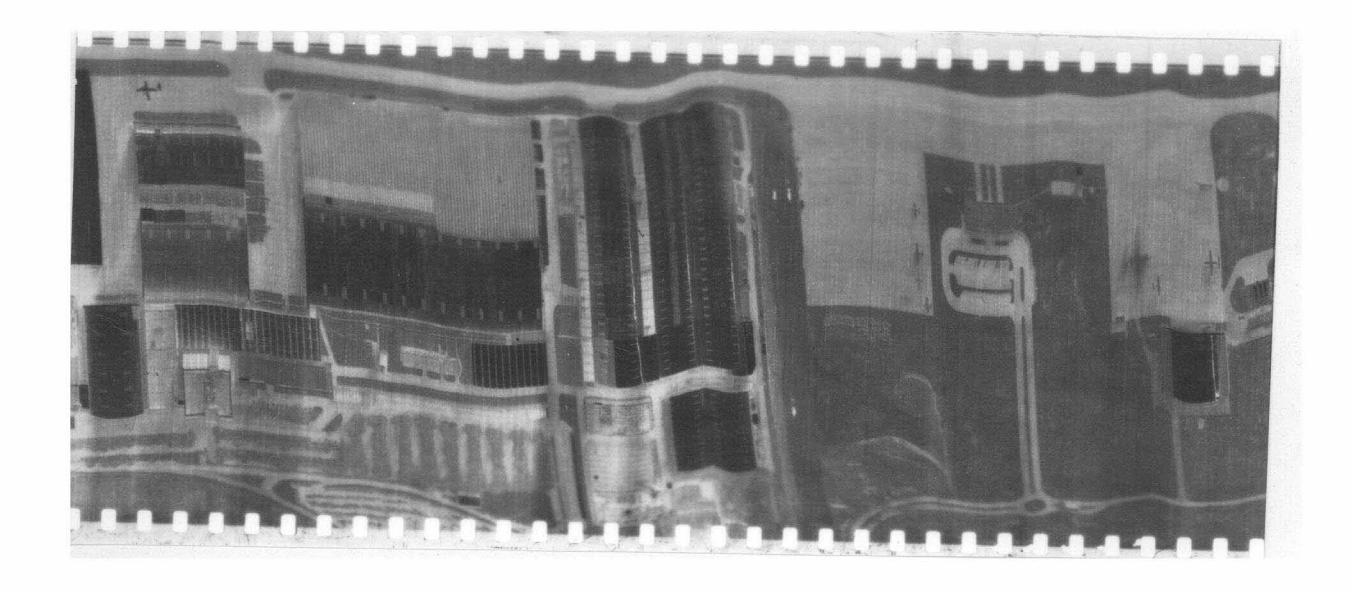


Fig. 3.31 - Imagem obtida as 18:00 horas, dentro dos limites da relação  $V/H_V$ .

Direção do vôo

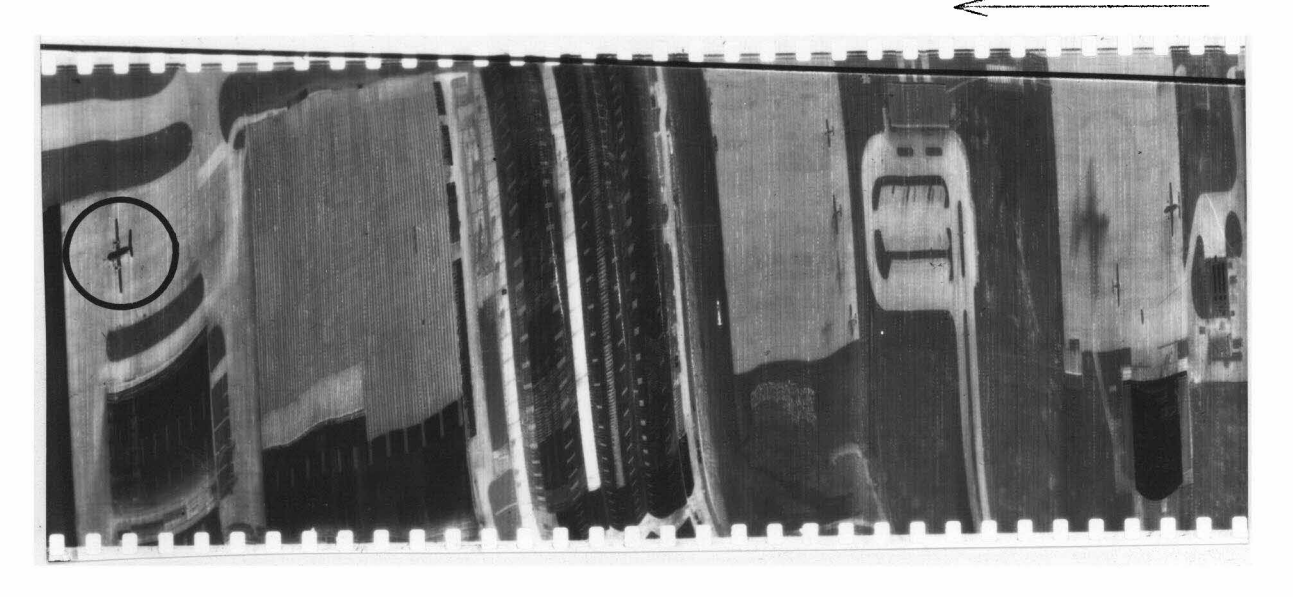


Fig. 3.32 - Imagem obtida as 18:10 horas, fora dos limites da relação  $V/H_{\rm V}$ .

Essas distorções, que dão a impressão de que as pistas são sinuosas, têm como causa o movimento de rolamento da aeronave. Es te movimento involuntário é causado pela turbulência do ar, o que se torna mais evidente em aeronaves leves, e quando os võos são realizados a baixas velocidades e a baixa altura.

Tais deformações contribuiram sobremaneira para que a resolução geométrica linear atingisse a média de 2,0m. Uma plataforma estabilizada pode solucionar o problema.

### CAPITULO 4

#### CONCLUSÃO

Ao utilizar um sensor imageador de varredura mecânica, não se pode antever a sua resolução geométrica, levando em considera ção apenas o IFOV angular. Esta poderia ser calculada através do IFOV, se a função de transferência de modulação (MTF) do sistema fosse apenas a do detector. Entretanto a MTF do sistema é composta das MTFs de todos os subsistemas que a compõem, tornando necessária a realização de cálculos para a obtenção da resolução geométrica do sistema total.

Os 2,5 mrd especificados, a uma altura de 167 metros, resultam numa resolução geométrica linear de 0,40 metros. Esta mesma resolução, levando em consideração a MTF do sistema foi de 0,80 metros . Finalmente, os experimentos realizados mostraram que este dado ficou em torno de 2,0 metros.

Este trabalho teve o objetivo inicial de estudara contr<u>i</u> buição da MTF na formação de imagem nos sistemas imageadores do tipo "scanner". O estudo seria perfeito para sistemas sem ruidos. Contudo, para sistemas com baixo nivel de ruido, como neste trabalho, a pesqui sa mostrou-se válida, resultando numa boa aproximação.

Do mesmo modo, o estudo estaria mais próximo do ideal se os alvos simulados utilizados tivessem suas dimensões no sentido de desalocamento da aeronave bem maiores.

No calculo da MTF da óptica, esta foi considerada como sem obstrução, o que na realidade não é. Considerou-se, também, o detector de forma quadrada, o qual na realidade tem uma forma circular. Is to foi feito a fim de facilitar os calculos, uma vez que a ideia era obter um levantamento teórico da MTF.

A distorção nas imagens, causada pelo movimento de rola mento involuntário da aeronave, foi sem dúvida o principal fator que contribuiu para que a resolução geométrica atingisse os dois metros. A utilização de uma plataforma estabilizada pode equacionar este proble ma.

Um outro fator que também contribuiu para a degradação da resolução geométrica foi o fato de que, na obtenção das imagens, houve uma variação de posição dos alvos em relação ao nadir.

Espera-se que os resultados obtidos aqui possam servir de base para outros estudos ainda não realizados. Os estudos sobre o limite de detecção radiométrica, por exemplo, poderiam ser feitos, verificando até que ponto  $NE\Delta T = 0.8K$  especificado para o imageador utilizado é efetivo.

#### REFERÊNCIAS BIBLIOGRÁFICAS

- BRAMSON, M.A. Infrared radiation. New York, Plenum, 1968.
- DEMORI, E. Sistemas sensores de infravermelho com ênfase no desenvolvi mento de um imageador de varredura mecânica. Dissertação de Mestrado em Eletrônica e Telecomunicações. São José dos Campos, INPE, 1985. (INPE-3558 TLD/194).
- EASTMAN KODAK. KODAK 2498. RAR film (ESTAR-AH Base) and KODAK 5498 RAR film: photographic and physical properties. Rochester, 1972.
- ENGLISH ELECTRIC VALVE. Glow modulators. Chelmsford, 1982.
- GOODMAN, J.W. Introduction to Fourier optics. New York, McGraw-Hill, 1968.
- HACKFORTH, H.L. Infrared radiation. New York, McGraw-Hill, 1960.
- JAMIESON, J.A.; McFEE, R.H.; PLASS, G.N.; GRUBE, R.H.; RICHERDS, R.G. Infrared physics and engineering. New York, McGraw-Hill, 1963.
- KRUSE, P.W.; McGLAUCHLIN, L.D.; McQUISTAN; R.B. Elements of technology: generation, transmission and detection. New York, John Wiley, 1963.
- LLOYD, J.M. Thermal imaging systems. New York, Plenum, 1975.
- MONTES, A.S. Radiômetro de alta resolução de ampla faixa espectral. Dissertação de Mestrado em Eletrônica e Telecomunicações. São José dos Campos, INPE, 1982. (INPE.2460 TLD/096).
- SELBY, S.M. Standard mathematical tables. CRC PRESS, 1974.
- SLATER, P.N. Remote sensing: optics and optical systems. London, Addison-Wesley, 1980.